



电力系统分析

南京航空航天大学 王世山

WSS.XJTU@163.COM

13770755953

Download: www.sciencenet.cn/u/max

基本概念

■ 潮流（Power Flow）

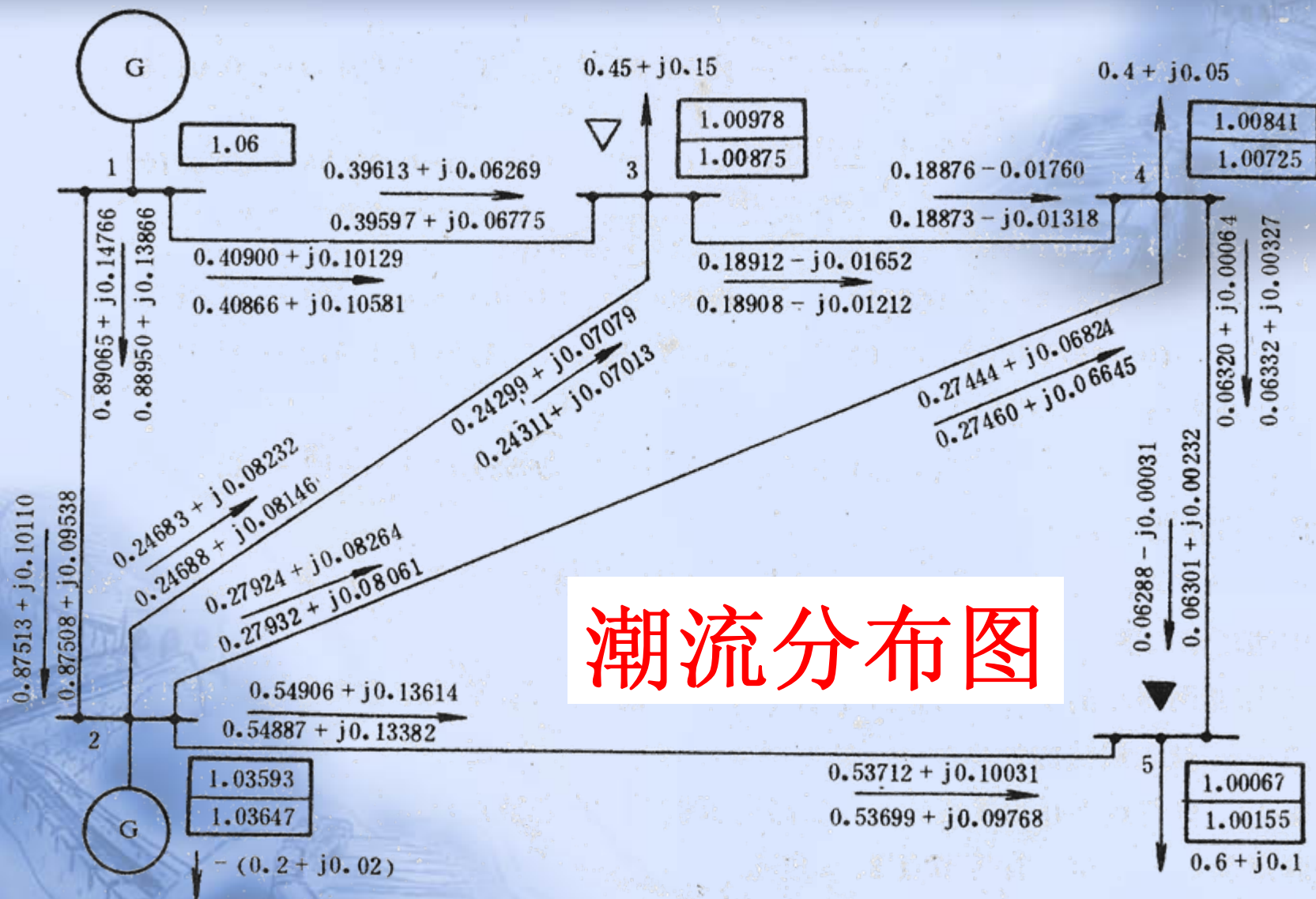
电力系统中电压、有功功率、无功功率稳态分布。

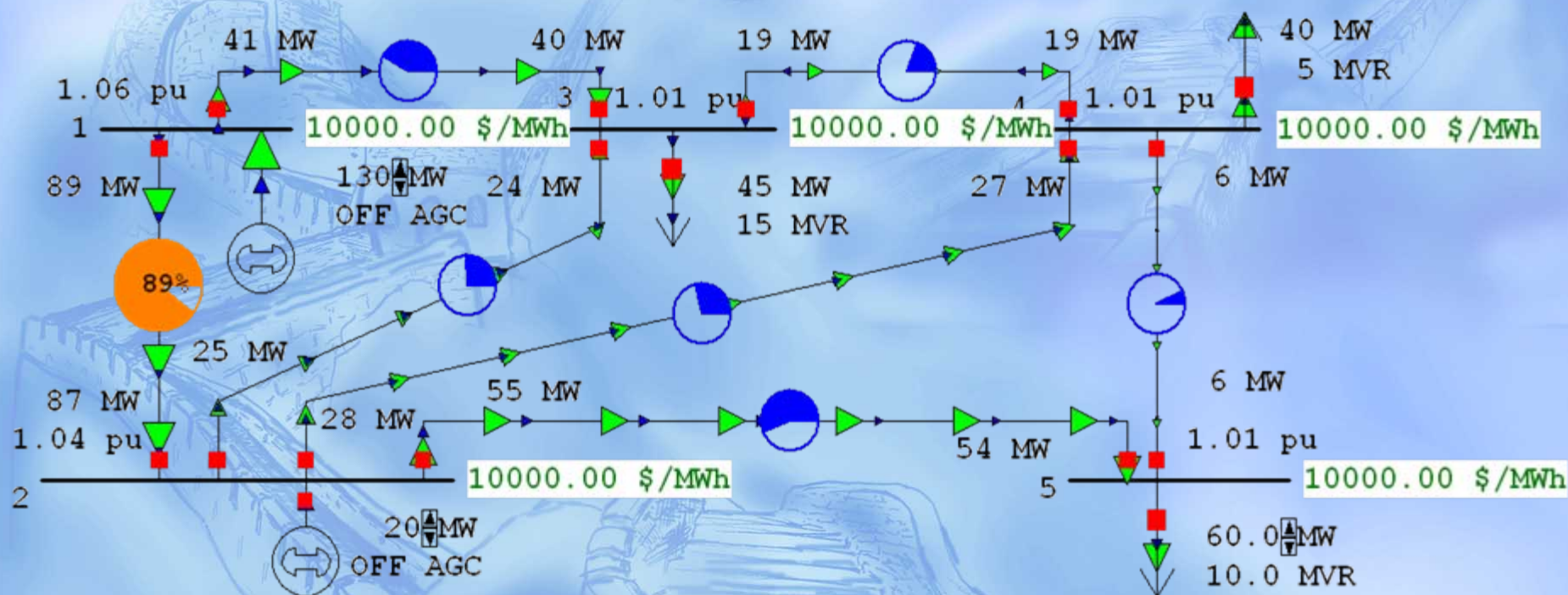
■ 目的

- 服务于电力系统的运行与规划设计。
- 分析和评价电网运行的安全经济和可靠性。

■ 计算方法

- 人工手算——适用于简单系统。
- 计算机——适用于所有简单和复杂系统。





Total Hourly Cost: 2510.82 \$/hr

Load Scalar: 1.00

Total Area Load: 145.0 MW

Marginal Cost (\$/MWh): 10000.00

Power Simulator计算

3 电力系统稳态运行分析

3.1 简单电力系统正常运行分析

3.2 复杂电力系统潮流计算

3.3 Gauss-Seidel潮流计算

3.4 Newton-Raphson潮流计算

3.5 P-Q分解法

3.6 直流法潮流计算

3.7 电力系统有功功率与频率

3.8 电力系统无功功率与电压

3.1 简单电力系统正常运行分析

3.1.1 电力线路的电压和功率损耗

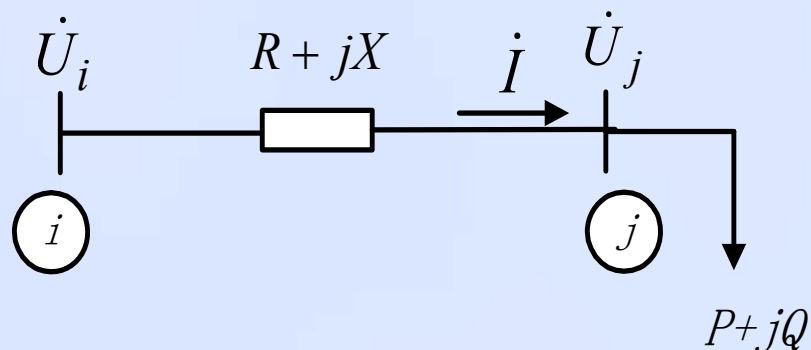
3.1.2 变压器中功率与电压损耗

3.1.3 辐射形网络的分析计算

3.1.4 电力网的电能损耗



3.1.1 电力线路的电压和功率损耗



已知：末端 P 、 Q 、 U_j

$$\dot{U}_j = U_j \angle 0^\circ$$

$$\left. \begin{aligned} \dot{U}_i &= \dot{U}_j + \dot{I}(R + jX) \\ \tilde{S}_j &= \dot{U}_j^* \dot{I} = P + jQ \end{aligned} \right\} \longrightarrow$$

$$\Delta \dot{U}_d = \dot{U}_i - \dot{U}_j = \frac{P - jQ}{U_j} (R + jX) = \frac{PR + QX}{U_j} + j \frac{PX - QR}{U_j}$$

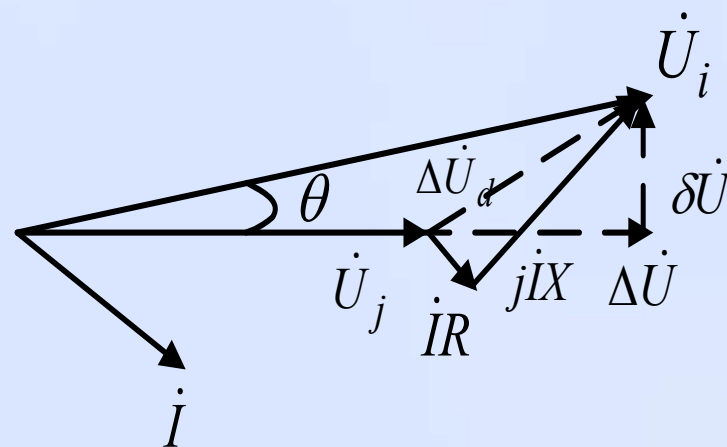
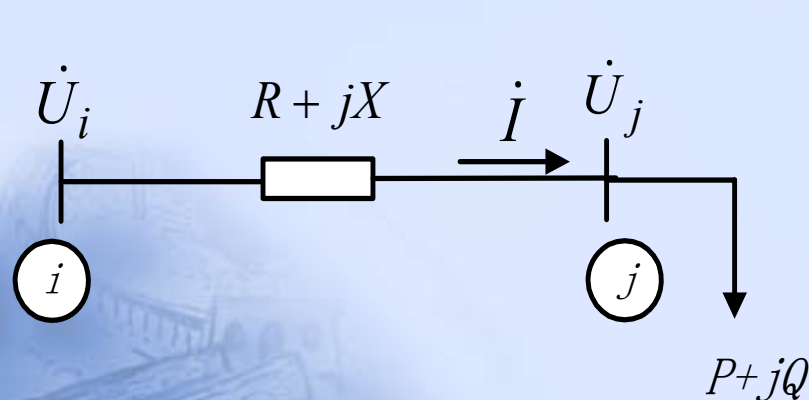
——电力线路的电压降落,首末两端的相量差



$$\Delta \dot{U}_d = \dot{U}_i - \dot{U}_j = \frac{P - jQ}{U_j} (R + jX) = \frac{PR + QX}{U_j} + j \frac{PX - QR}{U_j}$$

ΔU , 电压降落
的纵分量

δU , 电压降落
的横分量



$$U_i = \sqrt{\left(U_j + \frac{PR + QX}{U_j}\right)^2 + \left(\frac{PX - QR}{U_j}\right)^2}, \quad \theta = \operatorname{tg}^{-1} \frac{\delta U}{U_j + \Delta U}$$



“电压降落”分析与讨论

(1) 线路较短时两端电压相角差一般不大，近似认为：

有效值之差

$$U_i - U_j \approx \frac{PR + QX}{U_j} = \Delta U$$

电压损耗

(2) 对于高压输电网， $X \gg R$

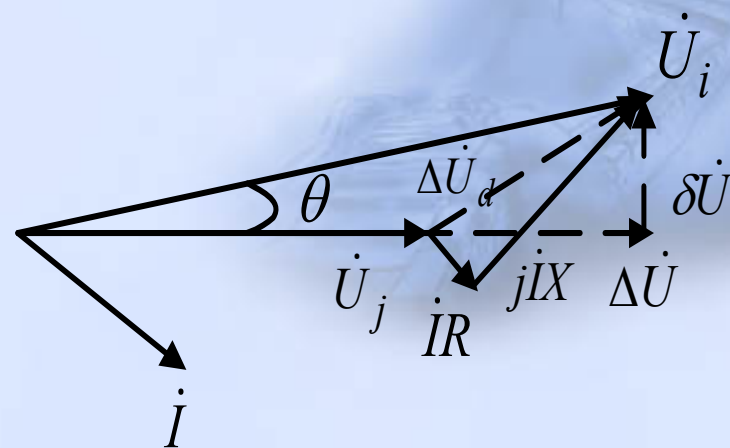
$$\Delta U = \frac{PR + QX}{U_j} \approx \frac{QX}{U_j}, \delta U = \frac{PX - QR}{U_j} \approx \frac{PX}{U_j}$$

结论：电压降落的纵分量 ΔU 是由传输无功功率产生；
电压降落的横分量 δU 是由传输有功功率产生。



$$\left. \begin{aligned} \delta U &\approx \frac{PX}{U_j} \\ \sin \theta &= \frac{\delta U}{U_i} \end{aligned} \right\}$$

$$P = \frac{U_i U_j}{X} \sin \theta$$



结论

- 高压电力网首、末端电压间存在相位差 θ 是传输 P 的条件。或者，相位差由 P 决定，与 Q 无关。
- P 是从电压“超前端”向电压“滞后端”输送。



$$U_i - U_j = \Delta U \approx \frac{QX}{U_j}$$

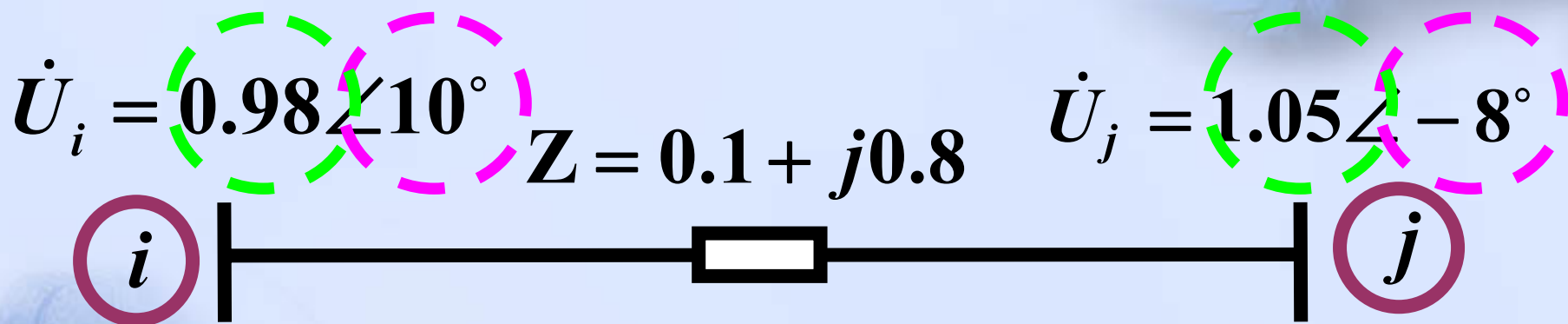
$$Q = \frac{U_j(U_i - U_j)}{X}$$

结论:

- 高压电力网首、末端间 电压存在数值差是传输 Q 的条件；
或，电压数值差主要由电力网 Q 决定，与 P 无关。
- 感性 Q 从“高电压”向“低电压”端输送。
- 容性 Q 从“低电压”向“高电压”端输送。



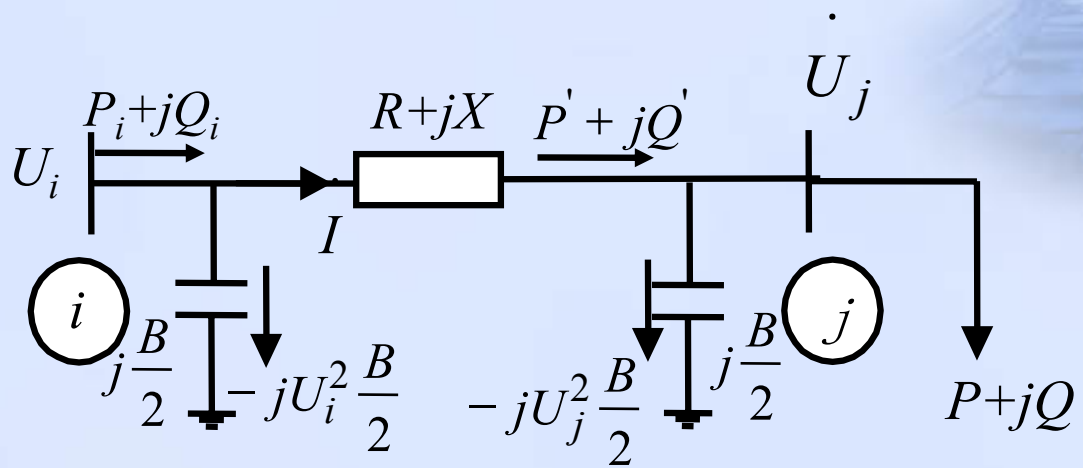
功率传递示例



有功功率

无功功率

电力线路 π 型等值电路

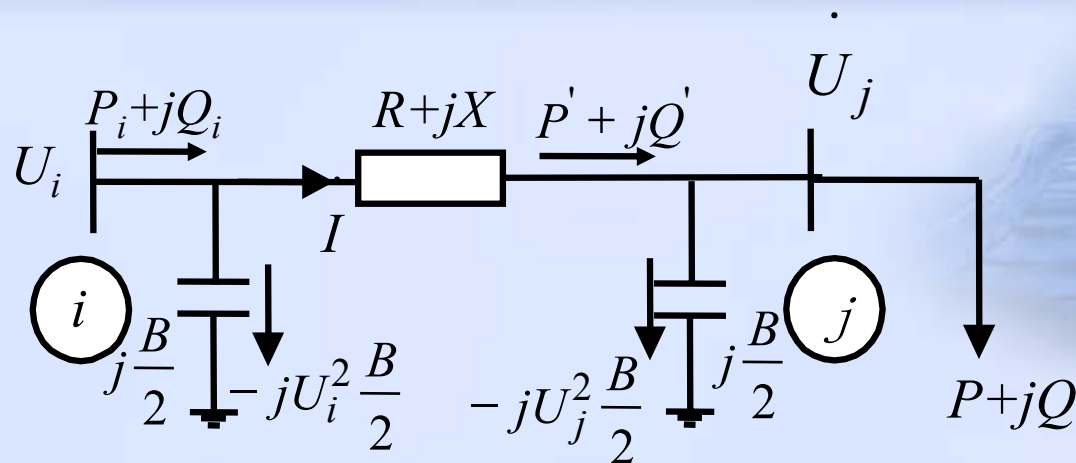


$$P' + jQ' = P + jQ - j\frac{B}{2}U_j^2$$

始端电压 $\dot{U}_i = U_j + \frac{P'R + Q'X}{U_j} + j\frac{P'X - Q'R}{U_j}$

线路电压
损失





线路功率损耗

$$\Delta \tilde{S} = \Delta P + j\Delta Q = \frac{P'^2 + Q'^2}{U_j^2} (R + jX) - jU_i^2 \frac{B}{2} - jU_j^2 \frac{B}{2}$$

送端功率

$$P_i + jQ_i = (P + \Delta P) + j(Q + \Delta Q)$$

线路功率损耗

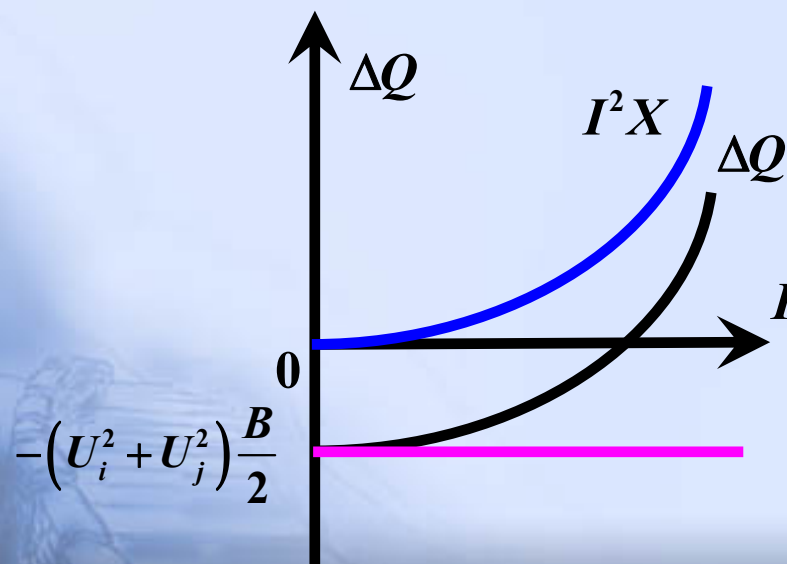
线路充电功率

$$\Delta \tilde{S} = \Delta P + j\Delta Q$$

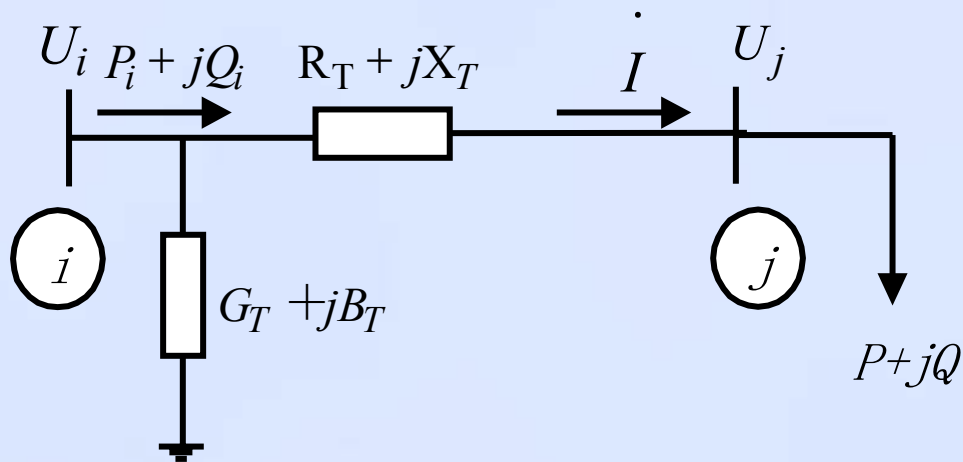
$$= \frac{P'^2 + Q'^2}{U_j^2} R + j \frac{P'^2 + Q'^2}{U_j^2} X - jU_i^2 \frac{B}{2} - jU_j^2 \frac{B}{2}$$

有功损耗

无功损耗



3.1.2 变压器中功率损耗与电压损耗



$$\Delta U_T \approx \frac{PR_T + QX_T}{U_j}$$

——电压损耗

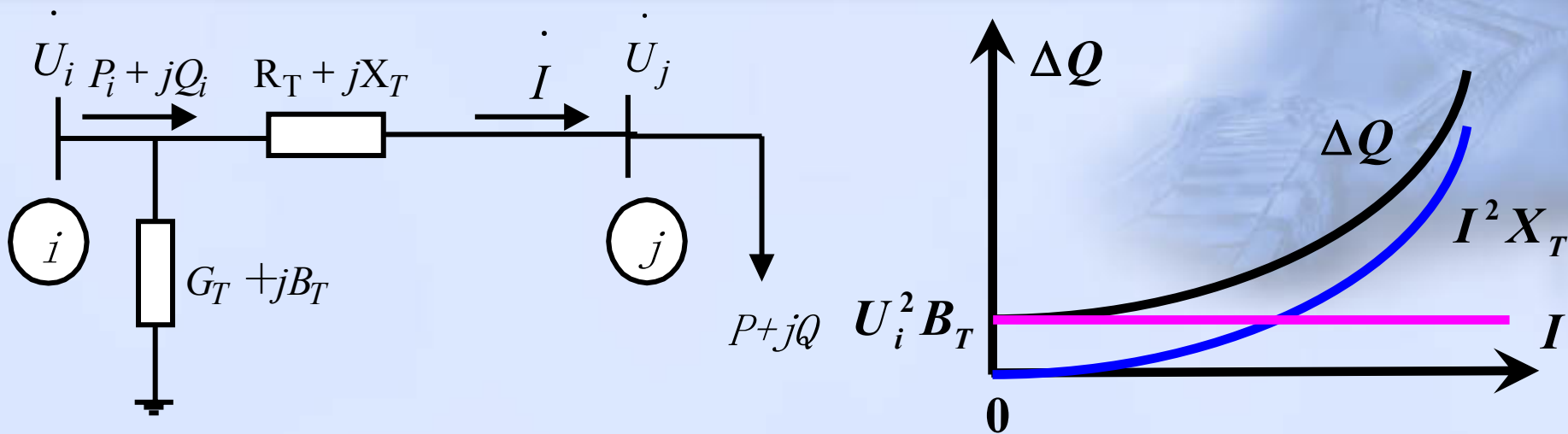
$$\begin{cases} \Delta P = \frac{P^2 + Q^2}{U_j^2} R_T + U_i^2 G_T \\ \Delta Q = \frac{P^2 + Q^2}{U_j^2} X_T + U_i^2 B_T \end{cases}$$

——功率损耗

可变损耗

不变损耗





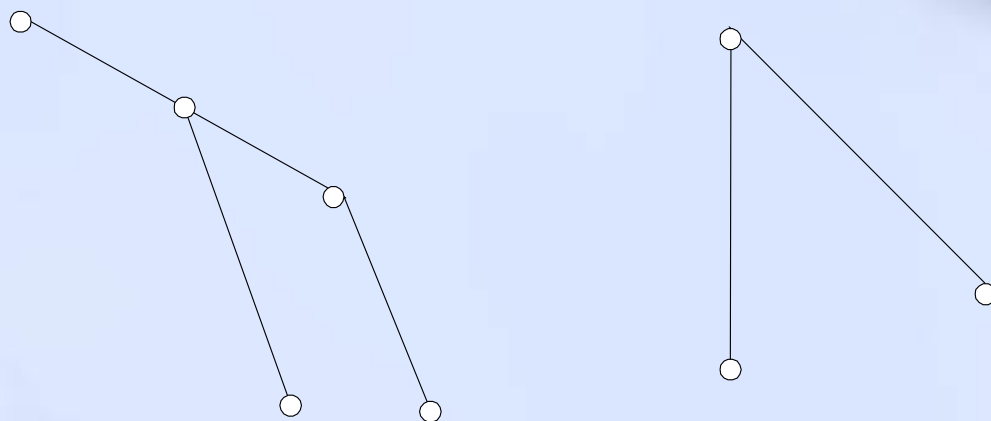
送端功率 $P_i + jQ_i = (P + \Delta P) + j(Q + \Delta Q)$

TIP: 若不需要计算变压器的阻抗、导纳时，可将等值参数计算公式直接代入消去等值参数。



3.1.3 辐射形网络的分析计算

辐射形网络: 各条线路有明确的始端和末端。

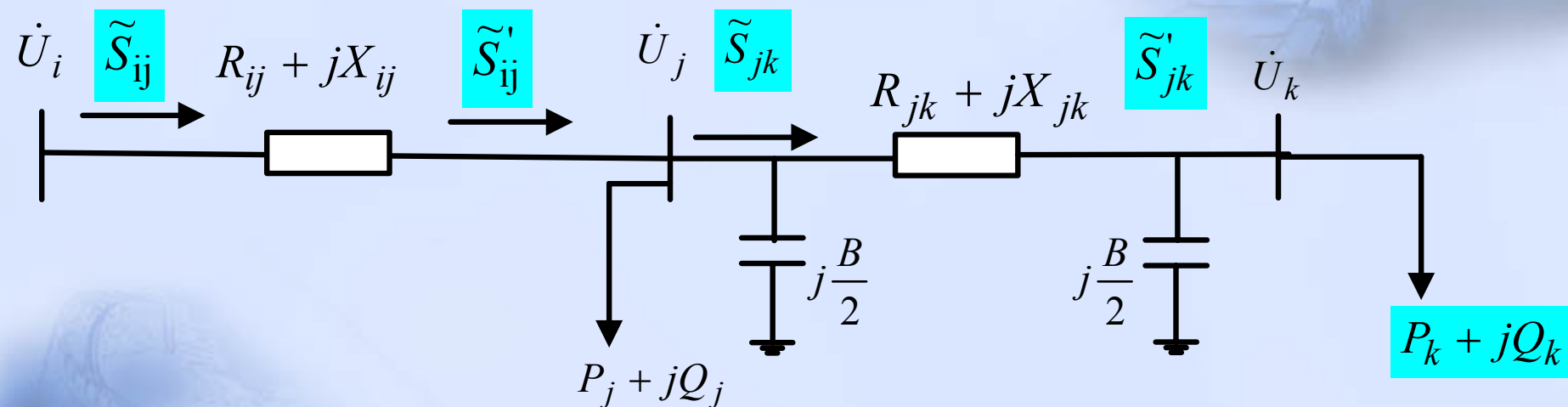


目标: 利用已知的负荷(功率)、节点电压求取未知的节点电压、线路功率分布、功率损耗、始端输出功率。



两种计算方案

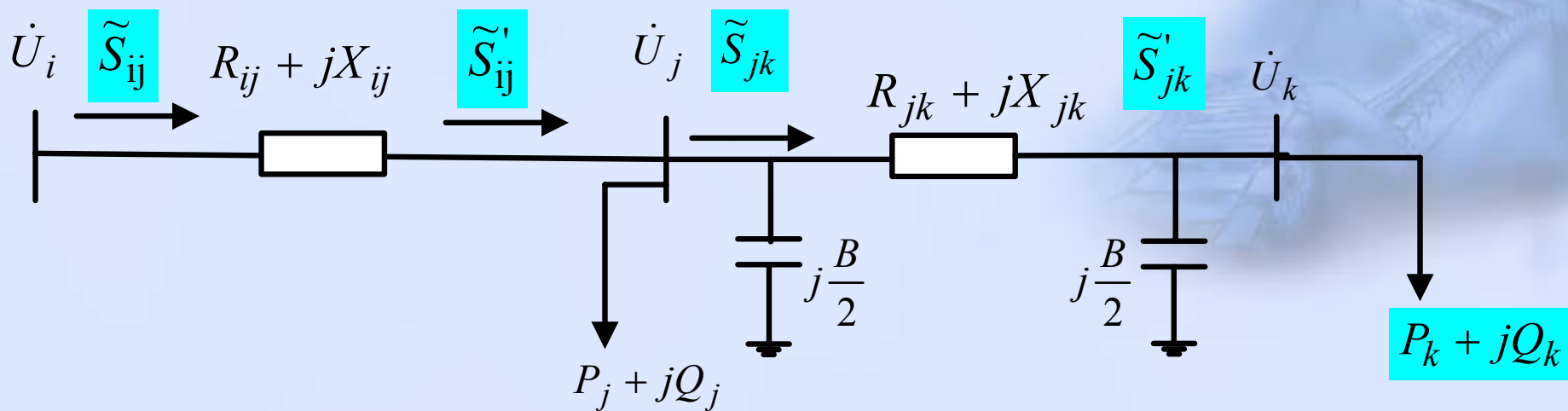
(1) 已知末端功率与电压(同点电压、功率)——递推计算



$$\tilde{S}_{ij} \leftarrow \begin{Bmatrix} \tilde{S}'_{ij} \\ \dot{U}_j \end{Bmatrix} \leftarrow \begin{Bmatrix} \tilde{S}_{jk} \\ \dot{U}_j \end{Bmatrix} \leftarrow \begin{Bmatrix} \tilde{S}'_{jk} \\ \dot{U}_k \end{Bmatrix} \leftarrow \begin{Bmatrix} P_k + jQ_k \\ \dot{U}_k \end{Bmatrix}$$

TIP: 已知反向, 求解也反向。





j - k 末端功率

$$\tilde{S}'_{jk} = P'_k + jQ'_k = (P_k + jQ_k) - j\frac{B}{2}U_k^2$$

j - k 阻抗损耗

$$\Delta\tilde{S}_{jk} = \left(\frac{|\tilde{S}'_{jk}|}{U_k}\right)^2 (R_{jk} + jX_{jk})$$

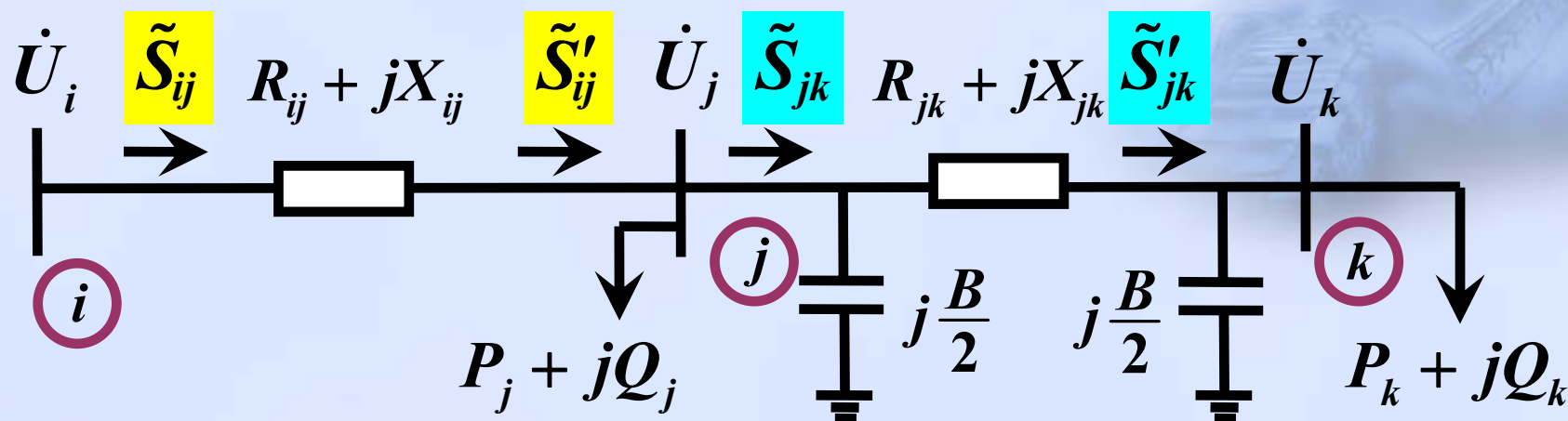
j - k 线路的电压降

$$\Delta\dot{U}_{jk} = \left(\frac{\tilde{S}'_{jk}}{\dot{U}_k}\right)^* (R_{jk} + jX_{jk})$$



i - j 线路完全同 j - k 线路，可以采用同样的方法计算电压和功率。

(2) 已知末端功率、始端电压 (不同点电压、功率) ——迭代法

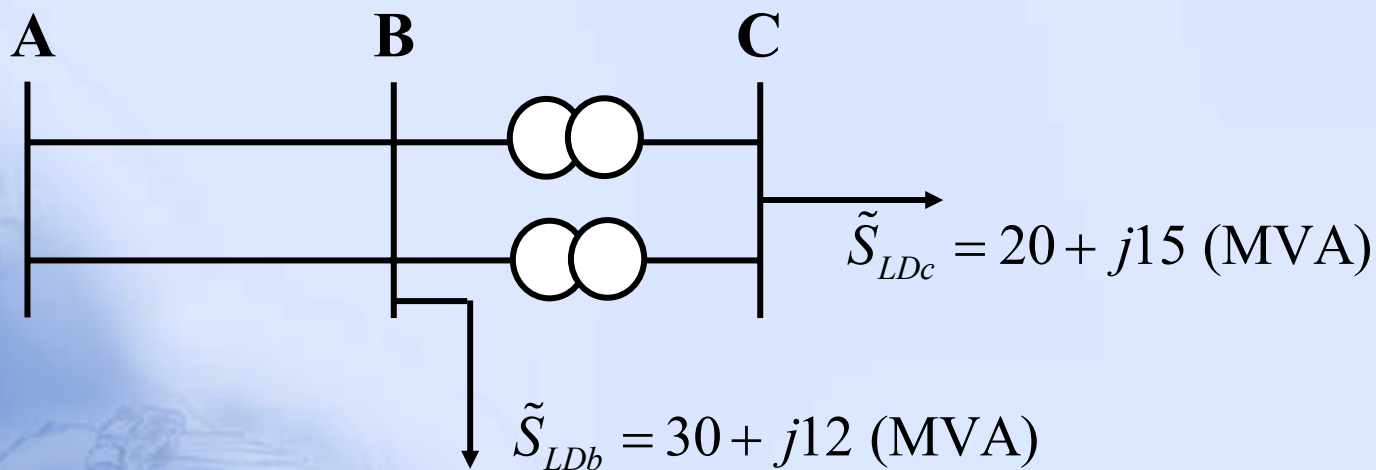


- 用末端电压(假设“额定”)和已知的末端功率，计算各段线路的功率损耗。
- 用求得线路始端功率和已知线路始端电压，计算线路电压降落，得到线路末端电压
- 用求得的线路末端电压与已知末端电压比较，迭代至收敛（各线路功率两次计算结果差小于允许值）。

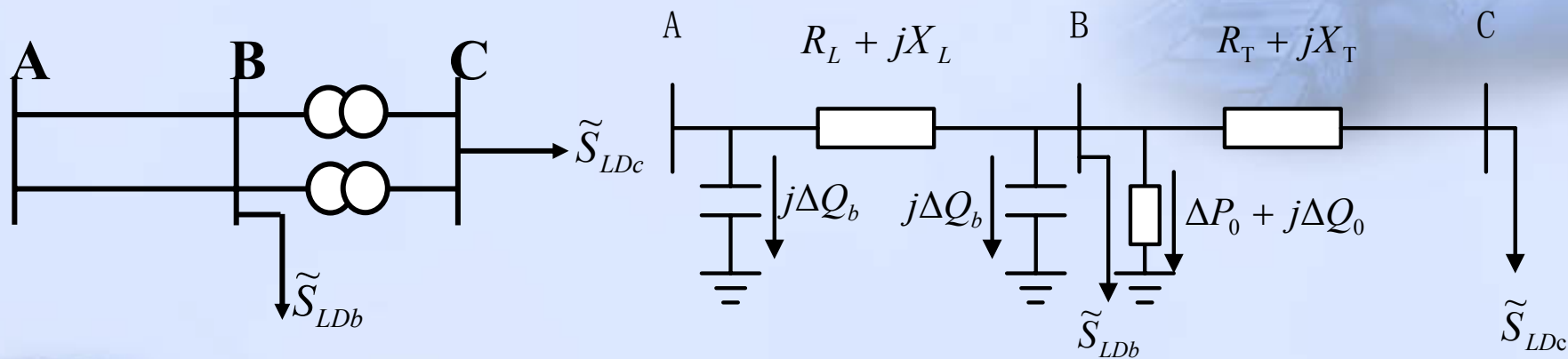


典型例题

$U_N=110\text{kV}$ ，双回路，80km，LGJ-150， $r_1=0.21\ \Omega/\text{km}$ ， $x_1=0.416\ \Omega/\text{km}$ ， $b_1=2.74\times 10^{-6}\text{S/km}$ 。三相，110/11kV变压器， $2\times 15\text{MVA}$ ， $P_0=40.5\text{kW}$ ， $P_k=128\text{kW}$ ， $U_k\%=10.5$ ， $I_o\%=3.5$ 。 $U_A=117\text{kV}$ ，求 $U_C=?$ (迭代一次)。



(1)等值电路、参数计算



$$R_L = \frac{1}{2} \times 80 \times 0.21 = 8.4 \Omega, \quad X_L = \frac{1}{2} \times 80 \times 0.416 = 16.6 \Omega$$

$$B_c = 2 \times 80 \times 2.74 \times 10^{-6} = 4.38 \times 10^{-4} \text{ S}$$

线路电压未知，用额定电压计算线路无功功率：

$$\Delta Q_b = -\frac{1}{2} B_c U_N^2 = \left(-\frac{1}{2}\right) \times 4.38 \times 10^{-4} \times 110^2 = -2.56 \text{ M var}$$

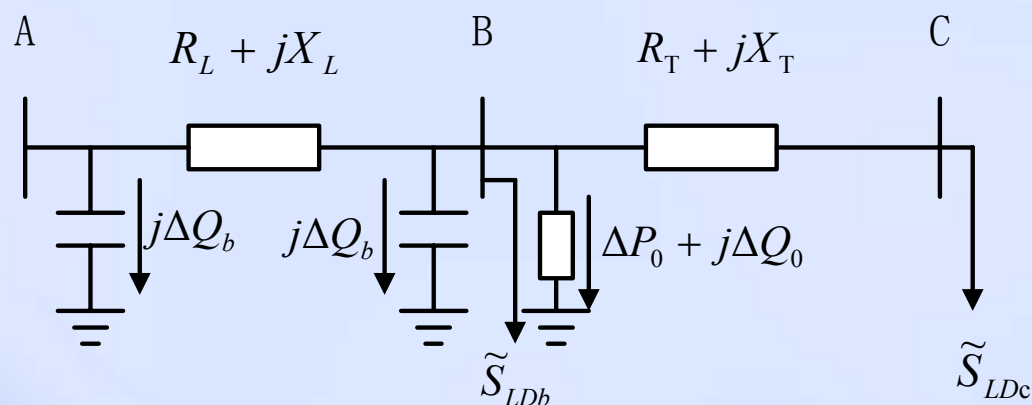
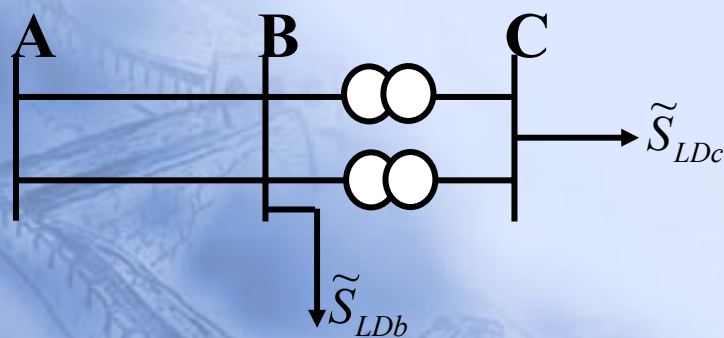


两台变压器并联

$$R_T = \frac{1}{2} \frac{\Delta P_K U_N^2}{S_N^2} = \frac{1}{2} \times \frac{(128 \times 10^3) \times (110 \times 10^3)^2}{(15 \times 10^3)^2} = 3.4 \Omega$$

$$X_T = \frac{1}{2} \frac{U_K \% U_N^2}{100 \times S_N} = \frac{1}{2} \times \frac{10.5 \times (110 \times 10^3)^2}{15 \times 10^6} = 42.4 \Omega$$

$$\Delta P_0 + j\Delta Q_0 = 2(P_0 + j \frac{I_0 \% \times S_N}{100}) = (0.08 + j1.05) \text{MVA}$$

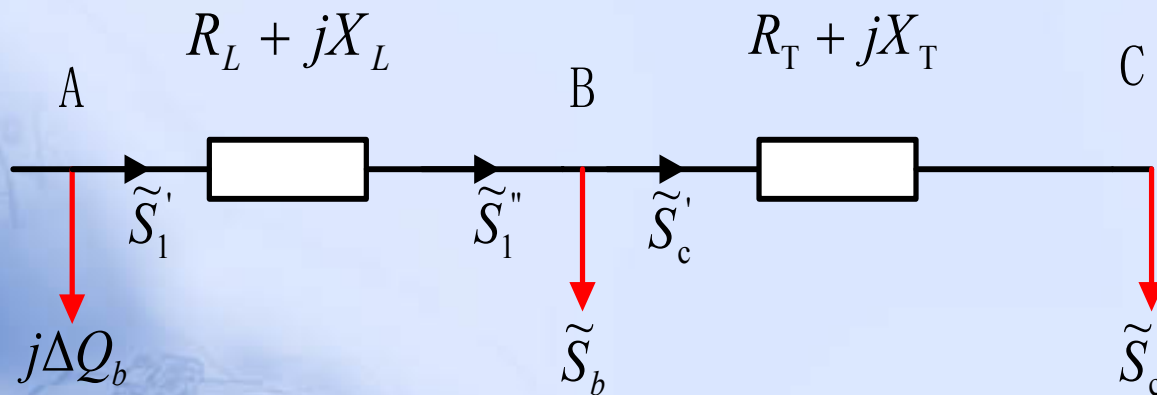


节点B的总负荷功率

$$\begin{aligned}\tilde{S}_b &= \tilde{S}_{LDb} + (\Delta P_0 + j\Delta Q_0) + \Delta Q_b \\ &= (30 + j12) + (0.08 + j1.05) - j2.65 = (30.08 + j10.4)\text{MVA}\end{aligned}$$

节点C的负荷功率(已知)

$$\tilde{S}_c = (20 + j15)\text{MVA}$$



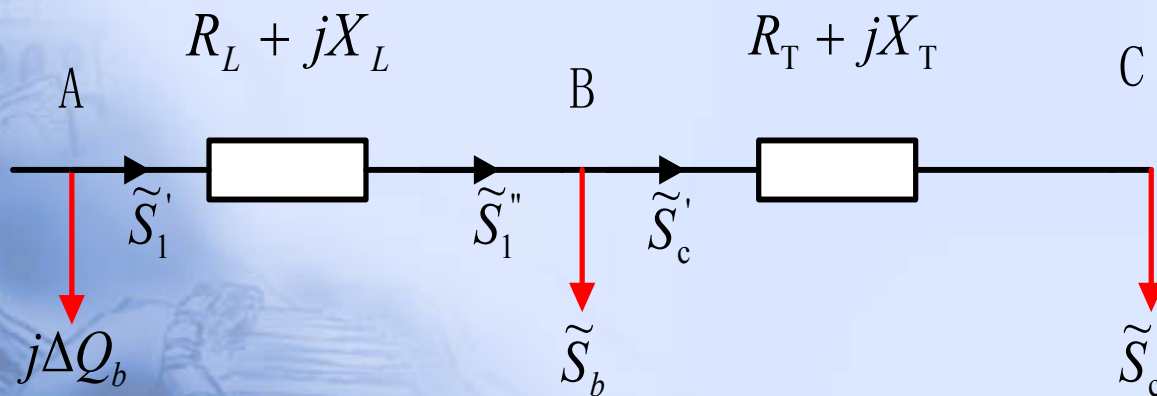
(2) 计算由母线A输出的功率

变压器绕组功率损耗:

$$\Delta \tilde{S}_T = \left(\frac{S_c}{U_N} \right)^2 (R_T + jX_T) = \frac{20^2 + 15^2}{110^2} (3.4 + j2.4) = (0.18 + j2.19) \text{MVA}$$

$$\tilde{S}'_c = \tilde{S}_c + \Delta \tilde{S}_T = 20 + j15 + 0.18 + j2.19 = (20.18 + j17.19) \text{MVA}$$

$$\tilde{S}''_1 = \tilde{S}'_c + \tilde{S}_b = 20.18 + j17.19 + 30.08 + j10.4 = (50.26 + j27.59) \text{MVA}$$

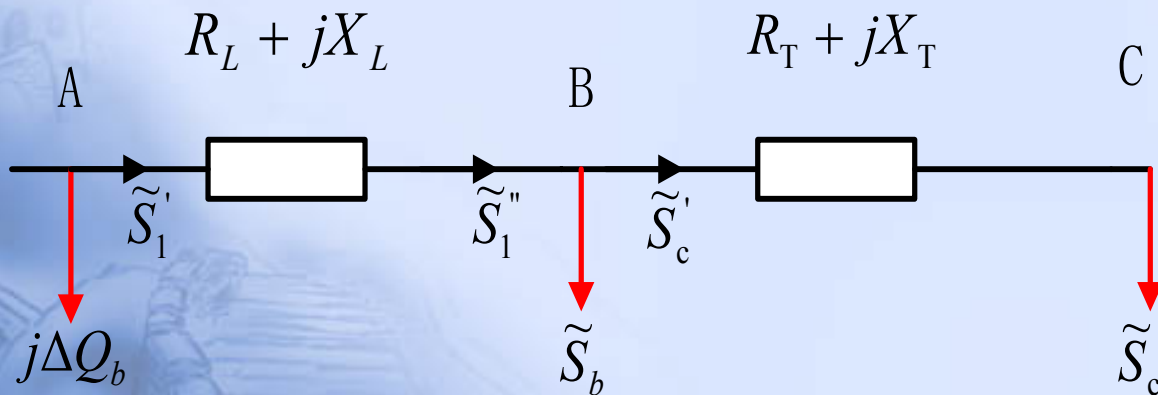


线路中功率损耗

$$\begin{aligned}\Delta\tilde{S}_L &= \left(\frac{S_1''}{U_N}\right)^2 (R_L + jX_L) = \frac{50.26^2 + 27.59^2}{110^2} (8.4 + j16.6) \\ &= (2.28 + j4.51)\text{MVA}\end{aligned}$$

$$\tilde{S}_1' = \tilde{S}_1'' + \Delta\tilde{S}_L = 50.26 + j27.59 + 2.28 + j4.51 = (52.54 + j32.1)\text{MVA}$$

$$\tilde{S}_A = \tilde{S}_1' + j\Delta Q_b = 52.54 + j32.1 - j2.65 = (52.54 + j29.45)\text{MVA}$$



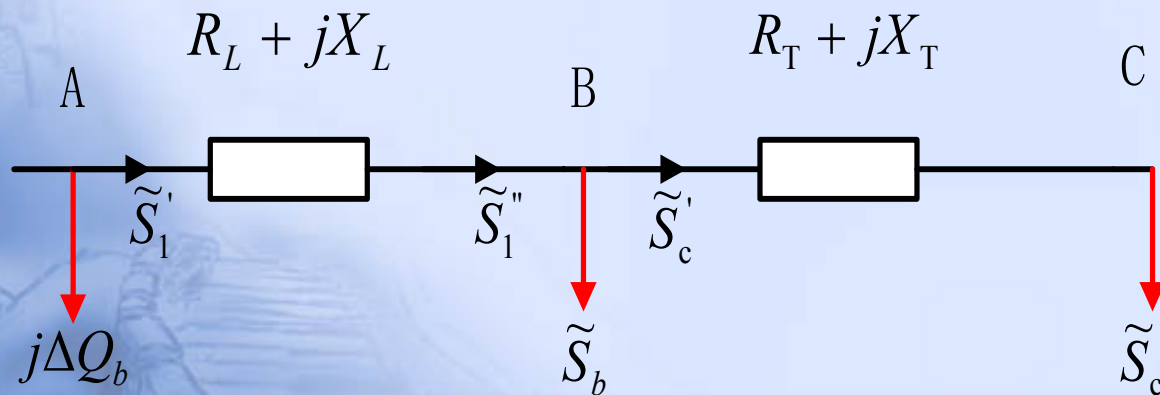
(3) 计算各节点电压

线路中电压降落的纵分量为：

$$\Delta U_L = \frac{P'_1 R_L + Q'_1 X_L}{U_A} = \frac{52.54 \times 8.4 + 32.1 \times 16.6}{117} = 8.3 \text{ kV}$$

母线**B** 电压为

$$U_b \approx U_A - \Delta U_L = 117 - 8.3 = 108.7 \text{ kV}$$



变压器中电压降落的纵分量为：

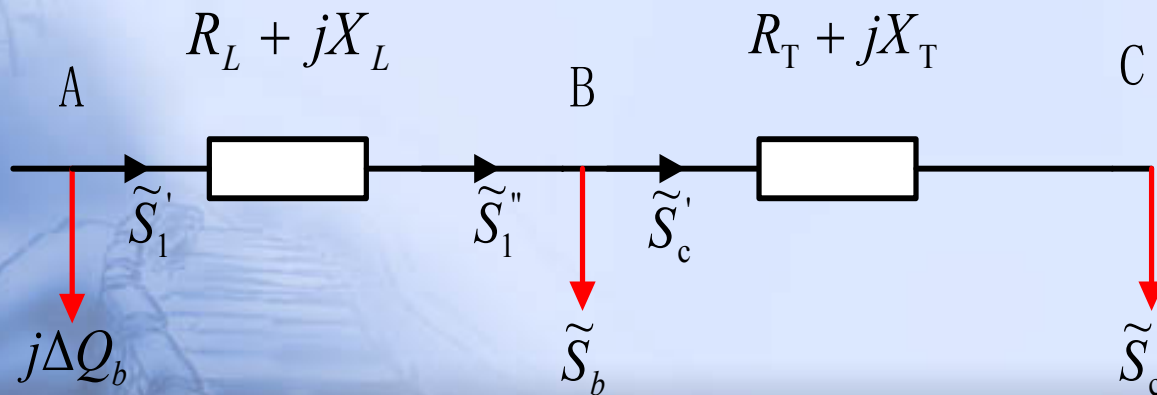
$$\Delta U_T = \frac{P'_c R_T + Q'_c X_T}{U_b} = \frac{20.18 \times 3.4 + 17.19 \times 42.4}{108.7} = 7.3 \text{ kV}$$

母线**C**的折算电压

$$U'_c \approx U_b - \Delta U_T = 108.7 - 7.3 = 101.4 \text{ kV}$$

母线**C** 的实际电压

$$U_c = U'_c \times \frac{11}{110} = 101.4 \times \frac{11}{110} = 10.14 \text{ kV}$$



3.1.4 电力网的电能损耗

年电能损耗

$$\Delta A = \sum_{i=1}^n (\Delta P_i \times \Delta t_i) \quad A = \int_0^{8760} P dt$$

年最大负荷小时

$$T_{\max} = \frac{A}{P_{\max}}$$

——愈大，负荷曲线愈平坦

年负荷率

$$K_{LY} = \frac{T_{\max}}{8760} = \frac{A}{8760 P_{\max}}$$

年负荷损耗率

$$K_{AY} = \frac{\Delta A}{8760 P_{\max}}$$

(1) 简化年电能损耗计算方法

——年负荷损耗率法

线路

$$K_{LY} = \frac{T_{\max}}{8760} = \frac{A}{8760 P_{\max}}$$

$$K_{AY} = K \cdot K_{LY} + (1 - K) K_{LY}^2$$

$$\Delta A = 8760 K_{AY} P_{\max}$$

$$+ T \Delta P_0$$

变压器

(2) 简化年电能损耗计算方法

——最大负荷损耗时间法

$$\tau_{\max} = \frac{\Delta A}{P_{\max}}$$

——最大负荷损耗时间

$$\tau_{\max} = f(T_{\max}, \cos \varphi)$$

$$\Delta A = P_{\max} \tau_{\max}$$

+ $\Delta P_0 \cdot T$

变压器空
载损耗

最大负荷损耗时间与相关因素关系

表 3-1 τ 与 T_{\max} 和 $\cos\varphi$ 的关系

$\cos\varphi$ T_{\max}/h	0.80	0.85	0.90	0.95	1.00
2 000	1 500	1 200	1 000	800	700
2 500	1 700	1 500	1 250	1 100	950
3 000	2 000	1 800	1 600	1 400	1 250
3 500	2 350	2 150	2 000	1 800	1 600
4 000	2 750	2 600	2 400	2 200	2 000
4 500	3 150	3 000	2 900	2 700	2 500
5 000	3 600	3 500	3 400	3 200	3 000
5 500	4 100	4 000	3 950	3 750	3 600
6 000	4 650	4 600	4 500	4 350	4 200
6 500	5 250	5 200	5 100	5 000	4 850
7 000	5 950	5 900	5 800	5 700	5 600
7 500	6 650	6 600	6 550	6 500	6 400
8 000	7 400		7 350		7 250



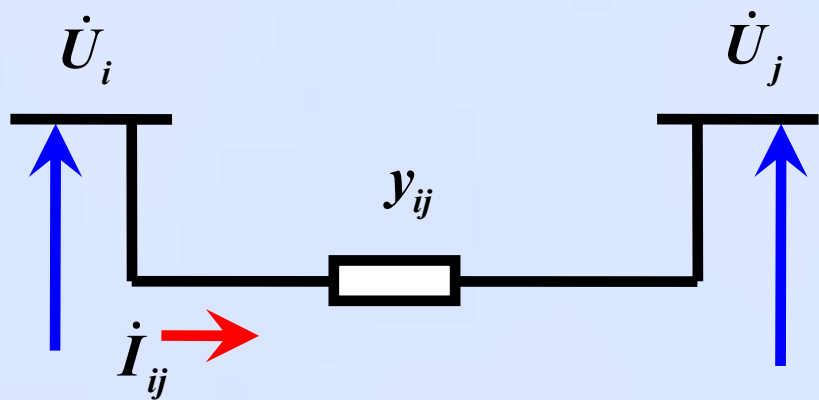
3.2 复杂电力系统潮流计算

3.2.1 节点电压方程

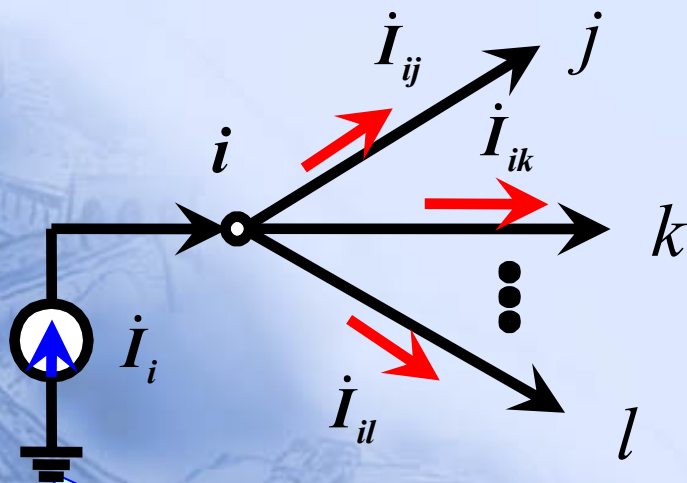
3.2.2 功率方程和节点类型



3.2.1 节点电压方程



$$\dot{I}_{ij} = y_{ij}(\dot{U}_i - \dot{U}_j)$$



n 个节点, $U_0=0$

$$\begin{aligned}\dot{I}_i &= \sum_{j=0, j \neq i}^n \dot{I}_{ij} = \sum_{j=0, j \neq i}^n y_{ij}(\dot{U}_i - \dot{U}_j) \\ &= \sum_{j=0, j \neq i}^n y_{ij} \dot{U}_i - \sum_{j=0, j \neq i}^n y_{ij} \dot{U}_j\end{aligned}$$

$$\dot{I}_i = \sum_{j=0, j \neq i}^n y_{ij} \dot{U}_i - \sum_{j=1, j \neq i}^n y_{ij} \dot{U}_j$$

$$\dot{I}_i = \dot{U}_i \sum_{j=0, j \neq i}^n y_{ij} - \underbrace{y_{i1} \dot{U}_1 + y_{i2} \dot{U}_2 + \cdots + y_{in} \dot{U}_n}$$

节点 i 自导纳

$$Y_{ii} \triangleq \sum_{j=0, j \neq i}^n y_{ij}, \quad Y_{ij} \triangleq -y_{ij}$$

i - j 之间互导纳

$$\begin{aligned} \dot{I}_i &= \sum_{j=1}^n Y_{ij} \dot{U}_j \\ &= Y_{i1} \dot{U}_1 + Y_{i2} \dot{U}_2 + \cdots + Y_{ii} \dot{U}_i + \cdots + Y_{in} \dot{U}_n \end{aligned}$$

$$\dot{I}_i = \sum_{j=1}^n Y_{ij} \dot{U}_j$$

$$\begin{cases} \dot{I}_1 = Y_{11}\dot{U}_1 + Y_{12}\dot{U}_2 + \cdots + Y_{1i}\dot{U}_i + \cdots + Y_{1n}\dot{U}_n \\ \dot{I}_2 = Y_{21}\dot{U}_1 + Y_{22}\dot{U}_2 + \cdots + Y_{2i}\dot{U}_i + \cdots + Y_{2n}\dot{U}_n \\ \vdots \\ \dot{I}_n = Y_{n1}\dot{U}_1 + Y_{n2}\dot{U}_2 + \cdots + Y_{ni}\dot{U}_i + \cdots + Y_{nn}\dot{U}_n \end{cases}$$

节点导纳矩阵

节点电流列向量

$$\begin{bmatrix} \dot{I}_1 \\ \dot{I}_2 \\ \vdots \\ \dot{I}_n \end{bmatrix}$$

=

$$\begin{bmatrix} Y_{11} & Y_{12} & \cdots & Y_{1i} & \cdots & Y_{1n} \\ Y_{21} & Y_{22} & \cdots & Y_{2i} & \cdots & Y_{2n} \\ \vdots & \vdots & \cdots & \vdots & \cdots & \vdots \\ Y_{n1} & Y_{n2} & \cdots & Y_{ni} & \cdots & Y_{nn} \end{bmatrix}$$

$$\begin{bmatrix} \dot{U}_1 \\ \dot{U}_2 \\ \vdots \\ \dot{U}_i \\ \vdots \\ \dot{U}_n \end{bmatrix}$$

节点电压列向量

I =

Y

U

➤ 导纳矩阵 \mathbf{Y}

$$\mathbf{Y} = \begin{bmatrix} Y_{11} & Y_{12} & \cdots & Y_{1i} & \cdots & Y_{1n} \\ Y_{21} & Y_{22} & \cdots & Y_{2i} & \cdots & Y_{2n} \\ \vdots & \vdots & & \vdots & & \vdots \\ Y_{i1} & Y_{i2} & \cdots & Y_{ii} & \cdots & Y_{in} \\ \vdots & \vdots & & \vdots & & \vdots \\ Y_{n1} & Y_{n2} & \cdots & Y_{ni} & \cdots & Y_{nn} \end{bmatrix}$$

非对角元素 Y_{ij} :
 i - j 间支路导纳负值

$$Y_{ij} = -y_{ij}$$

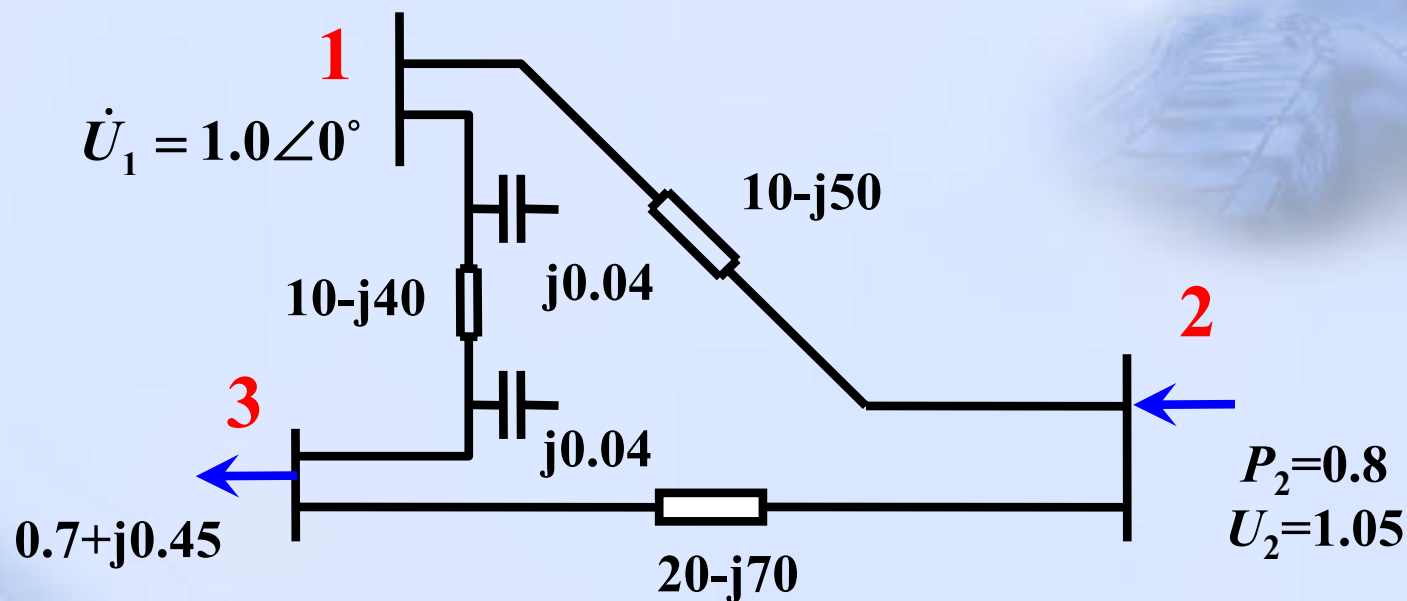
联结于 i 节点
支路导纳之和

$$Y_{ii} = \sum_{j=0, j \neq i}^n y_{ij}$$

◆ n 节点导纳矩阵 Y 的特点

- $n \times n$ 阶方阵。
- 对称。
- 复数矩阵。
- Y_{ij} 是节点 i 和 j 之间线路导纳矩阵的负值。若 $i - j$ 间无关联， $Y_{ij}=0$ 。
- Y_{ii} 是所有连接于节点 i 的线路（包括接地支路）之和。
- 每一节点平均与3~5个相邻节点有联系，导纳矩阵是一高度稀疏矩阵。

例 求导纳矩阵法(均用导纳表示)



$$\begin{cases} Y_{11} = y_{10} + y_{12} + y_{13} = j0.04 + 10 - j50 + 10 - j40 = 20 - j89.96 \\ Y_{22} = y_{12} + y_{23} = 10 - j50 + 20 - j70 = 30 - j120 \\ Y_{33} = y_{30} + y_{13} + y_{23} = j0.04 + 10 - j40 + 20 - j70 = 30 - j109.96 \\ Y_{12} = Y_{21} = -y_{12} = -(10 - j50) = -10 + j50 \\ Y_{13} = Y_{31} = -y_{13} = -(10 - j40) = -10 + j40 \\ Y_{23} = Y_{32} = -y_{23} = -(20 - j70) = -20 + j70 \end{cases}$$

导纳矩阵 **Y**

$$Y = \begin{bmatrix} 20 - j89.96 & -10 + j50 & -10 + j40 \\ -10 + j50 & 30 - j120 & -20 + j70 \\ -10 + j40 & -20 + j70 & 30 - j109.96 \end{bmatrix}$$

导纳矩阵的修改

1

在原网络增加一接地支路

2

原网络两节点间增加一条支路

3

从原网络引一条新支路，同时增加一新节点

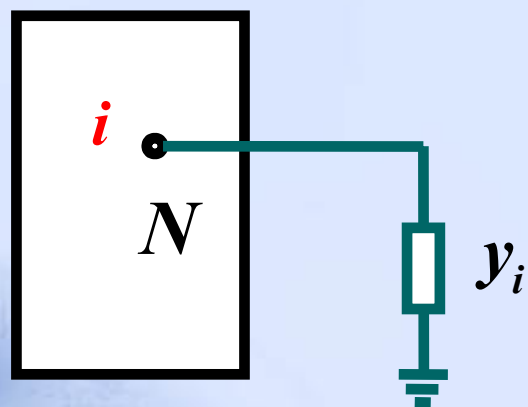
4

增加一台变压器

5

修改网络中支路参数

➤ 在原网络增加1条接地支路

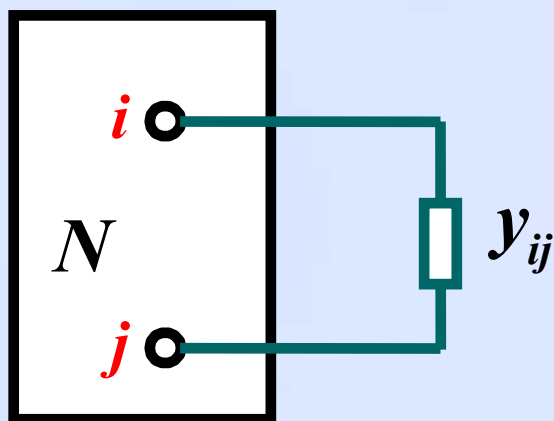


$$\mathbf{Y} = \begin{bmatrix} Y_{11} & Y_{12} & \cdots & Y_{1i} & \cdots & Y_{1n} \\ Y_{21} & Y_{22} & \cdots & Y_{2i} & \cdots & Y_{2n} \\ \vdots & & & & & \\ Y_{i1} & Y_{i2} & \cdots & Y'_{ii} & \cdots & Y_{in} \\ \vdots & & & & & \\ Y_{n1} & Y_{n2} & \cdots & Y_{ni} & \cdots & Y_{nn} \end{bmatrix}$$

$$Y'_{ii} = Y_{ii} + \Delta Y_{ii} = Y_{ii} + y_i$$

结论：改变节点 i 所对应的主对角元即可。

➤ 原网络节点 i 、 j 间增加1条支路

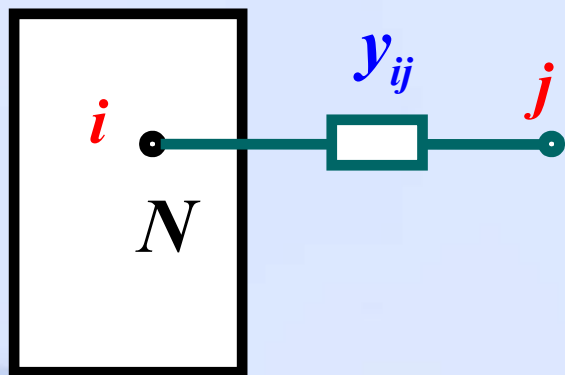


$$Y = \begin{bmatrix} Y_{11} & \cdots & Y_{1i} & \cdots & Y_{1j} & \cdots & Y_{1n} \\ \vdots & & & & & & \\ Y_{i1} & \cdots & Y'_{ii} & \cdots & Y'_{ij} & \cdots & Y_{in} \\ \vdots & & & & & & \\ Y_{j1} & \cdots & Y'_{ji} & \cdots & Y'_{jj} & \cdots & Y_{jn} \\ \vdots & & & & & & \\ Y_{n1} & \cdots & Y_{ni} & \cdots & Y_{nj} & \cdots & Y_{nn} \end{bmatrix}$$

$$\begin{cases} Y'_{ii} = Y_{ii} + \Delta Y_{ii} = Y_{ii} + y_{ij} \\ Y'_{jj} = Y_{jj} + \Delta Y_{jj} = Y_{jj} + y_{ij} \\ Y'_{ij} = Y_{ij} + \Delta Y_{ij} = Y_{ij} - y_{ij} \\ Y'_{ji} = Y_{ji} + \Delta Y_{ji} = Y_{ji} - y_{ij} \end{cases}$$

结论：改变节点 i 和 j 所对应的行和列即可。

➤ 从原网络引出1条新支路，增加1个新节点

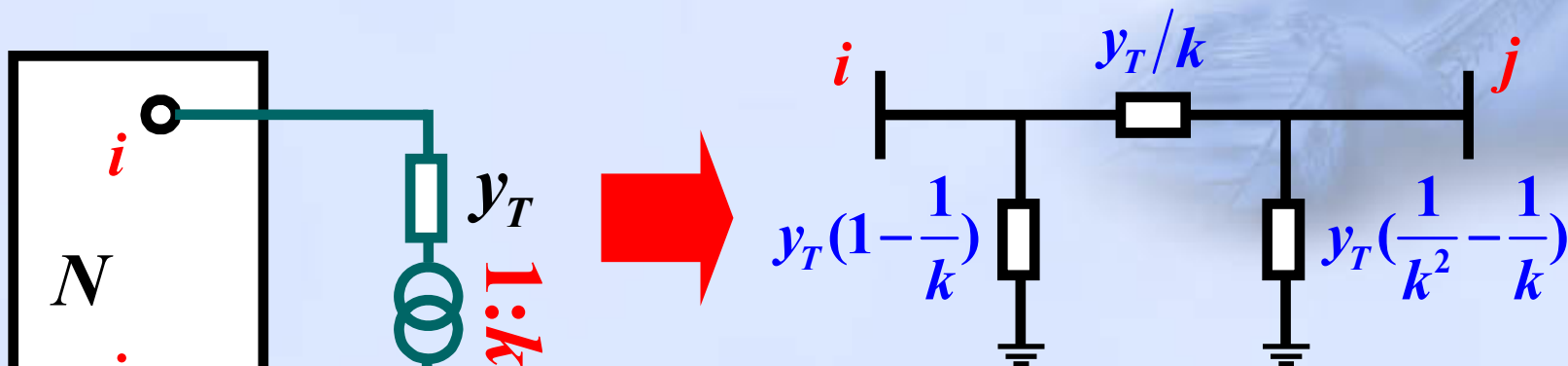


$$Y = \begin{array}{c} \begin{array}{ccccc|c} & & \textcolor{red}{i} \text{ 列} & & & \textcolor{red}{j} \text{ 列} \\ Y_{11} & \cdots & Y_{1i} & \cdots & Y_{1n} & 0 \\ \vdots & \vdots & \vdots & \vdots & \vdots & \vdots \\ Y_{i1} & \cdots & \textcircled{Y'_{ii}} & \cdots & Y_{in} & Y_{ij} \\ \vdots & \vdots & \vdots & \vdots & \vdots & \vdots \\ Y_{n1} & \cdots & Y_{ni} & \cdots & Y_{nn} & 0 \\ \hline 0 & \cdots & Y_{ji} & \cdots & 0 & Y_{jj} \end{array} \\ \begin{array}{c} \textcolor{red}{i} \text{ 行} \\ \\ \\ \\ \\ \\ \textcolor{red}{j} \text{ 列} \end{array} \end{array}$$

$$\begin{cases} Y'_{ii} = Y_{ii} + \Delta Y_{ii} = Y_{ii} + y_{ij} \\ Y_{jj} = y_{ij} \\ Y_{ij} = Y_{ji} = -y_{ij} \end{cases}$$

结论： 矩阵阶数增加 **1** 阶，改变 **i** 所对应的主对角元及与 **j** 所对应的行和列即可。

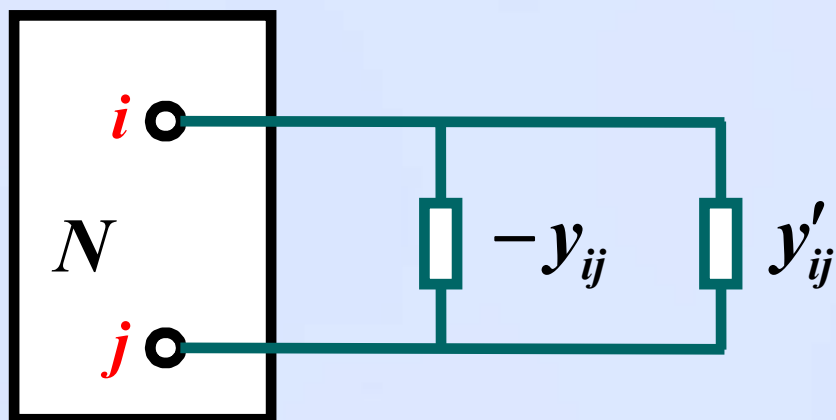
➤ 原网络节点 i 、 j 间增加 1 台变压器



$$\begin{cases} \Delta Y_{ii} = \frac{y_T}{k} + y_T \left(1 - \frac{1}{k}\right) = y_T \\ \Delta Y_{jj} = \frac{y_T}{k} + y_T \left(\frac{1}{k^2} - \frac{1}{k}\right) = \frac{y_T}{k^2} \\ \Delta Y_{ij} = \Delta Y_{ji} = -\frac{y_T}{k} \end{cases}$$

$$\mathbf{Y} = \begin{bmatrix} Y_{11} & \cdots & Y_{1i} & \cdots & Y_{1j} & \cdots & Y_{1n} \\ \vdots & & & & & & \\ Y_{i1} & \cdots & \textcircled{Y'_{ii}} & \cdots & \textcircled{Y'_{ij}} & \cdots & Y_{in} \\ \vdots & & & & & & \\ Y_{j1} & \cdots & \textcircled{Y'_{ji}} & \cdots & \textcircled{Y'_{jj}} & \cdots & Y_{jn} \\ \vdots & & & & & & \\ Y_{n1} & \cdots & Y_{ni} & \cdots & Y_{nj} & \cdots & Y_{nn} \end{bmatrix}$$

➤ 修改网络支路参数



$$Y = \begin{bmatrix} Y_{11} & \cdots & Y_{1i} & \cdots & Y_{1j} & \cdots & Y_{1n} \\ \vdots & & & & & & \\ Y_{i1} & \cdots & Y'_{ii} & \cdots & Y'_{ij} & \cdots & Y_{in} \\ \vdots & & & & & & \\ Y_{j1} & \cdots & Y'_{ji} & \cdots & Y'_{jj} & \cdots & Y_{jn} \\ \vdots & & & & & & \\ Y_{n1} & \cdots & Y_{ni} & \cdots & Y_{nj} & \cdots & Y_{nn} \end{bmatrix}$$

$$\begin{cases} \Delta Y_{ii} = -y_{ij} + y'_{ij} \\ \Delta Y_{jj} = -y_{ij} + y'_{ij} \\ \Delta Y_{ij} = y_{ij} - y'_{ij} \\ \Delta Y_{ji} = y_{ij} - y'_{ij} \end{cases}$$

节点阻抗矩阵

$$\mathbf{I} = \mathbf{Y}\mathbf{U} \Rightarrow \mathbf{U} = \mathbf{Y}^{-1}\mathbf{I} = \mathbf{Z}\mathbf{I}$$

$$\mathbf{Z} = \mathbf{Y}^{-1} = \begin{bmatrix} Z_{11} & Z_{12} & \cdots & Z_{1i} & \cdots & Z_{1n} \\ Z_{21} & Z_{22} & \cdots & Z_{2i} & \cdots & Z_{2n} \\ \vdots & \vdots & \cdots & \vdots & \cdots & \vdots \\ Z_{n1} & Z_{n2} & \cdots & Z_{ni} & \cdots & Z_{nn} \end{bmatrix}$$

——节点阻抗矩阵。

- 节点阻抗矩阵 \mathbf{Z} 的元素一般不为零，满阵。
- 非对角元素 Z_{ij} ，互阻抗； Z_{ii} ，自阻抗。



3.2.2 功率方程和节点分类

$$\tilde{S}_i = P_i + jQ_i = \dot{U}_i \dot{I}_i^* = \dot{U}_i \sum_{j=1}^n \dot{Y}_{ij}^* \dot{U}_j^*$$

实数化，**2**个功率方程：

$$\dot{U} = Ue^{j\delta} : \quad P_i = P_i(U, \delta), \quad Q_i = Q_i(U, \delta) \quad \text{——极坐标形式}$$

$$\dot{U} = e + jf : \quad P_i = P_i(e, f), \quad Q_i = Q_i(e, f) \quad \text{——直角坐标形式}$$

结论：每个节点有**4**个变量：注入有功功率 P_i 、注入无功功率 Q_i 、电压幅值 U_i 和相角 δ_i ，还必须给定**2**个。

节点分类

类型	已知	待求	适用	说明
PV	P, U	Q, δ	发电机节点，装有调相机的变电所节点	PQ 、 PV 节点分别约占系统节点总数的 85% 和 15% 。平衡节点只有 1 个
P, Q	P, Q	U, δ	负荷节点，给定有功和无功的发电机和没无功调节设备的变电站节点	
平衡	U, d	P, Q	容量足够大的发电机节点	

(1) 极坐标形式

$$\begin{cases} P_i + jQ_i = \dot{U}_i \dot{I}_i^* = \dot{U}_i \sum_{j=1}^n \dot{Y}_{ij}^* \dot{U}_j^* \\ \dot{U}_i = U_i \angle \delta_i \\ Y_{ij} = G_{ij} + jB_{ij} \\ \delta_{ij} = \delta_i - \delta_j \end{cases}$$

转化为两个
实数方程

$$\begin{cases} P_i = \sum_{j=1}^n U_i U_j (G_{ij} \cos \delta_{ij} + B_{ij} \sin \delta_{ij}) \\ \qquad \qquad \qquad (i = 1, 2, \dots, n) \\ Q_i = \sum_{j=1}^n U_i U_j (G_{ij} \sin \delta_{ij} - B_{ij} \cos \delta_{ij}) \\ \qquad \qquad \qquad (i = 1, 2, \dots, n) \end{cases}$$

(2) 直角坐标形式

$$P_i + jQ_i = \dot{V}_i \sum_{j=1}^n \hat{Y}_{ij} \hat{V}_j$$

$$\dot{V}_i = e_i + jf_i = V_i \cos \theta_i + j(V_i \sin \theta_i), \quad \dot{V}_j = e_j + jf_j = V_j \cos \theta_j + j(V_j \sin \theta_j)$$

$$\begin{cases} P_i = e_i \sum_{j \in i} (G_{ij} e_j - B_{ij} f_j) + f_i \sum_{j \in i} (G_{ij} f_j + B_{ij} e_j) \\ Q_i = f_i \sum_{j \in i} (G_{ij} e_j - B_{ij} f_j) - e_i \sum_{j \in i} (G_{ij} f_j + B_{ij} e_j) \end{cases}$$

$$\text{令 } a_i = \sum_{j \in i} (G_{ij} e_j - B_{ij} f_j), \quad b_i = \sum_{j \in i} (G_{ij} f_j + B_{ij} e_j)$$

$$\begin{cases} P_i = e_i a_i + f_i b_i \\ Q_i = f_i a_i - e_i b_i \end{cases}$$



(3) 非线性方程组

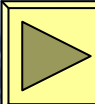
$$\begin{cases} \Delta P_i = P_{is} - V_i \sum_{j \in i} V_j (G_{ij} \cos \theta_{ij} + B_{ij} \sin \theta_{ij}) \\ \Delta Q_i = Q_{is} - V_i \sum_{j \in i} V_j (G_{ij} \sin \theta_{ij} - B_{ij} \cos \theta_{ij}) \end{cases}$$

节点*i*的
有功功率

$$\begin{cases} \Delta P_i = P_{is} - e_i \sum_{j \in i} (G_{ij} e_j - B_{ij} f_j) - f_i \sum_{j \in i} (G_{ij} f_j + B_{ij} e_j) \\ \Delta Q_i = Q_{is} - f_i \sum_{j \in i} (G_{ij} e_j - B_{ij} f_j) + e_i \sum_{j \in i} (G_{ij} f_j + B_{ij} e_j) \end{cases}$$

节点*i*的
无功功率

潮流： 给定 P_{is} 、 Q_{is} ，求解一组电压向量 V_i 、 θ_i 或 e_i 、 f_i ，使得非线性方程组得到功率误差 ΔP_i 、 ΔQ_i 在允许的范围內。



(4) 潮流工程约束条件

■ 电压数值的约束条件

$$U_{imin} \leq U_i \leq U_{imax}$$

■ 功率约束条件

$$P_{imin} \leq P_i \leq P_{imax}, Q_{imin} \leq Q \leq Q_{imax}$$

■ 电压相位角约束条件: 保证系统稳定的一个重要条件

$$|\theta_{ij}| < |\theta_{ij}|_{\max}$$



3.3 Gauss-Seidel潮流计算

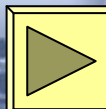
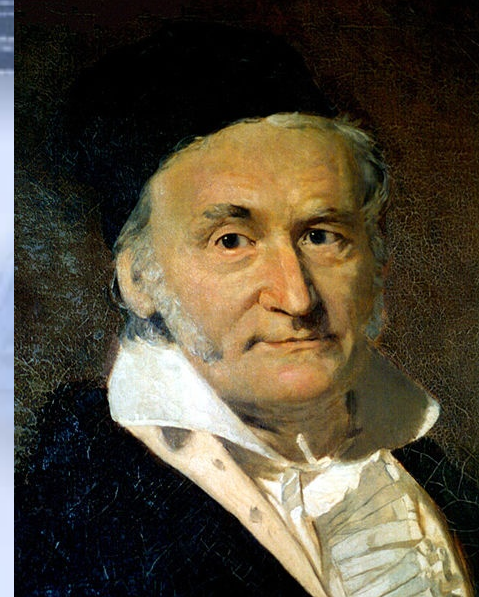
3.3.1 Gauss-Seidel解方程原理

- 单变量

$$f(x) = 0 \longleftrightarrow x = g(x)$$

$$x^{(1)} = g(x^{(0)}), \quad x^{(2)} = g(x^{(1)}), \dots, \quad x^{(k+1)} = g(x^{(k)})$$

若 $|x^{(k+1)} - x^{(k)}| \leq \varepsilon$ (指定误差), 则收敛。



■ 多变量

$$f(x_1, x_2, \dots, x_n) = 0 \longleftrightarrow x_i = g_i(x_1, x_2, \dots, x_n)$$

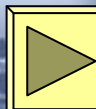
$$\begin{cases} x_1^{(k+1)} = g_1(x_1^{(k)}, x_2^{(k)}, \dots, x_n^{(k)}) \\ x_2^{(k+1)} = g_2(x_1^{(k)}, x_2^{(k)}, \dots, x_n^{(k)}) \\ \vdots \\ x_n^{(k+1)} = g_n(x_1^{(k)}, x_2^{(k)}, \dots, x_{n-1}^{(k)}, x_n^{(k)}) \end{cases}$$

Gauss思想

$$\begin{cases} x_1^{(k+1)} = g_1(x_1^{(k)}, x_2^{(k)}, \dots, x_n^{(k)}) \\ x_2^{(k+1)} = g_2(x_1^{(k+1)}, x_2^{(k)}, \dots, x_n^{(k)}) \\ \vdots \\ x_n^{(k+1)} = g_n(x_1^{(k+1)}, x_2^{(k+1)}, \dots, x_{n-1}^{(k+1)}, x_n^{(k)}) \end{cases}$$

Seidel思想:

利用最新信息
效果更明显



Gauss-Seidel迭代例题

求解
$$\begin{cases} f_1(x_1, x_2) = 3x_1 + 2x_1x_2 - 1 = 0 \\ f_2(x_1, x_2) = 3x_2 - x_1x_2 + 1 = 0 \end{cases}$$

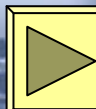
迭代格式
$$\begin{cases} x_1^{(k)} = -\frac{2}{3}x_1^{(k-1)}x_2^{(k-1)} + \frac{1}{3} \\ x_2^{(k)} = \frac{1}{3}x_1^{(k)}x_2^{(k-1)} - \frac{1}{3} \end{cases}$$

$$x_1^{(0)} = 0, x_2^{(0)} = 0$$

$$x_1^{(1)} = 0.3333, x_2^{(1)} = -0.3333$$

.....

结束条件: $\max(f_1, f_2) \leq \varepsilon (= 10^{-3})$



Gauss-Seidel迭代过程数值变化

k	x1	x2	f1	f2
1	0.3333	-0.3333	-0.2222	0.1111
2	0.4074	-0.3786	-0.6863	0.0184
3	0.4362	-0.3884	-0.0303	0.0043
4	0.4463	-0.3911	-0.0103	0.0012
5	0.4497	-0.3920	-0.0034	3.8347E-04
6	0.4508	-0.3922	-0.0012	1.2532E-04
7	0.4512	-0.3923	-3.8411E-04	4.1495E-05
8	0.4514	-0.3924	-1.2807E-04	-1.3801E-05
9	0.4514	-0.3924	-4.2692E-05	4.5967E-06

方程组解: $x_1=0.4512$, $x_2=-0.3923$, 误差 $<10^{-3}$.



Gauss-Seidel程序

% Part 1: Initializing data;

x1=0;

x2=0;

Nmax=10;

Precision=1E-03; % Tolerance level;

% Part 2: Iterating value using Gass-Seidel method;

for k=1:Nmax

Error=0;

x1=-2/3*x1*x2+1/3;

x2=x1*x2/3-1/3;

f1=3*x1+2*x1*x2-1;

f2=3*x2-x1*x2+1;

Error=max(abs(f1),abs(f2));

if Error<Precision

disp('Iteration successful');

break

end

end



% Part 3:Outputing message;

if Error>Precision

disp('Calculation is fail.');

disp('Inceasing Nmax or deceasing precision!')

end

3.3.2 Gauss-Seidel潮流计算

$$P_i + jQ_i = \dot{V}_i \sum_{j=1}^n \hat{Y}_{ij} \hat{V}_j$$

$$\sum_{j=1}^n Y_{ij} \dot{V}_j = \frac{P_i - jQ_i}{\hat{V}_i}$$

$$Y_{ii} \dot{V}_i + \sum_{\substack{j=1 \\ j \neq i}}^n Y_{ij} \dot{V}_j = \frac{P_i - jQ_i}{\hat{V}_i}$$

$$\dot{V}_i = \frac{1}{Y_{ii}} \left(\frac{P_i - jQ_i}{\hat{V}_i} - \sum_{\substack{j=1 \\ j \neq i}}^n Y_{ij} \dot{V}_j \right)$$

$$\dot{V}_i^{(k+1)} = \frac{1}{Y_{ii}} \left[\frac{P_i - jQ_i}{\hat{V}_i^{(k)}} - \sum_{j=1}^{i-1} Y_{ij} \dot{V}_j^{(k+1)} - \sum_{j=i+1}^n Y_{ij} \dot{V}_j^{(k)} \right]$$

——Gauss-Seidel潮流迭代格式



(1) PQ节点的迭代

$$\dot{V}_i^{(k+1)} = \frac{1}{Y_{ii}} \left[\frac{P_i - jQ_i}{\hat{V}_i^{(k)}} - \sum_{j=1}^{i-1} Y_{ij} \dot{V}_j^{(k+1)} - \sum_{j=i+1}^n Y_{ij} \dot{V}_j^{(k)} \right]$$

实施方法：

直接把各节点的上一次电压值代入进行迭代计算。



(2) PV节点的迭代

PV节点的 P 、 V 已知，无功功率 Q_i 是未知量，须先计算。

$$Q_i^{(k)} = \text{Im}(\dot{U}_i^{(k)} \hat{I}_i^{(k)}) \quad \hat{I}_i^{(k)} = \sum_{j=1}^{i-1} \hat{Y}_{ij} \hat{U}_j^{(k+1)} + \sum_{j=i}^n \hat{Y}_{ij} \hat{U}_j^{(k)}$$

→ $Q_i^{(k)} = \text{Im}(\dot{U}_i^{(k)} \hat{I}_i^{(k)}) = \text{Im}[\dot{U}_i^{(k)} (\sum_{j=1}^{i-1} \hat{Y}_{ij} \hat{U}_j^{(k+1)} + \sum_{j=i}^n \hat{Y}_{ij} \hat{U}_j^{(k)})]$

——**PV**节点， Q 迭代公式

$$\dot{V}_i^{(k+1)} = \frac{1}{Y_{ii}} \left[\frac{P_i - jQ_i^{(k)}}{\hat{V}_i^{(k)}} - \sum_{j=1}^{i-1} Y_{ij} \dot{V}_j^{(k+1)} - \sum_{j=i+1}^n Y_{ij} \dot{V}_j^{(k)} \right]$$

i-th节点为“**PV**”类型—— V_i 幅值已知，如何处理？ 辐角代入

→ $\dot{V}_i^{(k+1)} = V_i e^{j\theta_i}$



PV节点的迭代讨论

$$\left. \begin{array}{l} Q_i^{(k)} < Q_{i\min} \\ Q_i^{(k)} > Q_{i\max} \end{array} \right\} \begin{array}{l} \blacksquare Q = Q_{i\min} \\ \blacksquare Q = Q_{i\max} \end{array} \quad \text{转为} \textcolor{blue}{PQ} \text{节点}$$
$$Q_{i\min} < Q_i^{(k)} < Q_{i\max} \quad \blacksquare \text{实际代入。}$$

$$Q_i^{(k)} = \text{Im}(\dot{U}_i^{(k)} \hat{I}_i^{(k)}) = \text{Im}[\dot{U}_i^{(k)} (\sum_{j=1}^{i-1} \hat{Y}_{ij} \hat{U}_j^{(k+1)} + \sum_{j=i}^n \hat{Y}_{ij} \hat{U}_j^{(k)})]$$

$$Q_i^{(k)} = -\text{Im}(\hat{U}_i^{(k)} I_i^{(k)}) = \text{Im}[\hat{U}_i^{(k)} (\sum_{j=1}^{i-1} Y_{ij} \dot{U}_j^{(k+1)} + \sum_{j=i}^n Y_{ij} \dot{U}_j^{(k)})]$$

等价

——共轭求取较少

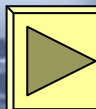


(3) 平衡节点 (Swing bus)

电压已知，无需迭代。

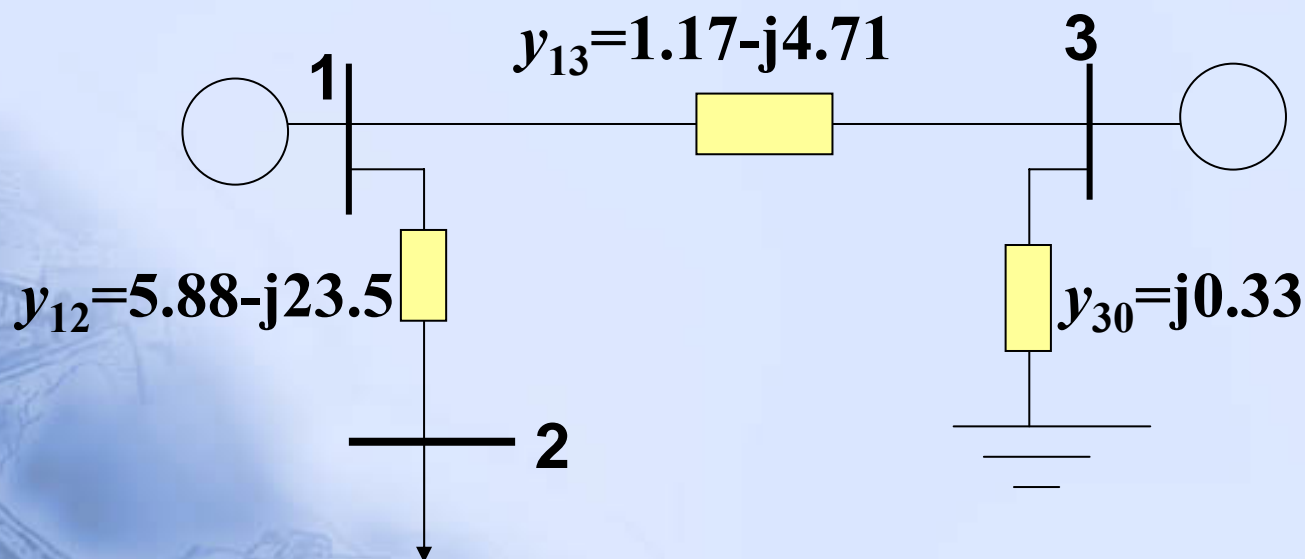
(4) 收敛判据

$$\max |\dot{U}_i^{(k+1)} - \dot{U}_i^{(k)}| < \varepsilon (\text{给定误差})?$$



Gauss-Seidel程序的实现

节点1，平衡节点；节点2， PQ 节点， $S_2=-0.8-j0.6$ ；节点3， PV 节点， $P_3=0.4, U_3=1.1$ 。计算节点2的电压、节点3的相位角。



参考：陈珩，电力系统分析[M]. 北京：水利电力出版社，1985：146-148.

Matlab实现

% Part 1: Creating admittance matrix Y;

clear;

y13=1.17-j*4.71; % Admittances linked 2-nodes;

y12=5.88-j*23.5;

y30=j*0.33;

Y=[y12+y13 -y12 -y13;

-y12 y12 0;

-y13 0 y13+y30];

% Part 2: Initialing voltage, power value;

U(1)=1; % Swing node;

U3=1.1; % Magnitude for PV node;

P(3)=0.4;

S(2)=-0.8-j*0.6;

Nmax=10;

Precision=1E-06; % Tolerance level;

% Part 3: Iterative process;

U(2)=1.0; % Setting initial voltage for 2-th node, need to solve.

Sita3=0; % Phase angle for 3th node, need to solve.

MaxError=0;

U(3)=U3*exp(j*Sita3);

for k=1:Nmax

U_old(2:3)=U(2:3); %Save old voltage in order to determine convergence

% For PQ node, 2th nodes;

Temp1=conj(S(2)/U(2))-Y(2,1)*U(1)-Y(2,3)*U(3);

U(2)=Temp1/Y(2,2);

$$\dot{V}_i^{(k+1)} = \frac{1}{Y_{ii}} \left[\frac{P_i - jQ_i}{\hat{V}_i^{(k)}} - \sum_{j=1}^{i-1} Y_{ij} \dot{V}_j^{(k+1)} - \sum_{j=i+1}^n Y_{ij} \dot{V}_j^{(k)} \right]$$

% For PV nodes, 3th node;

Temp3=conj(U(3))*(Y(3,3)*U(3)+Y(3,1)*U(1)+Y(3,2)*U(2));

Q(3)=-imag(Temp3);

$$Q_i^{(k)} = -\text{Im}[\hat{U}_i^{(k)} (\sum_{j=1}^{i-1} Y_{ij} \dot{U}_j^{(k+1)} + \sum_{j=i}^n Y_{ij} \dot{U}_j^{(k)})]$$

S(3)=P(3)+j*Q(3);

Temp3=conj(S(3)/U(3))-Y(3,1)*U(1)-Y(3,2)*U(2);

U(3)=Temp3/Y(3,3);

Sita3=angle(U(3));

U(3)=U3*exp(j*Sita3);

$$\dot{V}_i^{(k+1)} = V_i e^{j\theta_i}$$

% Convergence criterion;

for p=2:3

Error(p)=U(p)-U_old(p);

$$\max |\dot{U}_i^{(k+1)} - \dot{U}_i^{(k)}| < \varepsilon (\text{给定误差})?$$

end

MaxError=max(abs(Error(2)),abs(Error(3)));

if MaxError<Precision

disp('Iteration successful');

disp('Iteration number=');

disp(k);

MaxError

break

end

end



% Part 4: Output messages;

if MaxError>Precision

disp('Calculation is fail.');

disp('Inceasing Nmax or deceasing presion!')

end

% T H E E N D , 2 0 1 0 - 1 0 - 2 0 .



Gauss-Seidel迭代过程物理量变化

k	U(2)	Angle(U(3))	MaxError
1	9.6796e-001 -2.6025e-002i	4.7144e-002	5.1854e-002
2	9.6620e-001 -2.5978e-002i	5.1666e-002	4.9742e-003
3	9.6614e-001 -2.6025e-002i	5.2022e-002	3.9124e-004
4	9.6613e-001 -2.6025e-002i	5.2049e-002	3.0165e-005
5	9.6613e-001 -2.6025e-002i	5.2051e-002	2.3221e-006
6	9.6613e-001 -2.6025e-002i	5.2051e-002	1.7873e-007

结论：迭代误差 = 10^{-6}

$$\dot{U}_2 = 0.96613 - j0.026025, \quad \delta_3 = 0.052051(\text{rad})$$

论文作业

Gauss-Seidel潮流计算(题目)

撰写一篇小论文，建议内容：

- **概述：**简单介绍潮流计算的意义，发展等。
- **计算原理：**参考书上内容，介绍这一类算法的通用迭代格式。
- **算法的实现与讨论：**设定一算例，可参考课件上的程序进行计算(自己编写更好)，对某些问题进行讨论(自己想)，可以做出表格、曲线等。
- **结论：**至少得到两点结论。
- **参考文献：**必须的，并且要在概述中引用。
- **注意：**论文格式规范性，好的推荐到**APSC2011**。**2010年11月19号前发word文档至信箱。**



3.4 Newton-Raphson法潮流计算

3.4.1 N-R法基本原理

3.4.2 潮流方程N-R修正格式

3.4.3 N-R求解过程

3.4.4 N-R的MATLAB实现

3.4.5 N-R计算潮流的有关问题



3.4.1 Newton-Raphson法基本原理

解非线性方程组的一种有效方法。

核心：把非线性方程的求解变成反复对应的线性方程组的求解过程，也称作逐次线性化过程(也称作“切线法”)。

非线性方程 $f(x)=0$

设 $x^{(0)}$ 为方程的初值，真解 $x = x^{(0)} - \Delta x^{(0)}$ ， $\Delta x^{(0)}$ 为修正量。

$$f(x^{(0)} - \Delta x^{(0)}) = 0$$

$$\begin{aligned} f(x^{(0)} - \Delta x^{(0)}) &= f(x^{(0)}) - f'(x^{(0)})\Delta x^{(0)} + f''(x^{(0)})\frac{(\Delta x^{(0)})^2}{2!} - \dots \\ &+ (-1)^n f^{(n)}(x^{(0)})\frac{(\Delta x^{(0)})^n}{n!} + \dots = 0 \end{aligned}$$



$$f(x^{(0)} - \Delta x^{(0)}) = f(x^{(0)}) - f'(x^{(0)})\Delta x^{(0)} + f''(x^{(0)})\frac{(\Delta x^{(0)})^2}{2!} - \dots$$

$$+ (-1)^n f^{(n)}(x^{(0)})\frac{(\Delta x^{(0)})^n}{n!} + \dots = 0$$

近似处理：当 $\Delta x^{(0)}$ 小时

$$f(x^{(0)}) - f'(x^{(0)})\Delta x^{(0)} = 0 \quad \text{——修正方程}$$

新解： $x^{(1)} = x^{(0)} - \Delta x^{(0)}$

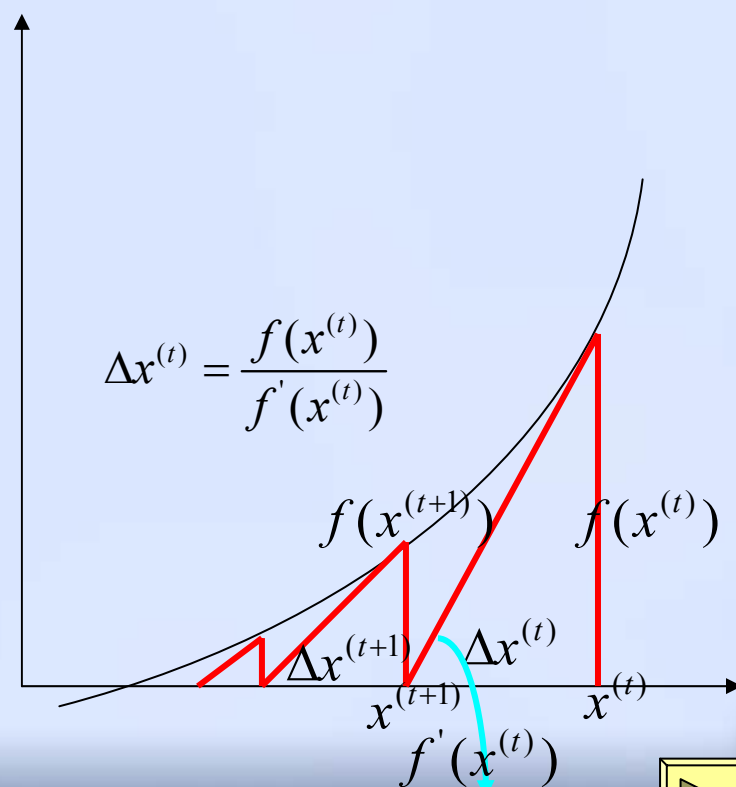
继续修正： $f(x^{(1)}) - f'(x^{(1)})\Delta x^{(1)} = 0$

更新的解： $x^{(2)} = x^{(1)} - \Delta x^{(1)}$

$$\vdots$$

$$f(x^{(t)}) - f'(x^{(t)})\Delta x^{(t)} = 0$$

若 $f(x^{(t)}) \rightarrow 0$, 则 $x^{(t)}$ 为方程 $f(x)$ 的解。



多变量Newton-Raphson法

$$\begin{cases} f_1(x_1, x_2, \dots, x_n) = 0 \\ \vdots \\ f_n(x_1, x_2, \dots, x_n) = 0 \end{cases}$$

$$\begin{cases} f_1(x_1^{(0)} - \Delta x_1^{(0)}, x_2^{(0)} - \Delta x_2^{(0)}, \dots, x_n^{(0)} - \Delta x_n^{(0)}) = 0 \\ \vdots \\ f_n(x_1^{(0)} - \Delta x_1^{(0)}, x_2^{(0)} - \Delta x_2^{(0)}, \dots, x_n^{(0)} - \Delta x_n^{(0)}) = 0 \end{cases}$$

$$\begin{cases} f_1(x_1^{(0)}, x_2^{(0)}, \dots, x_n^{(0)}) - \left[\frac{\partial f_1}{\partial x_1} \Big|_0 \Delta x_1^{(0)} + \frac{\partial f_1}{\partial x_2} \Big|_0 \Delta x_2^{(0)} + \dots + \frac{\partial f_1}{\partial x_n} \Big|_0 \Delta x_n^{(0)} \right] = 0 \\ \vdots \\ f_n(x_1^{(0)}, x_2^{(0)}, \dots, x_n^{(0)}) - \left[\frac{\partial f_n}{\partial x_1} \Big|_0 \Delta x_1^{(0)} + \frac{\partial f_n}{\partial x_2} \Big|_0 \Delta x_2^{(0)} + \dots + \frac{\partial f_n}{\partial x_n} \Big|_0 \Delta x_n^{(0)} \right] = 0 \end{cases}$$



$$\begin{bmatrix} f_1(x_1^{(0)}, x_2^{(0)}, \dots, x_n^{(0)}) \\ f_2(x_1^{(0)}, x_2^{(0)}, \dots, x_n^{(0)}) \\ \vdots \\ f_n(x_1^{(0)}, x_2^{(0)}, \dots, x_n^{(0)}) \end{bmatrix} = \begin{bmatrix} \frac{\partial f_1}{\partial x_1} & \frac{\partial f_1}{\partial x_2} & \dots & \frac{\partial f_1}{\partial x_n} \\ \frac{\partial f_2}{\partial x_1} & \frac{\partial f_2}{\partial x_2} & \dots & \frac{\partial f_2}{\partial x_n} \\ \vdots & \vdots & \ddots & \vdots \\ \frac{\partial f_n}{\partial x_1} & \frac{\partial f_n}{\partial x_2} & \dots & \frac{\partial f_n}{\partial x_n} \end{bmatrix}_0 \begin{bmatrix} \Delta x_1^{(0)} \\ \Delta x_2^{(0)} \\ \vdots \\ \Delta x_n^{(0)} \end{bmatrix}$$

——线性方程组，N-R的修正方程

解出 $\Delta x_1^{(0)}, \Delta x_2^{(0)}, \dots, \Delta x_n^{(0)}$

$$\begin{cases} x_1^{(1)} = x_1^{(0)} - \Delta x_1^{(0)} \\ x_2^{(1)} = x_2^{(0)} - \Delta x_2^{(0)} \\ \vdots \\ x_n^{(1)} = x_n^{(0)} - \Delta x_n^{(0)} \end{cases}$$



第 t 次迭代:

$$\begin{bmatrix} f_1(x_1^{(t)}, x_2^{(t)}, \dots, x_n^{(t)}) \\ f_2(x_1^{(t)}, x_2^{(t)}, \dots, x_n^{(t)}) \\ \vdots \\ f_n(x_1^{(t)}, x_2^{(t)}, \dots, x_n^{(t)}) \end{bmatrix} = \begin{bmatrix} \frac{\partial f_1}{\partial x_1} & \frac{\partial f_1}{\partial x_2} & \dots & \frac{\partial f_1}{\partial x_n} \\ \frac{\partial f_2}{\partial x_1} & \frac{\partial f_2}{\partial x_2} & \dots & \frac{\partial f_2}{\partial x_n} \\ \vdots & \vdots & \vdots & \vdots \\ \frac{\partial f_n}{\partial x_1} & \frac{\partial f_n}{\partial x_2} & \dots & \frac{\partial f_n}{\partial x_n} \end{bmatrix} \begin{bmatrix} \Delta x_1^{(t)} \\ \Delta x_2^{(t)} \\ \vdots \\ \Delta x_n^{(t)} \end{bmatrix}$$

第 t 次迭代时函数的误差向量

雅克比矩阵

修正向量

$$F(X^{(t)}) = J^{(t)} \Delta X^{(t)}$$

$$X^{(t+1)} = X^{(t)} - \Delta X^{(t)}$$

收敛判据

$$\| \Delta X^{(t)} \| < \varepsilon_1, \text{ 或, } \| F(X^{(t)}) \| < \varepsilon_2$$



N-R求解非线性方程组

解非线性方程

$$\begin{cases} x_1^2 - x_2^2 + x_3^2 - 11 = 0 \\ x_1 x_2 + x_2^2 - 3x_3 - 3 = 0, \quad |\Delta x| < 10^{-2} \\ x_1 - x_1 x_3 + x_2 x_3 - 6 = 0 \end{cases}$$

$$\mathbf{J} = \begin{bmatrix} 2x_1 & -2x_2 & 2x_3 \\ x_2 & x_1 + 2x_2 & -3 \\ 1 - x_3 & x_3 & -x_1 + x_2 \end{bmatrix}$$

$$\mathbf{x}^{(0)} = \begin{bmatrix} 1 \\ 1 \\ 1 \end{bmatrix}$$

N-次法解线性方程组Matlab实现(NREquation.m)

Part 1: Inializing value;

```
clear;
```

```
Dx=[100;100;100];           % Max value of varies changing;
```

```
x=[1;1;1];                  % Initializing value of x, that is x0;
```

```
TL=1E-02;                   % Tolerance level;
```

```
Nmax=10;                    % Max number of permitted iteration;
```

```
k=0;
```

% Part 2: Iterative process using N-R method;

while max(abs(Dx))>TL & k<Nmax; % Test for convergence;

 k=k+1;

 F=[x(1)^2-x(2)^2+x(3)^2-11

 x(1)*x(2)+x(2)^2-3*x(3)-3

 x(1)-x(1)*x(3)+x(2)*x(3)-6];

 J=[2*x(1) -2*x(2) 2*x(3)

 x(2) x(1)+2*x(2) -3

 1-x(3) x(3) -x(1)+x(3)];

 Dx=J\F; % Changing of varies;

 x=x-Dx; % Continue computing;

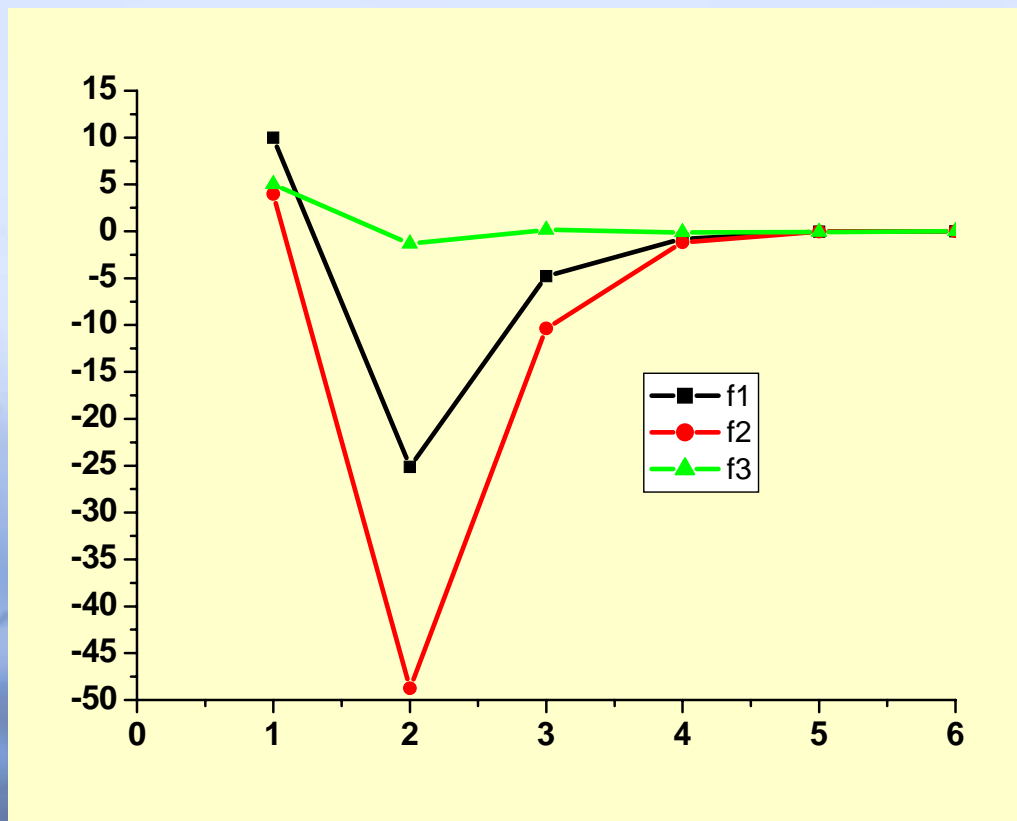
end

$$\begin{cases} x_1^2 - x_2^2 + x_3^2 - 11 = 0 \\ x_1 x_2 + x_2^2 - 3x_3 - 3 = 0 \\ x_1 - x_1 x_3 + x_2 x_3 - 6 = 0 \end{cases}$$

$$J = \begin{bmatrix} 2x_1 & -2x_2 & 2x_3 \\ x_2 & x_1 + 2x_2 & -3 \\ 1 - x_3 & x_3 & -x_1 + x_2 \end{bmatrix}$$

N-次法计算结果

$$\mathbf{x}^{(6)} = \begin{bmatrix} 1.9998 \\ 3.0002 \\ 4.0003 \end{bmatrix}, \Delta \mathbf{x} = \begin{bmatrix} 1.6021\text{E-}03 \\ -1.2697\text{E-}03 \\ -1.7627\text{E-}03 \end{bmatrix}, \max(\Delta \mathbf{x}) < 1\text{E-}02$$



3.4.2 潮流公式的修正方程式

(1) 极坐标形式

已知: n 个节点, PV 节点为 r 个, 平衡节点为1个;

PQ 节点为 $(n-r-1)$ 个。

待求: 电压幅值 V_i 和幅角 θ_i , 未知数为 $(n-r-1)+(n-1)=2n-r-2$ 。

有功迭代: PV 、 PQ 均为已知, 平衡节点电压已知不迭代, 共有 $(n-1)$ 个方程。

$$\begin{cases} \Delta P_1 = P_{1S} - V_1 \sum_{j \in 1} V_j (G_{1j} \cos \theta_{1j} + B_{1j} \sin \theta_{1j}) = 0 \\ \Delta P_2 = P_{2S} - V_2 \sum_{j \in 2} V_j (G_{2j} \cos \theta_{2j} + B_{2j} \sin \theta_{2j}) = 0 \\ \vdots \\ \Delta P_{n-1} = P_{n-1,S} - V_{n-1} \sum_{j \in (n-1)} V_j (G_{n-1,j} \cos \theta_{n-1,j} + B_{n-1,j} \sin \theta_{n-1,j}) = 0 \end{cases}$$

V_i 的待求数

θ_i 的待求数



无功迭代： PV 节点 V_i 已知，不需要求解，但 Q 为未知，也无法参与迭代，共有 r 个； PQ 为已知， $(n-r-1)$ 个；平衡节点电压已知不迭代；共有 $(n-r-1)$ 个方程。

$$\begin{cases} \Delta Q_1 = Q_{1S} - V_1 \sum_{j \in 1} V_j (G_{1j} \sin \theta_{1j} - B_{1j} \cos \theta_{1j}) = 0 \\ \Delta Q_2 = Q_{2S} - V_2 \sum_{j \in 1} V_j (G_{2j} \sin \theta_{2j} - B_{2j} \cos \theta_{2j}) = 0 \\ \vdots \\ \Delta Q_{n-r-1} = Q_{n-r-1,S} - V_{n-r-1} \sum_{j \in (n-r-1)} V_j (G_{n-r-1,j} \sin \theta_{n-r-1,j} - B_{n-r-1,j} \cos \theta_{n-r-1,j}) = 0 \end{cases}$$

有功 P 、无功 Q 方程个数： $(n-1) + (n-r-1) = 2n-r-2$ ，与未知数的个数相等，可以定解。



思考：通过迭代需要求解？

$$\begin{bmatrix} \Delta P \\ \Delta Q \end{bmatrix} = \begin{bmatrix} H & N \\ J & L \end{bmatrix} \begin{bmatrix} \Delta \theta \\ \Delta V \end{bmatrix} \quad \text{——线性方程组}$$

$$\begin{bmatrix} \theta^{(k+1)} \\ V^{(k+1)} \end{bmatrix} = \begin{bmatrix} \theta^{(k)} \\ V^{(k)} \end{bmatrix} - \begin{bmatrix} \Delta \theta^{(k)} \\ \Delta V^{(k)} \end{bmatrix}$$

关键问题？ 求解 H, N, J, L

← 对比 $F(X^{(t)}) = J^{(t)} \Delta X^{(t)}$

如何求解分块矩阵.....？



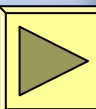
Jacobi矩阵元素的组成

$$\begin{bmatrix} (\Delta P)_{(n-1) \times 1} \\ (\Delta Q)_{(n-r-1) \times 1} \end{bmatrix} = \begin{bmatrix} \mathbf{H}_{(n-1) \times (n-1)} & \mathbf{N}_{(n-1) \times (n-r-1)} \\ \mathbf{J}_{(n-r-1) \times (n-1)} & \mathbf{L}_{(n-r-1) \times (n-r-1)} \end{bmatrix} \begin{bmatrix} (\Delta \theta)_{(n-1) \times 1} \\ (\Delta V/V)_{(n-r-1) \times 1} \end{bmatrix}_{(2n-r-2) \times 1}$$

表示 $(\Delta V_i/V_i)$ 之意，为了方便

求解的思路：展开 ΔP 、 ΔQ 的表达式，然后对对应量求偏导数。

$$H_{ij} = \frac{\partial(\Delta P_i)}{\partial \theta_j}, N_{ij} = \frac{\partial(\Delta P_i)}{\partial V_j} V_j$$
$$J_{ij} = \frac{\partial(\Delta Q_i)}{\partial \theta_j}, L_{ij} = \frac{\partial(\Delta Q_i)}{\partial V_j} V_j$$



求解 H_{12} 、 H_{11}

$$\begin{aligned}\Delta P_1 &= P_{1s} - V_1 \sum_{j \in 1} V_j (G_{1j} \cos \theta_{1j} + B_{1j} \sin \theta_{1j}) \\ &= P_{1s} - V_1 [V_1 G_{11} + V_2 (G_{12} \cos \theta_{12} + B_{12} \sin \theta_{12}) \\ &\quad + V_3 (G_{13} \cos \theta_{13} + B_{13} \sin \theta_{13}) + \cdots]\end{aligned}$$

$$H_{12} = \frac{\partial \Delta P_1}{\partial \theta_2} = -V_1 V_2 (G_{12} \sin \theta_{12} - B_{12} \cos \theta_{12})$$

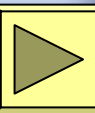
$$\begin{aligned}H_{11} &= \frac{\partial \Delta P_1}{\partial \theta_1} = -V_1 [V_2 (-G_{12} \sin \theta_{12} + B_{12} \cos \theta_{12}) + \\ &\quad V_3 (-G_{13} \sin \theta_{13} + B_{13} \cos \theta_{13}) + \cdots] \\ &= V_1 \sum_{\substack{j=1 \\ j \neq 1}}^n V_j (G_{1j} \sin \theta_{1j} - B_{1j} \cos \theta_{1j})\end{aligned}$$



求解 H_{ij}

$$\begin{cases} H_{12} = \frac{\partial \Delta P_1}{\partial \theta_2} = -V_1 V_2 (G_{12} \sin \theta_{12} - B_{12} \cos \theta_{12}) \\ H_{11} = \frac{\partial \Delta P_1}{\partial \theta_1} = V_1 \sum_{\substack{j=1 \\ j \neq 1}}^n V_j (G_{1j} \sin \theta_{1j} - B_{1j} \cos \theta_{1j}) \end{cases}$$

$$\begin{cases} H_{ij} = \frac{\partial \Delta P_i}{\partial \theta_j} = -V_i V_j (G_{ij} \sin \theta_{ij} - B_{ij} \cos \theta_{ij}) & (i \neq j) \\ H_{ii} = \frac{\partial \Delta P_i}{\partial \theta_i} = V_i \sum_{\substack{j=1 \\ j \neq i}}^n V_j (G_{ij} \sin \theta_{ij} - B_{ij} \cos \theta_{ij}) = V_i^2 B_{ii} + Q_i \end{cases}$$



N, J 元素

$$\begin{cases} N_{ij} = \frac{\partial \Delta P_i}{\partial V_j} V_j = -V_i V_j (G_{ij} \cos \theta_{ij} + B_{ij} \sin \theta_{ij}) \quad (i \neq j) \\ N_{ii} = \frac{\partial \Delta P_i}{\partial V_i} V_i = -V_i \sum_{j \neq i} V_j (G_{ij} \cos \theta_{ij} + B_{ij} \sin \theta_{ij}) - 2V_i^2 G_{ii} = -V_i^2 G_{ii} - P_i \end{cases}$$

$$\begin{cases} J_{ij} = \frac{\partial \Delta Q_i}{\partial \theta_j} = V_i V_j (G_{ij} \cos \theta_{ij} + B_{ij} \sin \theta_{ij}) = -N_{ij} \quad (i \neq j) \\ J_{ii} = \frac{\partial \Delta Q_i}{\partial \theta_i} = -V_i \sum_{j \neq i} V_j (G_{ij} \cos \theta_{ij} + B_{ij} \sin \theta_{ij}) = V_i^2 G_{ii} - P_i \end{cases}$$



L 元素

$$\begin{cases} L_{ij} = \frac{\partial \Delta Q_i}{\partial V_j} V_j = -V_i V_j (G_{ij} \sin \theta_{ij} - B_{ij} \cos \theta_{ij}) = H_{ij} & (i \neq j) \\ L_{ii} = \frac{\partial \Delta Q_i}{\partial V_i} V_i = -V_i \sum_{j \neq i} V_j (G_{ij} \sin \theta_{ij} - B_{ij} \cos \theta_{ij}) + 2V_i^2 B_{ii} = V_i^2 B_{ii} - Q_i \end{cases}$$



修正方程格式(除平衡节点外)

$$\begin{bmatrix} \Delta P_1 \\ \Delta P_2 \\ \vdots \\ \Delta P_{n-1} \\ \Delta Q_1 \\ \Delta Q_2 \\ \vdots \\ \Delta Q_{n-r-1} \end{bmatrix} = \begin{bmatrix} H_{11} & H_{12} & \cdots & H_{1,n-1} & N_{11} & N_{12} & \cdots & N_{1,n-r-1} \\ H_{21} & H_{22} & \cdots & H_{2,n-1} & N_{21} & N_{22} & \cdots & N_{2,n-r-1} \\ \vdots & \vdots & \vdots & \vdots & \vdots & \vdots & \vdots & \vdots \\ H_{n-1,1} & H_{n-1,2} & \cdots & H_{n-1,n-1} & N_{n-1,1} & N_{n-1,2} & \cdots & N_{n-1,n-r-1} \\ J_{11} & J_{12} & \cdots & J_{1,n-1} & L_{11} & L_{12} & \cdots & L_{1,n-r-1} \\ J_{21} & J_{22} & \cdots & J_{2,n-1} & L_{21} & L_{22} & \cdots & L_{2,n-r-1} \\ \vdots & \vdots & \vdots & \vdots & \vdots & \vdots & \vdots & \vdots \\ J_{n-r-1,1} & J_{n-r-1,2} & \cdots & J_{n-r-1,n-1} & L_{n-r-1,1} & L_{n-r-1,2} & \cdots & L_{n-r-1,n-r-1} \end{bmatrix} \times \begin{bmatrix} \Delta \theta_1 \\ \Delta \theta_2 \\ \vdots \\ \Delta \theta_{n-1} \\ \Delta V_1 / V_1 \\ \Delta V_2 / V_2 \\ \vdots \\ \Delta V_{n-r-1} / V_{n-r-1} \end{bmatrix}$$



作业

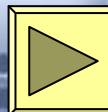
推导极坐标系下潮流计算的**Jacobi**矩阵各元素的表达式。

(2) 直角坐标形式

待求: 各节点实部 e_i 、虚部 f_i 。方程个数和未知数个数均为 $2(n-1)$ 。

$$PQ\text{节点} \begin{cases} \Delta P_i = P_{is} - e_i \sum_{j \in i} (G_{ij} e_j - B_{ij} f_j) - f_i \sum_{j \in i} (G_{ij} f_j + B_{ij} e_j) = 0 \\ \Delta Q_i = Q_{is} - f_i \sum_{j \in i} (G_{ij} e_j - B_{ij} f_j) + e_i \sum_{j \in i} (G_{ij} f_j + B_{ij} e_j) = 0 \end{cases}$$

$$PV\text{节点} \begin{cases} \Delta P_i = P_{is} - e_i \sum_{j \in i} (G_{ij} e_j - B_{ij} f_j) - f_i \sum_{j \in i} (G_{ij} f_j + B_{ij} e_j) = 0 \\ \Delta V_i^2 = V_{is}^2 - (e_i^2 + f_i^2) = 0 \end{cases}$$



修正方程

$$\begin{bmatrix} \Delta P_1 \\ \Delta Q_1 \\ \vdots \\ \Delta P_i \\ \Delta V_i^2 \\ \vdots \end{bmatrix} = \begin{bmatrix} \frac{\partial \Delta P_1}{\partial e_1} & \frac{\partial \Delta P_1}{\partial f_1} & \dots & \frac{\partial \Delta P_1}{\partial e_i} & \frac{\partial \Delta P_1}{\partial f_i} & \dots \\ \frac{\partial \Delta Q_1}{\partial e_1} & \frac{\partial \Delta Q_1}{\partial f_1} & \dots & \frac{\partial \Delta Q_1}{\partial e_i} & \frac{\partial \Delta Q_1}{\partial f_i} & \dots \\ \vdots & \vdots & \vdots & \vdots & \vdots & \vdots \\ \frac{\partial \Delta P_i}{\partial e_1} & \frac{\partial \Delta P_i}{\partial f_1} & \dots & \frac{\partial \Delta P_i}{\partial e_i} & \frac{\partial \Delta P_i}{\partial f_i} & \dots \\ \frac{\partial \Delta V_i^2}{\partial e_1} & \frac{\partial \Delta V_i^2}{\partial f_1} & \dots & \frac{\partial \Delta V_i^2}{\partial e_i} & \frac{\partial \Delta V_i^2}{\partial f_i} & \dots \\ \vdots & \vdots & \vdots & \vdots & \vdots & \vdots \end{bmatrix} \begin{bmatrix} \Delta e_1 \\ \Delta f_1 \\ \vdots \\ \Delta e_i \\ \Delta f_i \\ \vdots \end{bmatrix}$$

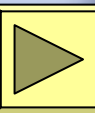
$$\begin{bmatrix} (\Delta P)_{(n-1) \times 1} \\ (\Delta Q)_{(n-r-1) \times 1} \\ (\Delta V^2)_{r \times 1} \end{bmatrix}_{(2n-2) \times 1} = \begin{bmatrix} \mathbf{H}_{(n-1) \times (n-1)} & \mathbf{N}_{(n-1) \times (n-1)} \\ \mathbf{J}_{(n-r-1) \times (n-1)} & \mathbf{L}_{(n-r-1) \times (n-1)} \\ \mathbf{R}_{r \times (n-1)} & \mathbf{S}_{r \times (n-1)} \end{bmatrix}_{(2n-2) \times (2n-2)} \begin{bmatrix} (\Delta f)_{(n-1) \times 1} \\ (\Delta e)_{(n-1) \times 1} \end{bmatrix}_{(2n-2) \times 1}$$



Jacobi矩阵方程系数—— H, N, L, J

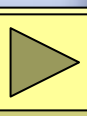
$$\left\{ \begin{array}{l} H_{ij} = \frac{\partial(\Delta P_i)}{\partial f_j} = L_{ij} = \frac{\partial(\Delta Q_i)}{\partial e_j} = B_{ij}e_i - G_{ij}f_i \quad (i \neq j) \\ N_{ij} = \frac{\partial(\Delta P_i)}{\partial e_j} = -J_{ij} = -\frac{\partial(\Delta Q_i)}{\partial f_j} = -G_{ij}e_i - B_{ij}f_i \quad (i \neq j) \\ H_{ii} = \frac{\partial(\Delta P_i)}{\partial f_i} = -b_i + B_{ii}e_i - G_{ii}f_i \\ N_{ii} = \frac{\partial(\Delta P_i)}{\partial e_i} = -a_i - G_{ii}e_i - B_{ii}f_i \end{array} \right.$$

$$a_i = \sum_{j \in i} (G_{ij}e_j - B_{ij}f_j), \quad b_i = \sum_{j \in i} (G_{ij}f_j + B_{ij}e_j)$$



Jacobi矩阵方程系数—— J, L, R, S

$$\left\{ \begin{array}{l} J_{ii} = \frac{\partial(\Delta Q_i)}{\partial f_i} = -a_i + G_{ii}e_i + B_{ii}f_i \\ L_{ii} = -\frac{\partial(\Delta Q_i)}{\partial e_j} = b_i + B_{ii}e_i - G_{ii}f_i \\ R_{ij} = \frac{\partial(\Delta V_i^2)}{\partial f_j} = 0, S_{ij} = \frac{\partial(\Delta V_i^2)}{\partial e_j} = 0 \\ R_{ii} = \frac{\partial(\Delta V_i^2)}{\partial f_i} = -2f_i, S_{ii} = \frac{\partial(\Delta V_i^2)}{\partial e_i} = -2e_i \end{array} \right.$$



作业

推导直角坐标系下潮流计算的**Jacobi**矩阵各元素的表达式。

修正方程特点

(1)两种坐标系下方程阶数相差不大。

一般系统PV节点较少。直角坐标时为 $2(n-1)$ 阶，极坐标为 $2(n-1)-r$ 。

(2)修正方程与导纳矩阵具有相同的结构，也是稀疏的。

由公式，非对角元素只与某一元素有关。

(3)修正方程系数不对称。

(4)修正方程系数迭代过程中不断变化。

影响潮流计算效率的最重要因素。对潮流计算的改进，大多基于这一个问题。



3.4.3 牛顿法的求解过程

直角坐标形式为例

(1) 给定个节点的电压初值 $e^{(0)}$ 、 $f^{(0)}$

(2) 求修正常数项 $\Delta P^{(0)}$ 、 $\Delta Q^{(0)}$ 、 $(\Delta V^2)^{(0)}$

(3) 求修正系数的雅克比矩阵元素

(4) 解修正方程，求修正量 $\Delta e^{(0)}$ 、 $\Delta f^{(0)}$

(5) 修正各节点电压：
$$e^{(1)} = e^{(0)} - \Delta e^{(0)}$$
$$f^{(1)} = f^{(0)} - \Delta f^{(0)}$$

(6) 求新的常数项 $\Delta P^{(1)}$ 、 $\Delta Q^{(1)}$ 、 $(\Delta V^2)^{(1)}$

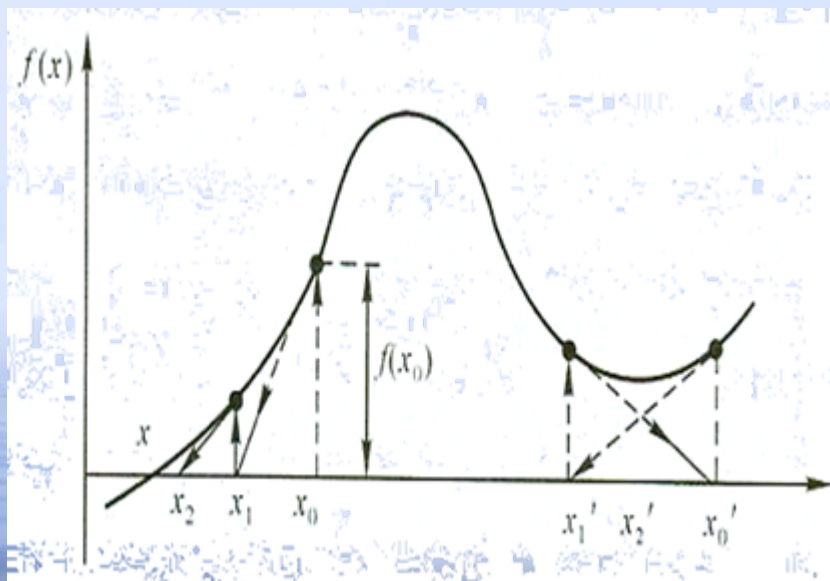
(7) 检验收敛？如是，停止；否则，继续迭代。

伪指令



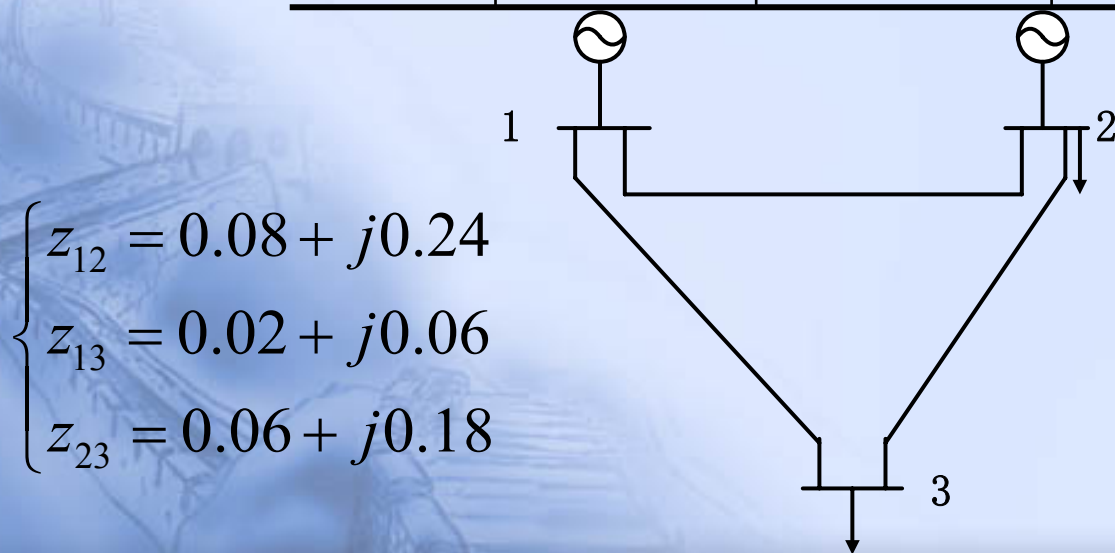
N-R法讨论

- (1) 收敛性好，6~7次即可，与电力系统规模关系不大；
- (2) 牛顿法具有平方收敛特性，对初值要求高；
- (3) 采用“平启动”方式可以得到满意结果。
- (4) 每次迭代形成新雅克比矩阵且消去运算，运算量大，降低计算速度。



三相电力系统，节点2上发电机无功出力范围为0-35Mvar，用Newton-Raphson拉夫逊法计算潮流，功率误差1E-06。

节点	节点电压	注入功率	负荷(负功率)
1:平衡	1.05		
2:PV	1.03	20	50-j20
3:PQ		0	60+j25



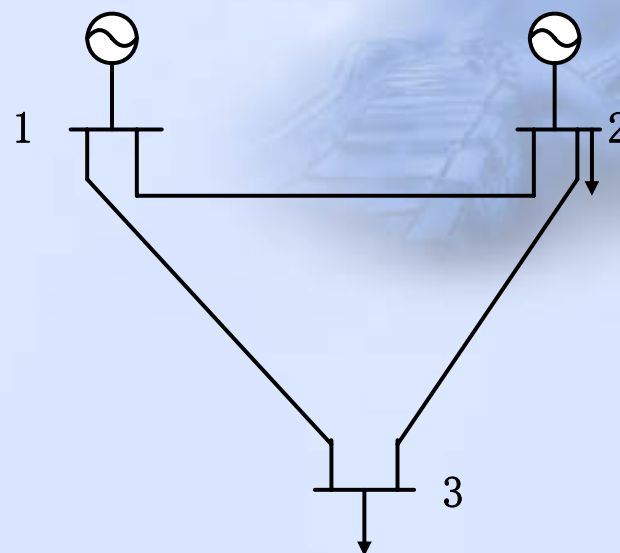
$$\begin{cases} z_{12} = 0.08 + j0.24 \\ z_{13} = 0.02 + j0.06 \\ z_{23} = 0.06 + j0.18 \end{cases}$$

(1) 形成节点导纳矩阵

$$\begin{cases} y_{12} = 1/z_{12} = 1.25 - j3.75 \\ y_{23} = 1/z_{23} = 1.667 - j5.0 \\ y_{13} = 1/z_{13} = 5 - j15.0 \end{cases}$$

$$Y = \begin{bmatrix} y_{12} + y_{13} & -y_{12} & -y_{13} \\ -y_{12} & y_{12} + y_{23} & -y_{23} \\ -y_{13} & -y_{23} & y_{13} + y_{23} \end{bmatrix}$$

$$= \begin{bmatrix} 6.25 - j18.75 & -1.25 + j3.75 & -5.0 + j15.0 \\ -1.25 + j3.73 & 2.9167 - j8.75 & -1.6667 + j5.0 \\ -5.0 + j15.0 & -1.6667 + j5.0 & 6.6667 - j20.0 \end{bmatrix}$$



(2) 设定节点电压初值

$$\dot{U}_1^{(0)} = 1.05, \dot{U}_2^{(0)} = 1.03, \dot{U}_3^{(0)} = 1.0$$

$$S_B = 100 \text{MVA}$$

(3) 求修正方程中的误差相量

$$\begin{aligned} P_2^{(0)} &= U_2^{(0)} \sum_{j=1}^3 U_j^{(0)} (G_{2j} \cos \theta_{2j}^{(0)} + B_{3j} \sin \theta_{2j}^{(0)}) \\ &= 1.03[1.05 \times (-1.25 + 0) + 1.03 \times (2.9167 + 0) + 1.0 \times (-1.667 + 0)] \\ &= 0.02575 \end{aligned}$$

$$\begin{aligned} P_3^{(0)} &= U_3^{(0)} \sum_{j=1}^3 U_j^{(0)} (G_{3j} \cos \theta_{3j}^{(0)} + B_{3j} \sin \theta_{3j}^{(0)}) \\ &= 1.0[1.05 \times (-5.0 + 0) + 1.03 \times (-1.667 + 0) + 1.0 \times (6.667 + 0)] \\ &= -0.3 \end{aligned}$$



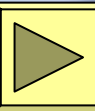
$$\begin{aligned} Q_2^{(0)} &= U_2^{(0)} \sum_{j=1}^3 U_j^{(0)} (G_{ij} \sin \delta_{ij}^{(0)} - B_{ij} \cos \delta_{ij}^{(0)}) \\ &= 1.03[1.05 \times (0 - 3.73) + 1.03 \times (0 + 8.75) + 1.0 \times (0 - 5.0)] \\ &= 0.07725 \end{aligned}$$

$$\begin{aligned} Q_3^{(0)} &= U_3^{(0)} \sum_{j=1}^3 U_j^{(0)} (G_{ij} \sin \theta_{ij}^{(0)} - B_{ij} \cos \theta_{ij}^{(0)}) \\ &= 1.0[1.05 \times (0 - 15.0) + 1.03 \times (0 - 5.0) + 1.0 \times 20] = -0.9 \end{aligned}$$

$$\Delta P_2^{(0)} = \frac{20 - 50}{100} - 0.02575 = -0.32575$$

$$\Delta P_3^{(0)} = \frac{-60}{100} - (-0.3) = -0.3$$

$$\Delta Q_3^{(0)} = \frac{-25}{100} - (-0.9) = 0.65$$



(4) 求Jacobi矩阵元素——H矩阵

$$\begin{bmatrix} \Delta P_2 \\ \Delta P_3 \\ \Delta Q_3 \end{bmatrix} = \begin{bmatrix} H_{22} & H_{23} & N_{23} \\ H_{32} & H_{33} & N_{33} \\ J_{32} & J_{33} & L_{33} \end{bmatrix} \begin{bmatrix} \Delta \theta_2 \\ \Delta \theta_3 \\ \Delta U_3/U_3 \end{bmatrix}$$

$$\begin{cases} H_{ii} = V_i^2 B_{ii} + Q_i \\ H_{ij} = -V_i V_j (G_{ij} \sin \theta_{ij} - B_{ij} \cos \theta_{ij}) \quad (i \neq j) \end{cases}$$

$$H_{22} = Q_2 + B_{22} U_2^2 = 0.07725 - 8.75 \times 1.03^2 = -9.2056266$$

$$H_{23} = -U_2 U_3 (G_{23} \sin \delta_{23} - B_{23} \cos \delta_{23}) = 5.15$$

$$H_{32} = H_{23} = 5.15$$

$$H_{33} = Q_3 + B_{33} U_3^2 = -0.9 + (-20) \times 1^2 = -20.9$$

Jacobi矩阵元素——N矩阵

$$\begin{bmatrix} \Delta P_2 \\ \Delta P_3 \\ \Delta Q_3 \end{bmatrix} = \begin{bmatrix} H_{22} & H_{23} & N_{23} \\ H_{32} & H_{33} & N_{33} \\ J_{32} & J_{33} & L_{33} \end{bmatrix} \begin{bmatrix} \Delta \theta_2 \\ \Delta \theta_3 \\ \Delta U_3/U_3 \end{bmatrix}$$

$$\begin{cases} N_{ij} = -V_i V_j (G_{ij} \cos \theta_{ij} + B_{ij} \sin \theta_{ij}) & (i \neq j) \\ N_{ii} = -V_i^2 G_{ii} - P_i \end{cases}$$

$$N_{23} = -U_2 U_3 (G_{23} \cos \theta_{23} + B_{23} \sin \theta_{23}) = 1.7166724$$

$$N_{33} = -P_3 - G_{33} U_3^2 = 0.3 - 6.6667 \times 1^2 = -6.3667$$

Jacobi矩阵元素——J矩阵

$$\begin{bmatrix} \Delta P_2 \\ \Delta P_3 \\ \Delta Q_3 \end{bmatrix} = \begin{bmatrix} H_{22} & H_{23} & N_{23} \\ H_{32} & H_{33} & N_{33} \\ J_{32} & J_{33} & L_{33} \end{bmatrix} \begin{bmatrix} \Delta \theta_2 \\ \Delta \theta_3 \\ \Delta U_3/U_3 \end{bmatrix}$$

$$\begin{cases} J_{ij} = V_i V_j (G_{ij} \cos \theta_{ij} + B_{ij} \sin \theta_{ij}) = -N_{ij} & (i \neq j) \\ J_{ii} = V_i^2 G_{ii} - P_i \end{cases}$$

$$J_{32} = -N_{23} = -1.7166724$$

$$J_{33} = -P_3 + G_{33} U_3^2 = 0.3 + 6.6667 \times 1^2 = 6.9667$$

Jacobi矩阵元素——L矩阵

$$\begin{bmatrix} \Delta P_2 \\ \Delta P_3 \\ \Delta Q_3 \end{bmatrix} = \begin{bmatrix} H_{22} & H_{23} & N_{23} \\ H_{32} & H_{33} & N_{33} \\ J_{32} & J_{33} & L_{33} \end{bmatrix} \begin{bmatrix} \Delta \theta_2 \\ \Delta \theta_3 \\ \Delta U_3/U_3 \end{bmatrix}$$

$$\begin{cases} L_{ij} = -V_i V_j (G_{ij} \sin \theta_{ij} - B_{ij} \cos \theta_{ij}) = H_{ij} & (i \neq j) \\ L_{ii} = V_i^2 B_{ii} - Q_i \end{cases}$$

$$L_{33} = -Q_3 + B_{33} U_3^2 = 0.9 + (-20) \times 1^2 = -19.1$$

Jacobi矩阵和误差列向量

$$\mathbf{J} = \begin{bmatrix} H_{22} & H_{23} & N_{23} \\ H_{32} & H_{33} & N_{33} \\ J_{32} & J_{33} & L_{33} \end{bmatrix}, \quad \Delta \mathbf{PQ} = \begin{bmatrix} \Delta P_2 \\ \Delta P_3 \\ \Delta Q_3 \end{bmatrix}$$

$$\text{Jacobi} = \begin{bmatrix} -9.2056 & 5.1500 & -1.7170 \\ 5.150 & -20.900 & -6.3670 \\ -1.7170 & 9.967 & -19.10 \end{bmatrix}, \quad \Delta \mathbf{PQ} = \begin{bmatrix} -0.3258 \\ -0.300 \\ 0.6500 \end{bmatrix}$$

(5) 据修正方程求修正向量

$$\begin{bmatrix} \Delta P_2^{(0)} \\ \Delta P_3^{(0)} \\ \Delta Q_3^{(0)} \end{bmatrix} = \begin{bmatrix} H_{22} & H_{23} & N_{23} \\ H_{32} & H_{33} & N_{33} \\ J_{32} & J_{33} & L_{33} \end{bmatrix} \begin{bmatrix} \Delta \theta_2^{(0)} \\ \Delta \theta_3^{(0)} \\ \Delta U_3^{(0)} / U_3^{(0)} \end{bmatrix}$$

$$\begin{bmatrix} -9.2056 & 5.1500 & -1.7170 \\ 5.150 & -20.900 & -6.3670 \\ -1.7170 & 9.967 & -19.10 \end{bmatrix} \begin{bmatrix} \Delta \theta_2^{(0)} \\ \Delta \theta_3^{(0)} \\ \Delta U_3^{(0)} / U_3^{(0)} \end{bmatrix} = \begin{bmatrix} -0.3258 \\ -0.300 \\ 0.6500 \end{bmatrix}$$

$$\begin{bmatrix} \Delta \theta_2^{(0)} \\ \Delta \theta_3^{(0)} \\ \Delta U_3^{(0)} / U_3^{(0)} \end{bmatrix} = \begin{bmatrix} 0.0499 \\ 0.0345 \\ -0.0259 \end{bmatrix}, \quad \begin{bmatrix} \Delta \theta_2^{(0)} \\ \Delta \theta_3^{(0)} \\ \Delta U_3^{(0)} \end{bmatrix} = \begin{bmatrix} 0.0499 \\ 0.0345 \\ -0.0259 * U_3^{(0)} \end{bmatrix}$$

(6) 求取新值

$$\begin{bmatrix} \theta_2^{(1)} \\ \theta_3^{(1)} \\ U_3^{(1)} \end{bmatrix} = \begin{bmatrix} \theta_2^{(0)} \\ \theta_3^{(0)} \\ U_3^{(0)} \end{bmatrix} - \begin{bmatrix} \Delta\theta_2^{(0)} \\ \Delta\theta_3^{(0)} \\ \Delta U_3^{(0)} \end{bmatrix} = \begin{bmatrix} 0 \\ 0 \\ 1 \end{bmatrix} - \begin{bmatrix} 0.0499 \\ 0.0345 \\ -0.0259 \end{bmatrix} = \begin{bmatrix} -0.0499 \\ -0.0345 \\ 1.0259 \end{bmatrix}$$

1st step完成，接下来第**2**步，第**3**步，.....

(7) 检查是否收敛?

$$P_2^{(1)} = -0.3001, \quad Q_2^{(1)} = 0.04385$$

母线2无功出力:

$$Q_{G2}^{(1)} = S_B * Q_2^{(1)} - Q_{2_out} = 100 * 0.043853 - (-20) = 24.3857(\text{Var})$$

$$Q_{2\min} (= 0) < Q_{G2}^{(1)} < Q_{2\max} = 35$$

$$\begin{cases} P_3^{(1)} = -0.60407 \\ Q_3^{(1)} = -0.2224 \end{cases}, \begin{cases} \Delta P_2^{(1)} = 7.1719\text{E} - 5 \\ \Delta P_3^{(1)} = 4.0460\text{E} - 3 \\ \Delta Q_3^{(1)} = -2.7672\text{E} - 2 \end{cases}$$

$$\max(\Delta P_2^{(1)}, \Delta P_3^{(1)}, \Delta Q_3^{(1)}) > 1\text{E}-06$$

结论: 需要继续迭代。

(8) 继续迭代.....

$$\begin{cases} \Delta P_2^{(1)} = -2.9306\text{E-}6 \\ \Delta P_3^{(1)} = 8.0119\text{E-}6 \\ \Delta Q_3^{(1)} = -1.8802\text{E-}5 \end{cases} \dots\dots \begin{cases} \Delta P_2^{(4)} = -2.9747\text{e-}012 \\ \Delta P_3^{(4)} = -7.9301\text{e-}009 \\ \Delta Q_3^{(4)} = -2.3814\text{e-}008 \end{cases}$$

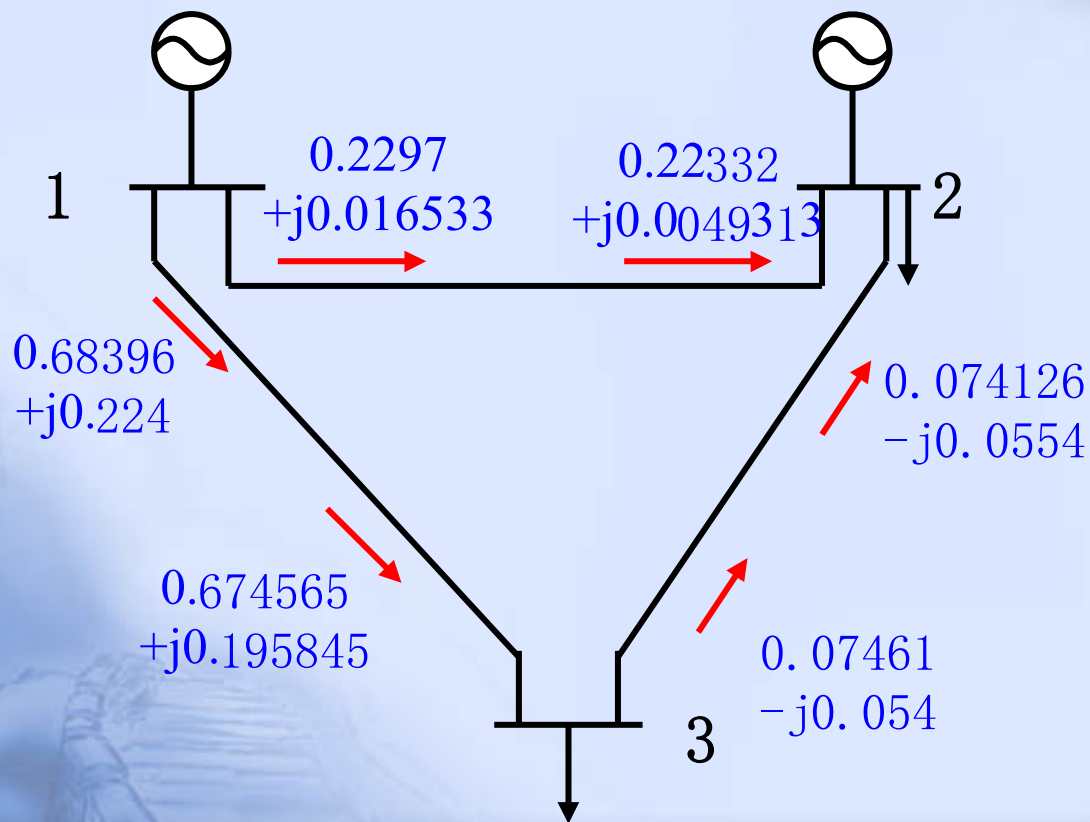
$$\max(\Delta P_2^{(4)}, \Delta P_3^{(4)}, \Delta Q_3^{(4)}) < 1\text{E-}06$$

结论：迭代收敛,各节点电压.....

$$\begin{cases} \dot{U}_1 = 1.05 \\ \dot{U}_2 = 1.03\text{e}^{-\text{j}0.0498} \\ \dot{U}_3 = 1.0248\text{e}^{-\text{j}0.034} \end{cases}$$

(8) 后处理——线路潮流

$$\tilde{S} = \dot{U}_1 (\dot{U}_1^* - \dot{U}_2^*) Y_{12} = 0.2297 + j0.016533$$



3.4.4 N-R法MATLAB实现——极坐标形式

% Part 1: Creating admittance matrix Y; (File: NRPower.m)

clear;

Nn=3 **% Number of nodes;**

y=[0 1.25-j*3.75 5-j*15
 1.25-j*3.75 0 1.667-j*5
 5-j*15 1.667-j*5 0];

Y=[y(1,2)+y(1,3) -y(1,2) -y(1,3);
 -y(1,2) y(1,2)+y(2,3) -y(2,3);
 -y(1,3) -y(2,3) y(1,3)+y(2,3)];

G=real(Y); **% Real part, conductive matrix;**

B=imag(Y); **% Image part, susceptance matrix;**

% Part 2: Initialing voltage, power value;

```
SB=100 ;           % MVA, base power;
Pin=[0;20;0];      % Input active power at 2th node;
Pout=[0;50;60];    % Output active power at 2th node;
Qin=[0;0;0];       % Inpouring reactive power;
Qout=[0; -20;25];  % Outing reactive power;
Q2_range=[0 35];   % Range of min and max for Q2;
U=[1.05;1.03;1.0];
sita=angle(U);     % Phase angle of voltage;
Um=abs(U);         % Amplititude of voltage;
Nmax=10;
TL=1E-06;         % Tolerance level;
```

% Part 3: Iterative process;

for lte=1:Nmax **% Iterative vary;**

% Part 3.1: Solving error vectors of active and reactive powers;

for L=2:3 **% L: No. of node;**

Temp1=0;

Temp2=0;

for k=1:3

delta=sita(L)-sita(k);

Temp1=Temp1+Um(k)*(G(L,k)*cos(delta)+B(L,k)*sin(delta));

Temp2=Temp2+Um(k)*(G(L,k)*sin(delta)-B(L,k)*cos(delta));

end

P(L)=Um(L)*Temp1;

Q(L)=Um(L)*Temp2;

end

deltaP=(Pin-Pout)/SB-P';

deltaQ=(Qin-Qout)/SB-Q';

% Part 3.2: Creating Jacobi elements coresponding matrix J;

% H matrix;

for L=2:3

H(L,L)=Q(L)+B(L,L)*Um(L)*Um(L);

for k=(L+1):3

delta=sita(L)-sita(k);

Temp1=G(L,k)*sin(delta)-B(L,k)*cos(delta);

H(L,k)=-Um(L)*Um(k)*Temp1;

H(k,L)=H(L,k);

end

end

% N matrix;

delta=sita(2)-sita(3);

Temp1=G(2,3)*cos(delta)+B(2,3)*sin(delta);

N23=-Um(2)*Um(3)*Temp1;

N33=-P(3)-G(3,3)*Um(3)*Um(3);

% J matrix;

J32=-N23;

J33=-P(3)+G(3,3)*Um(3)^2;

% L matrix;

L33=-Q(3)+B(3,3)*Um(3)^2;

% Creating Jacobi matrix;

Jacobi=[H(2,2) H(2,3) N23;

H(3,2) H(3,3) N33;

J32 J33 L33];

% Part 3.3: Solving the correcting equation and juggling the residual value;

```
deltaPQ=[deltaP(2) deltaP(3) deltaQ(3)]';
```

```
if max(deltaPQ)<TL
```

```
    disp('Iteration is sucessful.')
```

```
    lte
```

```
    Um
```

```
    sita
```

```
    break;
```

```
end
```

```
Correct=Jacobi\deltaPQ;
```

% Part 3.4: Correcting voltage for PQ nodes and angles for PV nodes;

for k=2:3

sita(k)=sita(k)-Correct(k-1);

end

Um(3)=Um(3)-Correct(3)*Um(3);

% Part 3.5: Checking Q2?

Q2_G=SB*Q(2)-Qout(2);

if Q2_G>Q2_range(2)

Q(2)=Q2_range(2)/SB;

elseif Q2_G<Q2_range(1)

Q(2)=Q2_range(1)/SB;

else

disp('Reactive power at 2th node in a norm range');

end

end % END-s.

% Part 4: Postprocess----Power flowing in every branch;

for k=1:Nn

U(k)=Um(k)*exp(j*sita(k));

end

for l=1:Nn

for J=1:Nn

S(l,J)=U(l)*conj((U(l)-U(J))*y(l,J));

end

end

3.4.5 N-R法潮流计算的有关问题

(1) 稀疏矩阵表示法

- Y 是高度稀疏矩阵，设法仅保存非“0”元素。
- 一般， n 个节点，需 $(6b+3n)$ 存储单元，大约 $12n$ 。

(2) 求解方程组的方法——高斯消去法

$$\begin{bmatrix} \Delta P \\ \Delta Q \end{bmatrix} = \begin{bmatrix} \mathbf{H} & \mathbf{N} \\ \mathbf{J} & \mathbf{L} \end{bmatrix} \begin{bmatrix} \Delta \theta \\ \Delta V \end{bmatrix}$$

线性方程组: **AX=B**

$$\overline{\mathbf{A}} = [\mathbf{A} \ \mathbf{B}] = \begin{bmatrix} a_{11} & a_{12} & \cdots & a_{1n} & b_1 \\ a_{21} & a_{22} & \cdots & a_{2n} & b_2 \\ \vdots & \vdots & \vdots & \vdots & \vdots \\ a_{n1} & a_{n2} & \cdots & a_{nn} & b_n \end{bmatrix} = \begin{bmatrix} a_{11} & a_{12} & \cdots & a_{1n} & a_{1,n+1} \\ a_{21} & a_{22} & \cdots & a_{2n} & a_{2,n+1} \\ \vdots & \vdots & \vdots & \vdots & \vdots \\ a_{n1} & a_{n2} & \cdots & a_{nn} & a_{n,n+1} \end{bmatrix}$$

消去过程

1) 消去第1列:

第1行规格化: $\left[1 \quad a_{12}^{(1)} \quad a_{13}^{(1)} \quad \cdots \quad a_{1,n+1}^{(1)} \right] \quad a_{1j}^{(1)} = a_{1j} / a_{11} (j = 2, \cdots, n+1)$

第2- n 行: $a_{ij}^{(1)} = a_{ij} - a_{i1}a_{1j}^{(1)} \quad (j = 2, 3, \cdots, n+1; i = 2, 3, \cdots, n)$

$$\overline{A}_1 = \begin{bmatrix} 1 & a_{12}^{(1)} & \cdots & a_{1n}^{(1)} & a_{1,n+1}^{(1)} \\ 0 & a_{22}^{(1)} & \cdots & a_{2n}^{(1)} & a_{2,n+1}^{(1)} \\ \vdots & \vdots & \vdots & \vdots & \vdots \\ 0 & a_{n2}^{(1)} & \cdots & a_{nn}^{(1)} & a_{n,n+1}^{(1)} \end{bmatrix}$$

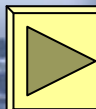


2) 消去第2列

第2行规格化: $\begin{bmatrix} 0 & 1 & a_{23}^{(1)} & \cdots & a_{2,n+1}^{(1)} \end{bmatrix}$ $a_{2j}^{(2)} = a_{2j}^{(1)} / a_{22}^{(1)} (j = 3, \cdots, n+1)$

第3- n 行: $a_{ij}^{(2)} = a_{ij}^{(1)} - a_{i2} a_{2j}^{(2)} (j = 3, \cdots, n+1; i = 3, \cdots, n)$

$$\overline{A}_2 = \begin{bmatrix} 1 & a_{12}^{(1)} & a_{13}^{(1)} & \cdots & a_{1n}^{(1)} & a_{1,n+1}^{(1)} \\ & 1 & a_{23}^{(2)} & \cdots & a_{2n}^{(2)} & a_{2,n+1}^{(2)} \\ & & a_{33}^{(2)} & \cdots & a_{3n}^{(2)} & a_{3,n+1}^{(2)} \\ & & \vdots & \vdots & \vdots & \vdots \\ & & a_{n3}^{(2)} & \cdots & a_{nn}^{(2)} & a_{n,n+1}^{(2)} \end{bmatrix}$$



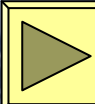
3) 消去第 k 列

$$a_{kj}^{(k)} = a_{kj}^{(k-1)} / a_{kk}^{(k-1)} \quad (j = k+1, \dots, n+1)$$

$$a_{ij}^{(k)} = a_{ij}^{(k-1)} - a_{ik}^{(k-1)} / a_{kj}^{(k)} \quad (j = k+1, \dots, n+1; i = k+1, \dots, n)$$

4) 消去的结果

$$\bar{A}_n = \begin{bmatrix} 1 & a_{12}^{(1)} & a_{13}^{(1)} & \cdots & a_{1n}^{(1)} & a_{1,n+1}^{(1)} \\ & 1 & a_{23}^{(2)} & \cdots & a_{2n}^{(1)} & a_{2,n+1}^{(2)} \\ & & 1 & \cdots & a_{3n}^{(3)} & a_{3,n+1}^{(3)} \\ & & & \ddots & \vdots & \vdots \\ & & & & 1 & a_{n,n+1}^{(n)} \end{bmatrix}$$



$$\overline{A}_n = \begin{bmatrix} 1 & a_{12}^{(1)} & a_{13}^{(1)} & \cdots & a_{1n}^{(1)} & a_{1,n+1}^{(1)} \\ & 1 & a_{23}^{(2)} & \cdots & a_{2n}^{(1)} & a_{2,n+1}^{(2)} \\ & & 1 & \cdots & a_{3n}^{(3)} & a_{3,n+1}^{(3)} \\ & & & \ddots & \vdots & \vdots \\ & & & & 1 & a_{n,n+1}^{(n)} \end{bmatrix}$$

对应的方程

$$\left. \begin{aligned} x_1 + a_{12}^{(1)} x_2 + a_{13}^{(1)} x_3 + \cdots + a_{1n}^{(1)} x_n &= a_{1,n+1}^{(1)} \\ x_2 + a_{23}^{(2)} x_3 + \cdots + a_{2n}^{(2)} x_n &= a_{2,n+1}^{(2)} \\ x_3 + \cdots + a_{3n}^{(3)} x_n &= a_{3,n+1}^{(3)} \\ &\vdots \\ x_n &= a_{n,n+1}^{(n)} \end{aligned} \right\}$$



回代过程

$$\left. \begin{aligned} x_1 + a_{12}^{(1)} x_2 + a_{13}^{(1)} x_3 + \cdots + a_{1n}^{(1)} x_n &= a_{1,n+1}^{(1)} \\ x_2 + a_{23}^{(2)} x_3 + \cdots + a_{2n}^{(2)} x_n &= a_{2,n+1}^{(2)} \\ x_3 + \cdots + a_{3n}^{(3)} x_n &= a_{3,n+1}^{(3)} \\ &\vdots \\ x_n &= a_{n,n+1}^{(n)} \end{aligned} \right\}$$

$$x_n = a_{n,n+1}^{(n)}$$

$$x_{n-1} = a_{n-1,n+1}^{(n-1)} - a_{n-1,n}^{(n-1)} x_n$$

\vdots

$$x_i = a_{i,n+1}^{(i)} - \sum_{j=i+1}^n a_{ij}^{(i)} x_j \quad (i = n, \cdots, 2, 1)$$



例题
$$\begin{cases} x_1 + 2x_2 + x_3 + x_4 = 5 \\ 2x_1 + x_2 = 3 \\ x_1 + x_3 = 2 \\ x_1 + x_4 = 2 \end{cases}$$

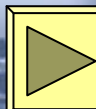
求解过程:

增广矩阵:

$$\begin{bmatrix} 1 & 2 & 1 & 1 & 5 \\ 2 & 1 & 0 & 0 & 3 \\ 1 & 0 & 1 & 0 & 2 \\ 1 & 0 & 0 & 1 & 2 \end{bmatrix}$$

第一行规格化:

$$\begin{bmatrix} 1 & 2 & 1 & 1 & 5 \\ 2 & 1 & 0 & 0 & 3 \\ 1 & 0 & 1 & 0 & 2 \\ 1 & 0 & 0 & 1 & 2 \end{bmatrix}$$



$$\begin{bmatrix} 1 & 2 & 1 & 1 & 5 \\ -3 & -2 & -2 & -7 \\ -2 & 0 & -1 & -3 \\ -2 & -1 & 0 & -3 \end{bmatrix}$$

$$\begin{bmatrix} 1 & 2 & 1 & 1 & 5 \\ 1 & 2/3 & 2/3 & 7/3 \\ -2 & 0 & -1 & -3 \\ -2 & -1 & 0 & -3 \end{bmatrix}$$

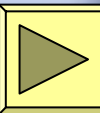
$$\begin{bmatrix} 1 & 2 & 1 & 1 & 5 \\ 1 & 2/3 & 2/3 & 7/3 \\ 4/3 & 1/3 & 5/3 \\ 1/3 & 4/3 & 5/3 \end{bmatrix}$$



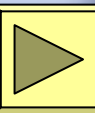
$$\begin{bmatrix} 1 & 2 & 1 & 1 & 5 \\ & 1 & 2/3 & 2/3 & 7/3 \\ & & 1 & 1/4 & 5/4 \\ & & & 1/3 & 4/3 & 5/3 \end{bmatrix}$$

$$\begin{bmatrix} 1 & 2 & 1 & 1 & 5 \\ & 1 & 2/3 & 2/3 & 7/3 \\ & & 1 & 1/4 & 5/4 \\ & & & 5/4 & 5/4 \end{bmatrix}$$

$$\begin{bmatrix} 1 & 2 & 1 & 1 & 5 \\ & 1 & 2/3 & 2/3 & 7/3 \\ & & 1 & 1/4 & 5/4 \\ & & & 1 & 1 \end{bmatrix}$$



$$\begin{cases} x_4 = 1 \\ x_3 = \frac{5}{4} - \frac{1}{4}x_4 = 1 \\ x_2 = \frac{7}{3} - \frac{2}{3}x_3 - \frac{2}{3}x_4 = 1 \\ x_1 = 5 - 2x_2 - x_3 - x_4 = 1 \end{cases}$$



高斯消去法解线性方程组MATLAB实现

```
% Gauss method;
clear;
A=[1 2 1 1 2;
  2 1 0 0 3;
  1 0 1 0 2;
  1 0 0 1 2];
Ap=A;
[N,M]=size(A);

for k=1:N
    for j=(k+1):M
        A(k,j)=A(k,j)/A(k,k);
        for i=(k+1):N
            A(i,j)=A(i,j)-A(i,k)*A(k,j);
        end
    end
end

X(N)=A(N,N+1);
for i=(N-1):-1:1
    Temp=0;
    for j=(i+1):N
        Temp=Temp+A(i,j)*X(j)
    end
    X(i)=A(i,N+1)-Temp;
end

% Solving with directive
method;
Xp=inv(Ap(:,1:N))*Ap(:,M)
```

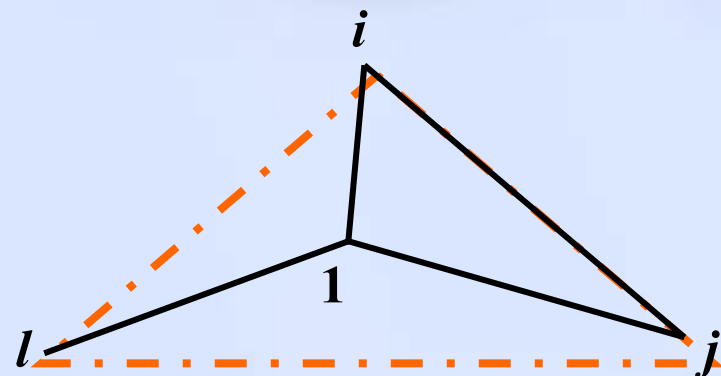
(3) 节点优化编号

Y 消去或者分解过程产生新的非0元素，称作注入元素。稀疏性变差。

物理意义：

1) $Y_{il}=0, Y_{lj}=0$;

2) Gauss法消去 Y 的第1列，相当于消去节点1，相当于星网变换。 Y_{il} 、 Y_{lj} 均不为0，成为注入元素。



注入元素的多少与消去的顺序、节点编号有关。

如下例子



	节点编号图形	导纳矩阵	下三角矩阵	注入元素
1				6
2				3
3				1
4				0

注：●——非零元素； ○——非零注入元素。

图 1-15 节点编号对注入元素的影响

寻找注入元素数目最小的节点编号方式，称作节点编号优化，是复杂电力系统潮流计算的基础。

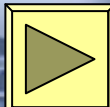
1) 静态最小出线支路数编号(静态优化法)

- 统计网络各节点的出线支路数；
- 按出线支路数由小到大编号，相同时可任意。

根据： Y 中出线数最少的节点对应的行中非0元素也最小，消去过程中产生注入元素的可能性也较小。

2) 动态最小出线支路数编号(半动态优化法)

每消去一个节点，立即修正尚未编号节点的出线支路数；选其中出线支路最少的节点编号。



3) 动态按增加出线数最小编号(动态优化)

统计计算消去网络各节点时增加的出线数，选其中增加出线数最少的被消节点为No.1；消去No.1，修改其它节点的出线数；重复进行。

上机作业:

- 利用极坐标的**Newton-Raphson**法计算某网络的潮流分布。
- 利用直角坐标的**Newton-Raphson**法计算某网络的潮流分布。



3.5 P-Q分解法潮流计算

基本原理： P, Q 表示为极坐标方程，以 ΔP 为修正 θ ，以 ΔQ 修正 V ， P 、 Q 分别迭代。

$$\begin{bmatrix} \Delta P \\ \Delta Q \end{bmatrix} = \begin{bmatrix} H & N \\ J & L \end{bmatrix} \begin{bmatrix} \Delta \theta \\ \Delta V / V \end{bmatrix} \longrightarrow \begin{cases} \Delta P = H \Delta \theta + N \Delta V / V \\ \Delta Q = J \Delta \theta + L \Delta V / V \end{cases}$$

(1) P 与节点电压 θ 有关，即 $N \approx 0$;

(2) Q 与节点电压 V 有关，即 $J \approx 0$;

$$\begin{cases} \Delta P = H \Delta \theta \\ \Delta Q = L \Delta V / V \end{cases}$$

已降阶
和解耦



H, L 进一步简化

线路两端电压相角相差不大: $\cos \theta_{ij} \approx 1, G_{ij} \sin \theta_{ij} \ll B_{ij}$

与各节点 Q 相应导纳远远
小于该节点自导纳虚部

$$B_{Li} = \frac{Q_i}{V_i^2} \ll B_{ii} \Rightarrow Q_i \ll V_i^2 B_{ii}$$

$$\begin{cases} H_{ii} = V_i^2 B_{ii} + Q_i \approx V_i^2 B_{ii} \\ H_{ij} = -V_i V_j (G_{ij} \sin \theta_{ij} - B_{ij} \cos \theta_{ij}) \approx V_i V_j B_{ij} \\ L_{ii} = V_i^2 B_{ii} - Q_i \approx V_i^2 B_{ii} \\ L_{ij} = -V_i V_j (G_{ij} \sin \theta_{ij} - B_{ij} \cos \theta_{ij}) \approx V_i V_j B_{ij} \end{cases}$$

$$\mathbf{H} = \mathbf{L} = \begin{bmatrix} V_1^2 B_{11} & V_1 V_2 B_{12} & \cdots & V_1 V_n B_{1n} \\ V_2 V_1 B_{21} & V_2^2 B_{22} & & V_2 V_n B_{2n} \\ \vdots & \vdots & & \vdots \\ V_n V_1 B_{n1} & V_n V_2 B_{n2} & \cdots & V_n^2 B_{nn} \end{bmatrix}$$

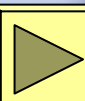


$$\mathbf{H} = \mathbf{L} = \begin{bmatrix} V_1 & & & 0 \\ & V_2 & & \\ & & \ddots & \\ 0 & & & V_n \end{bmatrix} \begin{bmatrix} B_{11} & B_{12} & \cdots & B_{1n} \\ B_{21} & B_{22} & \cdots & B_{2n} \\ \vdots & & & \vdots \\ B_{n1} & B_{n2} & \cdots & B_{nn} \end{bmatrix} \begin{bmatrix} V_1 & & & 0 \\ & V_2 & & \\ & & \ddots & \\ 0 & & & V_n \end{bmatrix}$$

$$\left\{ \begin{array}{l} \Delta \mathbf{P} = \mathbf{H} \Delta \boldsymbol{\theta} \\ \Delta \mathbf{Q} = \mathbf{L} \Delta \mathbf{V} / V \end{array} \right.$$

$$\begin{bmatrix} \Delta P_1 \\ \Delta P_2 \\ \vdots \\ \Delta P_n \end{bmatrix} = \begin{bmatrix} V_1 & & & 0 \\ & V_2 & & \\ & & \ddots & \\ 0 & & & V_n \end{bmatrix} \begin{bmatrix} B_{11} & B_{12} & \cdots & B_{1n} \\ B_{21} & B_{22} & \cdots & B_{2n} \\ \vdots & & & \vdots \\ B_{n1} & B_{n2} & \cdots & B_{nn} \end{bmatrix} \begin{bmatrix} V_1 \Delta \theta_1 \\ V_2 \Delta \theta_2 \\ \vdots \\ V_n \Delta \theta_n \end{bmatrix}$$

$$\begin{bmatrix} \Delta Q_1 \\ \Delta Q_2 \\ \vdots \\ \Delta Q_n \end{bmatrix} = \begin{bmatrix} V_1 & & & 0 \\ & V_2 & & \\ & & \ddots & \\ 0 & & & V_n \end{bmatrix} \begin{bmatrix} B_{11} & B_{12} & \cdots & B_{1n} \\ B_{21} & B_{22} & \cdots & B_{2n} \\ \vdots & & & \vdots \\ B_{n1} & B_{n2} & \cdots & B_{nn} \end{bmatrix} \begin{bmatrix} \Delta V_1 \\ \Delta V_2 \\ \vdots \\ \Delta V_n \end{bmatrix}$$



利用

$$\begin{bmatrix} V_1 & & & \\ & V_2 & & \\ & & \ddots & \\ & & & V_n \end{bmatrix}^{-1} = \begin{bmatrix} \frac{1}{V_1} & & & \\ & \frac{1}{V_2} & & \\ & & \ddots & \\ & & & \frac{1}{V_n} \end{bmatrix}$$



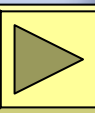
$$\begin{bmatrix} \Delta P_1 / V_1 \\ \Delta P_2 / V_2 \\ \vdots \\ \Delta P_n / P_n \end{bmatrix} = \begin{bmatrix} B_{11} & B_{12} & \cdots & B_{1n} \\ B_{21} & B_{22} & \cdots & B_{2n} \\ \vdots & \vdots & \ddots & \vdots \\ B_{n1} & B_{n2} & \cdots & B_{nn} \end{bmatrix} \begin{bmatrix} V_1 \Delta \theta_1 \\ V_2 \Delta \theta_2 \\ \vdots \\ V_n \Delta \theta_n \end{bmatrix}$$

$$\begin{bmatrix} \Delta Q_1 / V_1 \\ \Delta Q_2 / V_2 \\ \vdots \\ \Delta Q_n / V_n \end{bmatrix} = \begin{bmatrix} B_{11} & B_{12} & \cdots & B_{1n} \\ B_{21} & B_{22} & \cdots & B_{2n} \\ \vdots & \vdots & \ddots & \vdots \\ B_{n1} & B_{n2} & \cdots & B_{nn} \end{bmatrix} \begin{bmatrix} \Delta V_1 \\ \Delta V_2 \\ \vdots \\ \Delta V_n \end{bmatrix}$$

***P-Q*分解法
修正方程**

$$\begin{cases} \Delta P_i = P_{iS} - V_i \sum_{j \in i} V_j (G_{ij} \cos \theta_{ij} + B_{ij} \sin \theta_{ij}) \\ \Delta Q_i = Q_{iS} - V_i \sum_{j \in i} V_j (G_{ij} \sin \theta_{ij} - B_{ij} \cos \theta_{ij}) \end{cases}$$

***P-Q*分解法
计算公式**



P—Q迭代过程

- (1) 给定各节点电压向量电压初始值 $\theta_i^{(0)}$ 、 $V_i^{(0)}$ 。
- (2) 计算各节点的有功功率误差 ΔP_i ，求出 $\Delta P_i / V_i$ 。

$$\Delta P_i = P_{iS} - V_i \sum_{j \in i} V_j (G_{ij} \cos \theta_{ij} + B_{ij} \sin \theta_{ij})$$

- (3) 解P修正方程，求解出 $\Delta \theta_i$

$$\begin{bmatrix} \Delta P_1 / V_1 \\ \Delta P_2 / V_2 \\ \vdots \\ \Delta P_n / P_n \end{bmatrix} = \begin{bmatrix} B_{11} & B_{12} & \cdots & B_{1n} \\ B_{21} & B_{22} & \cdots & B_{2n} \\ \vdots & & & \vdots \\ B_{n1} & B_{n2} & \cdots & B_{nn} \end{bmatrix} \begin{bmatrix} V_1 \Delta \theta_1 \\ V_2 \Delta \theta_2 \\ \vdots \\ V_n \Delta \theta_n \end{bmatrix}$$



(4) 修正各节点电压向量角度: $\theta_i^{(t)} = \theta_i^{(t-1)} - \Delta\theta_i^{(t-1)}$

(5) 计算各节点无功功率误差 ΔQ_i , 并求出 $\Delta Q_i / V_i$ 。

$$\Delta Q_i = Q_{iS} - V_i \sum_{j \in i} V_j (G_{ij} \sin \theta_{ij} - B_{ij} \cos \theta_{ij})$$

(6) 解无功修正方程, 求各节点电压幅值的修正量 ΔV_i 。

$$\begin{bmatrix} \Delta Q_1 / V_1 \\ \Delta Q_2 / V_2 \\ \vdots \\ \Delta Q_n / V_n \end{bmatrix} = \begin{bmatrix} B_{11} & B_{12} & \cdots & B_{1n} \\ B_{21} & B_{22} & \cdots & B_{2n} \\ \vdots & & & \vdots \\ B_{n1} & B_{n2} & \cdots & B_{nn} \end{bmatrix} \begin{bmatrix} \Delta V_1 \\ \Delta V_2 \\ \vdots \\ \Delta V_n \end{bmatrix}$$

(7) 修正各节点电压幅值: $V_i^{(t)} = V_i^{(t-1)} - \Delta V_i^{(t-1)}$

(8) 返回(2)迭代, 直到各节点功率误差 ΔP_i 、 ΔQ_i 满足收敛条件。



P-Q分解法特点——修正方程特点

(1) 用两个 n 阶线性方程组代替一个 $(2n)$ 阶线性方程组。

(2) 系数矩阵的所有元素在迭代过程中维持常数。

- 不需要每次迭代重新计算Jacobi矩阵，减少了运算量，简化了程序；
- 因是常数，求解修正方程时，不必每次对系数矩阵进行消去运算，只需要迭代前将系数矩阵用三角分解形成因子表，反复利用不同的常数项进行消去和回代运算，迅速求得修正量，显著提高速度。

(3) 系数矩阵是对称矩阵。

(4) 减少形成因子表的运算量，而且对称，则L和U有简单关系，节约了内存。



P-Q分解法讨论

- 计算速度快，既可以离线，也可以在线静态安全监视；
- $P-Q$ 分解法简化只影响修正方程式结构，即迭代过程，未影响最终结果。 $P-Q$ 法和N-R法一样可达到很高精度。

$$\begin{cases} \Delta P / V = B' V \Delta \theta \\ \Delta Q / V = B'' \Delta V \end{cases}$$

$(n-1)$ 阶

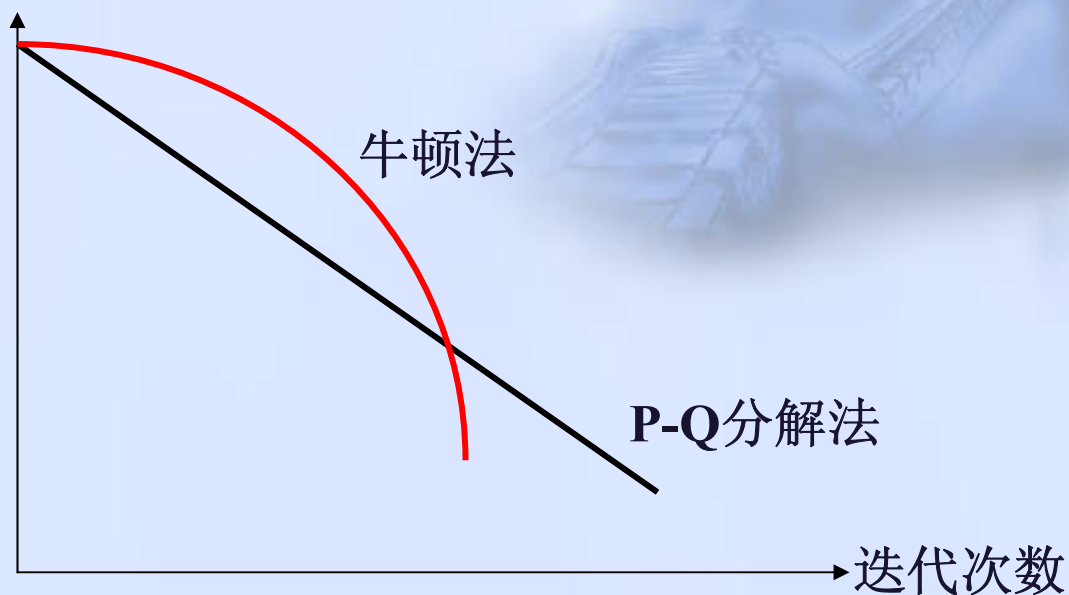
$(n-r-1)$ 阶

- B' 中尽量去掉与 P 、 θ 无关或者影响较小的因素；
- B'' 中尽量去掉与 Q 、 V 无关或者影响较小的因素。



P-Q分解法的特点——收敛特点

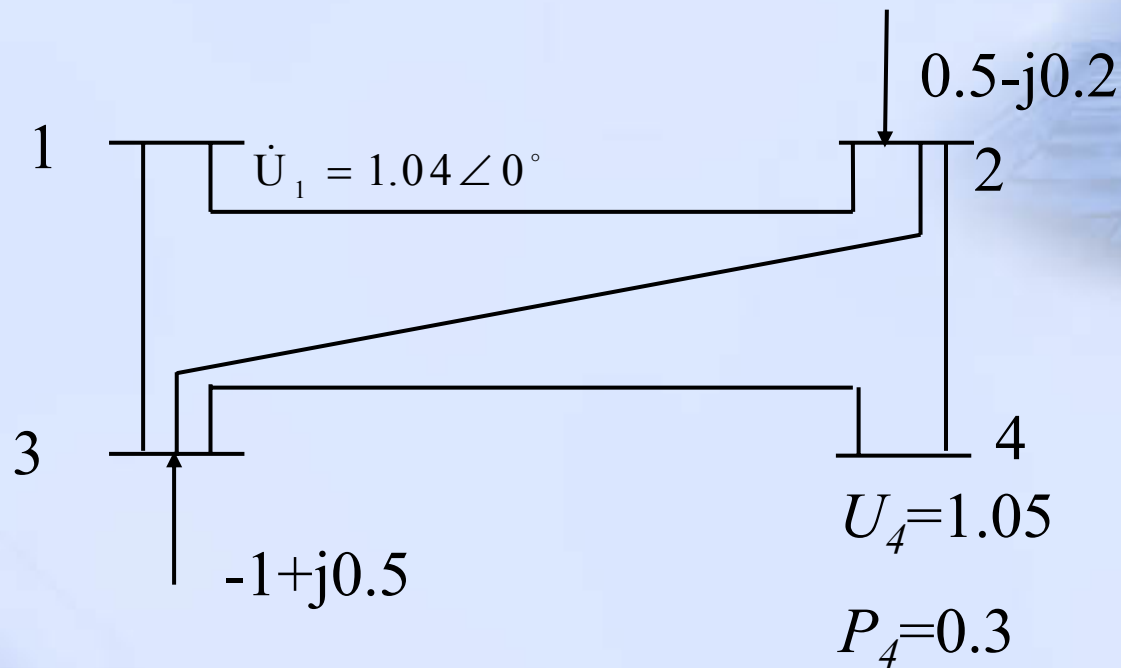
- (1) 牛顿法开始收敛慢，到一定程度后，收敛速度很快；而 $P-Q$ 法几乎按同一速度收敛。



- (2) $P-Q$ 法迭代次数多，但是计算量小，计算速度快。
- (3) 当 r/x 比值大时，不满足 $P-Q$ 分解法的简化条件，可能不收敛。 $P-Q$ 法一般适用 110kV 以上。



P-Q分解法例题——只迭代一次



$$Y = \begin{bmatrix} 3-j9 & -2+j6 & -1+j3 & 0 \\ -2+j6 & 3.666-j11 & -0.666+j12 & -1+j3 \\ -1+j3 & -0.666+j12 & 3.666-j11 & -2+j6 \\ 0 & -1+3j & -2+j6 & 3-j9 \end{bmatrix}$$

分析：节点2、3的注入功率已知，为PQ节点，节点1为平衡节点，节点4为PV节点。

不包含平衡节点1

$$\begin{bmatrix} \frac{\Delta P_2^{(0)}}{U_2^{(0)}} \\ \frac{\Delta P_3^{(0)}}{U_3^{(0)}} \\ \frac{\Delta P_4^{(0)}}{U_4^{(0)}} \end{bmatrix} = B' \begin{bmatrix} U_2^{(0)} \Delta \theta_2^{(0)} \\ U_3^{(0)} \Delta \theta_3^{(0)} \\ U_4^{(0)} \Delta \theta_4^{(0)} \end{bmatrix}, \quad \begin{bmatrix} \frac{\Delta Q_2^{(0)}}{U_2^{(0)}} \\ \frac{\Delta Q_3^{(0)}}{U_3^{(0)}} \end{bmatrix} = B'' \begin{bmatrix} \Delta U_2^{(0)} \\ \Delta U_3^{(0)} \end{bmatrix}$$

不包含平衡节点1和PV节点4



$$\mathbf{B}' = \begin{bmatrix} B_{22} & B_{23} & B_{24} \\ B_{32} & B_{33} & B_{34} \\ B_{42} & B_{43} & B_{44} \end{bmatrix} = \begin{bmatrix} -11 & 12 & 3 \\ 12 & -11 & 6 \\ 3 & 6 & -9 \end{bmatrix}$$

$$\mathbf{B}'' = \begin{bmatrix} B_{22} & B_{23} \\ B_{32} & B_{33} \end{bmatrix} = \begin{bmatrix} -11 & 12 \\ 12 & -11 \end{bmatrix}$$

设各节点电压初值

$$\dot{U}_1 = 1.04 \angle 0^\circ$$

$$\dot{U}_2 = \dot{U}_3 = 1 \angle 0^\circ$$

$$\dot{U}_4 = 1.05 \angle 0^\circ$$



有功功率误差计算及解修正方程

$$\begin{cases} \Delta P_2^{(0)} = P_{2S} - U_2^{(0)} \sum_{j=1}^4 U_j^{(0)} (G_{ij} \cos \theta_{ij}^{(0)} + B_{ij} \sin \theta_{ij}^{(0)}) = 0.63 \\ \Delta P_3^{(0)} = P_{3S} - U_3^{(0)} \sum_{j=1}^4 U_j^{(0)} (G_{ij} \cos \theta_{ij}^{(0)} + B_{ij} \sin \theta_{ij}^{(0)}) = -0.86 \\ \Delta P_4^{(0)} = P_{4S} - U_4^{(0)} \sum_{j=1}^4 U_j^{(0)} (G_{ij} \cos \theta_{ij}^{(0)} + B_{ij} \sin \theta_{ij}^{(0)}) = 0.1425 \end{cases}$$

$$\begin{bmatrix} U_2^{(0)} \Delta \theta_2^{(0)} \\ U_3^{(0)} \Delta \theta_3^{(0)} \\ U_4^{(0)} \Delta \theta_4^{(0)} \end{bmatrix} = (B')^{-1} \begin{bmatrix} \frac{\Delta P_2^{(0)}}{U_2^{(0)}} \\ \frac{\Delta P_3^{(0)}}{U_3^{(0)}} \\ \frac{\Delta P_4^{(0)}}{U_4^{(0)}} \end{bmatrix} = \begin{bmatrix} -0.048 \\ 0.014 \\ -0.0218 \end{bmatrix} \quad \begin{bmatrix} \Delta \theta_2^{(0)} \\ \Delta \theta_3^{(0)} \\ \Delta \theta_4^{(0)} \end{bmatrix} = \begin{bmatrix} -0.048 \\ 0.014 \\ -0.021 \end{bmatrix}$$



求取相角的新值

$$\begin{bmatrix} \theta_2^{(1)} \\ \theta_3^{(1)} \\ \theta_4^{(1)} \end{bmatrix} = \begin{bmatrix} \theta_2^{(0)} \\ \theta_3^{(0)} \\ \theta_4^{(0)} \end{bmatrix} - \begin{bmatrix} \Delta\theta_2^{(0)} \\ \Delta\theta_3^{(0)} \\ \Delta\theta_4^{(0)} \end{bmatrix} = \begin{bmatrix} 0.048 \\ -0.014 \\ 0.021 \end{bmatrix}$$

无功功率误差计算及解修正方程

$$\Delta Q_2^{(0)} = Q_{2S} - U_2^{(0)} \sum_{j=1}^4 U_j^{(0)} (G_{ij} \sin \theta_{ij}^{(1)} - B_{ij} \cos \theta_{ij}^{(1)}) = 10.326$$

$$\Delta Q_3^{(0)} = Q_{3S} - U_3^{(0)} \sum_{j=1}^4 U_j^{(0)} (G_{ij} \sin \theta_{ij}^{(1)} - B_{ij} \cos \theta_{ij}^{(1)}) = 10.89$$

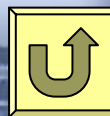
$$\begin{bmatrix} \frac{\Delta Q_2^{(0)}}{U_2^{(0)}} \\ \frac{\Delta Q_3^{(0)}}{U_3^{(0)}} \end{bmatrix} = \begin{bmatrix} 10.326 \\ 10.89 \end{bmatrix} \quad \begin{bmatrix} \Delta U_2^{(0)} \\ \Delta U_3^{(0)} \end{bmatrix} = (B'')^{-1} \begin{bmatrix} \frac{\Delta Q_2^{(0)}}{U_2^{(0)}} \\ \frac{\Delta Q_3^{(0)}}{U_3^{(0)}} \end{bmatrix} = \begin{bmatrix} 10.6203 \\ 10.5957 \end{bmatrix}$$

求取电压幅值的新值

$$\begin{bmatrix} U_2^{(1)} \\ U_3^{(1)} \end{bmatrix} = \begin{bmatrix} U_2^{(0)} \\ U_3^{(0)} \end{bmatrix} - \begin{bmatrix} \Delta U_2^{(0)} \\ \Delta U_3^{(0)} \end{bmatrix} = \begin{bmatrix} -9.6203 \\ -9.5957 \end{bmatrix}$$

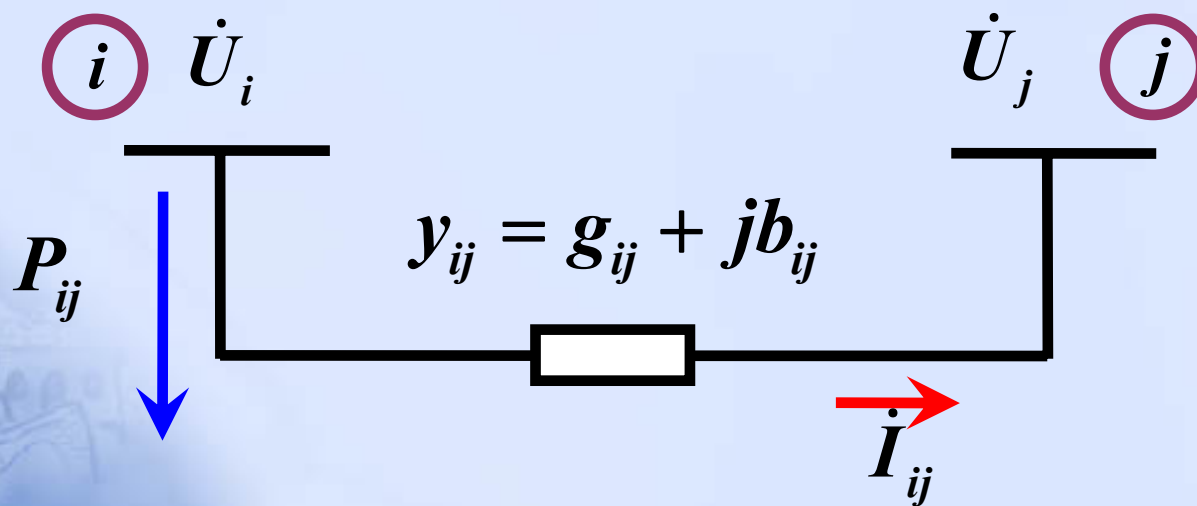
作业

利用例题迭代多次，并且指定一个误差进行计算，在N-R法的基础上修改程序，进行迭代计算。



3.6 直流法潮流计算

➤ 支路 ij 有功功率



$$\begin{aligned} P_{ij} &= \operatorname{Re}[\dot{U}_i \dot{I}_{ij}^*] = \operatorname{Re}[\dot{U}_i y_{ij}^* (\dot{U}_i - \dot{U}_j)] \\ &= U_i^2 g_{ij} - U_i U_j (g_{ij} \cos \delta_{ij} + b_{ij} \sin \delta_{ij}) \end{aligned}$$

➤ 电力系统近似满足

$$(1) \quad g_{ij} \approx 0, \quad b_{ij} \approx -1/x_{ij};$$

$$(2) \quad \sin \delta_{ij} \approx \delta_{ij} = \delta_i - \delta_j, \quad \cos \delta_{ij} \approx 1;$$

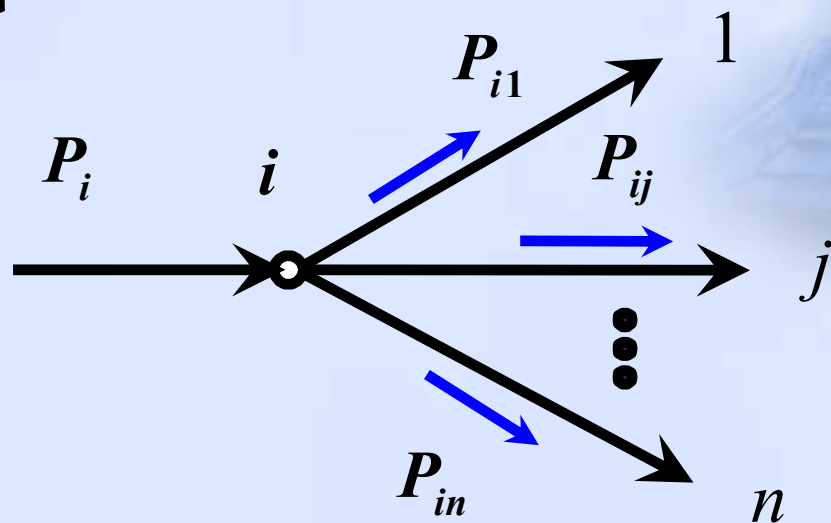
$$(3) \quad U_i \approx U_j \approx 1;$$

$$P_{ij} = U_i^2 g_{ij} - U_i U_j (g_{ij} \cos \delta_{ij} + b_{ij} \sin \delta_{ij})$$



$$P_{ij} = -b_{ij}(\delta_i - \delta_j) = (\delta_i - \delta_j)/x_{ij} = B_{ij}(\delta_i - \delta_j)$$

➤ 节点 i 注入功率



$$\begin{cases} P_i = \sum_{j \in i} P_{ij} = \sum_{j \in i} B_{ij}(\delta_i - \delta_j) = -(-\sum_{j \in i} B_{ij}\delta_i + \sum_{j \in i} B_{ij}\delta_j) \\ -\sum_{j \in i} B_{ij} = B_{ii} \end{cases}$$



$$P_i = -(B_{ii}\delta_i + \sum_{j \in i} B_{ij}\delta_j) = \sum_{j=1}^n (-B_{ij}\delta_j) = \sum_{j=1}^n (b_{ij}\delta_j)$$

$$\begin{cases} P_1 = \sum_{j=1}^n (-B_{1j} \delta_j) \\ P_2 = \sum_{j=1}^n (-B_{2j} \delta_j) \\ \dots \\ P_n = \sum_{j=1}^n (-B_{nj} \delta_j) \end{cases}$$



$$\begin{bmatrix} P_1 \\ P_2 \\ \vdots \\ P_n \end{bmatrix} = \begin{bmatrix} b_{11} & b_{12} & \dots & b_{1n} \\ b_{21} & b_{22} & \dots & b_{2n} \\ \vdots & \vdots & \ddots & \vdots \\ b_{n1} & b_{n2} & \dots & b_{nn} \end{bmatrix} \begin{bmatrix} \delta_1 \\ \delta_2 \\ \vdots \\ \delta_n \end{bmatrix}$$

B_0 矩阵

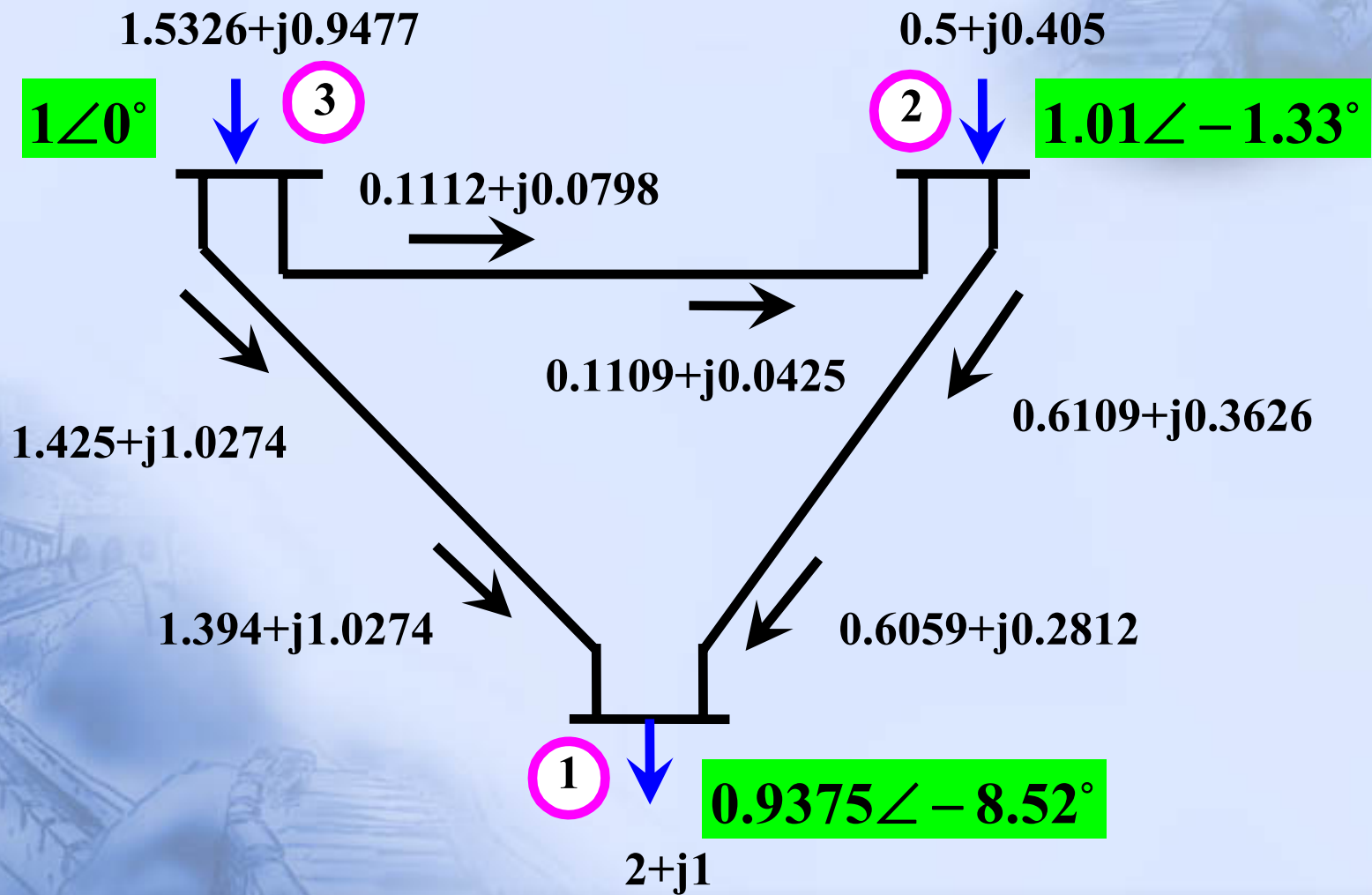
正常运行时节点
电纳矩阵

$$\delta = B_0^{-1} P$$

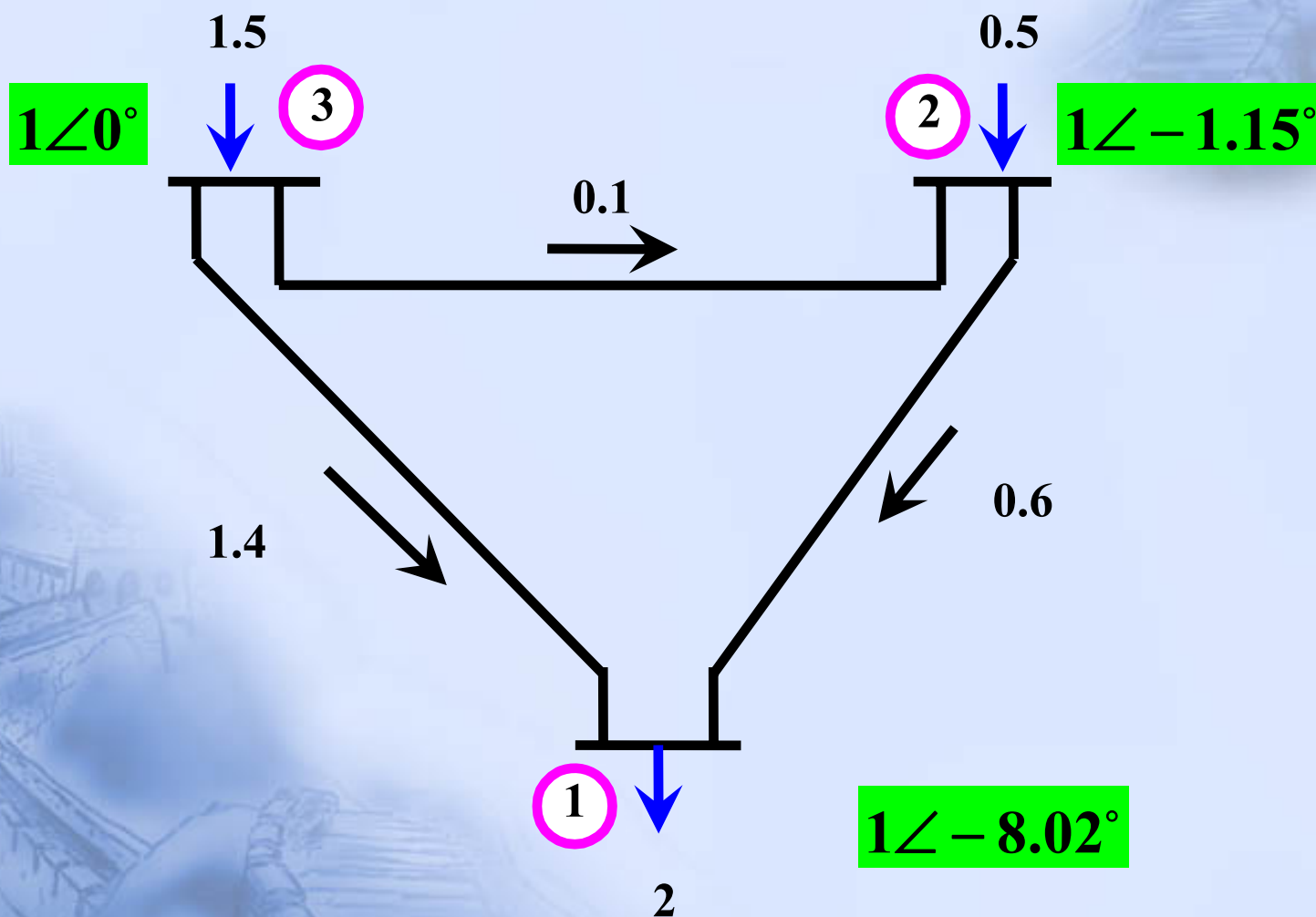
$$P_{ij} = -b_{ij}(\delta_i - \delta_j) = (\delta_i - \delta_j)/x_{ij} = \mathbf{B}_{ij}(\delta_i - \delta_j)$$

- **P** ，电压相角超前的节点向电压相角滞后的节点流动；相当于“交流电网中把节点的注入功率看作直流电路中节点的注入电流，节电电压的相角看作直流电路中的电压”，直流法。
- 直流潮流法解线性方程组，速度快、不存在收敛问题。适用于需要大量计算或运行条件不十分理想的场合，如电力系统规划、静态安全分析等。
- 直流法对节点功率方程进行了简化，一种近似算法。

➤ R-F求解



➤ 直流法求解



【例 3.3】 图 3.22 所示的五节点电力网中,节点 1、2 和 3 为 PQ 节点,各节点的负荷分别为: $\tilde{S}_1 = 1.6 + j0.8$, $\tilde{S}_2 = 2 + j1$, $\tilde{S}_3 = 3.7 + j1.3$;节点 4 为 PV 节点,给定 $P_4 = 5$, $U_4 = 1.05$;节点 5 为平衡节点,给定 $\dot{U}_5 = 1.05 \angle 0^\circ$ 。各支路阻抗、对地导纳标于图中。

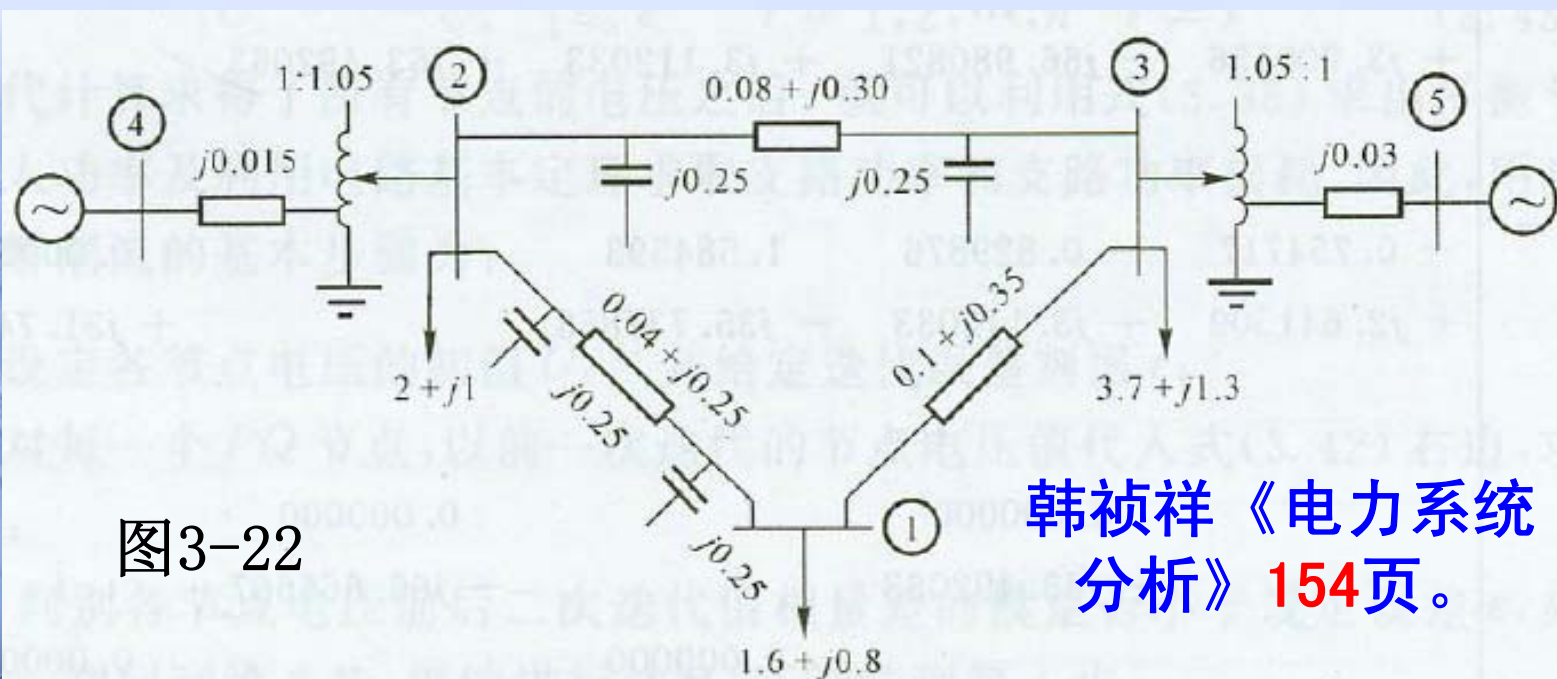
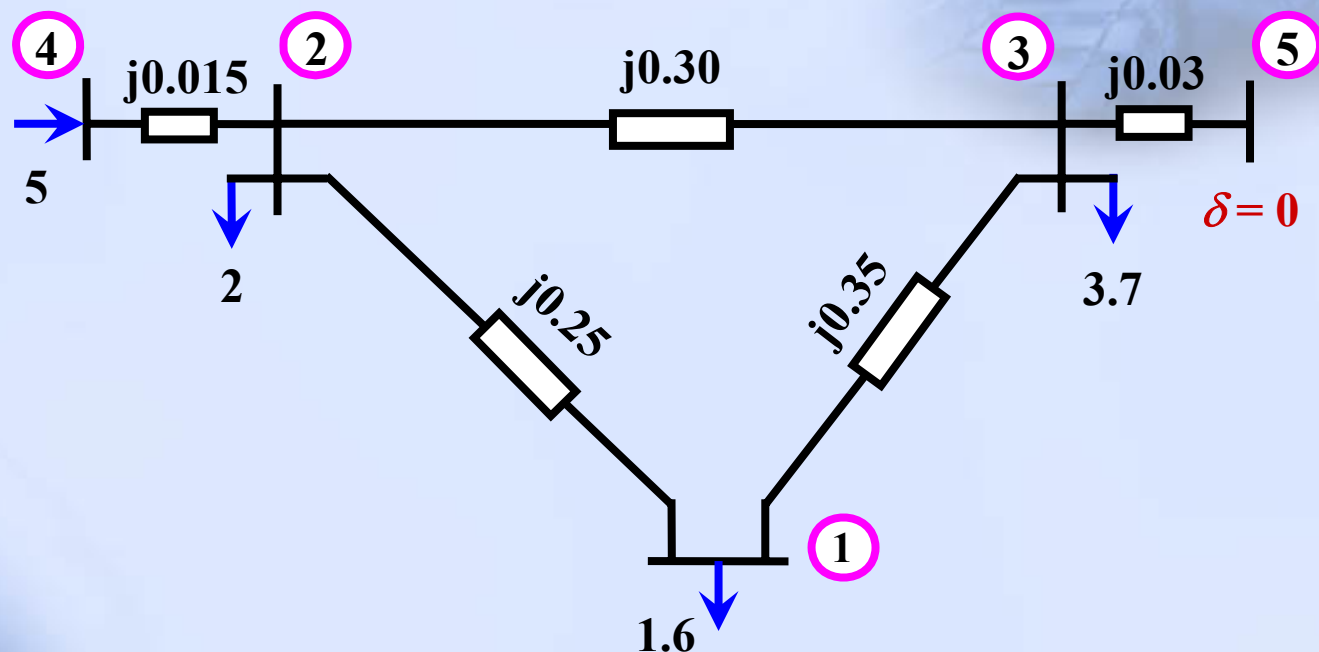


图3-22

韩祯祥《电力系统分析》154页。

分析： 忽略线路（变压器）的电阻和并联电容，设变压器变比为 1.0，只考虑各节点负荷的有功功率。



矩阵 B_0 :

$$b_{11} = \frac{1}{0.25} + \frac{1}{0.35} = 6.857$$

$$b_{12} = b_{21} = -\frac{1}{0.25} = -4$$

$$b_{13} = b_{31} = -\frac{1}{0.35} = -2.857$$

$$b_{22} = \frac{1}{0.25} + \frac{1}{0.3} + \frac{1}{0.015} = 74$$

$$b_{23} = b_{32} = -\frac{1}{0.3} = -3.33$$

$$b_{24} = b_{42} = -\frac{1}{0.015} = -66.66$$

$$b_{14} = b_{41} = b_{34} = b_{43} = 0$$

$$b_{33} = \frac{1}{0.35} + \frac{1}{0.3} + \frac{1}{0.03} = 39.523$$

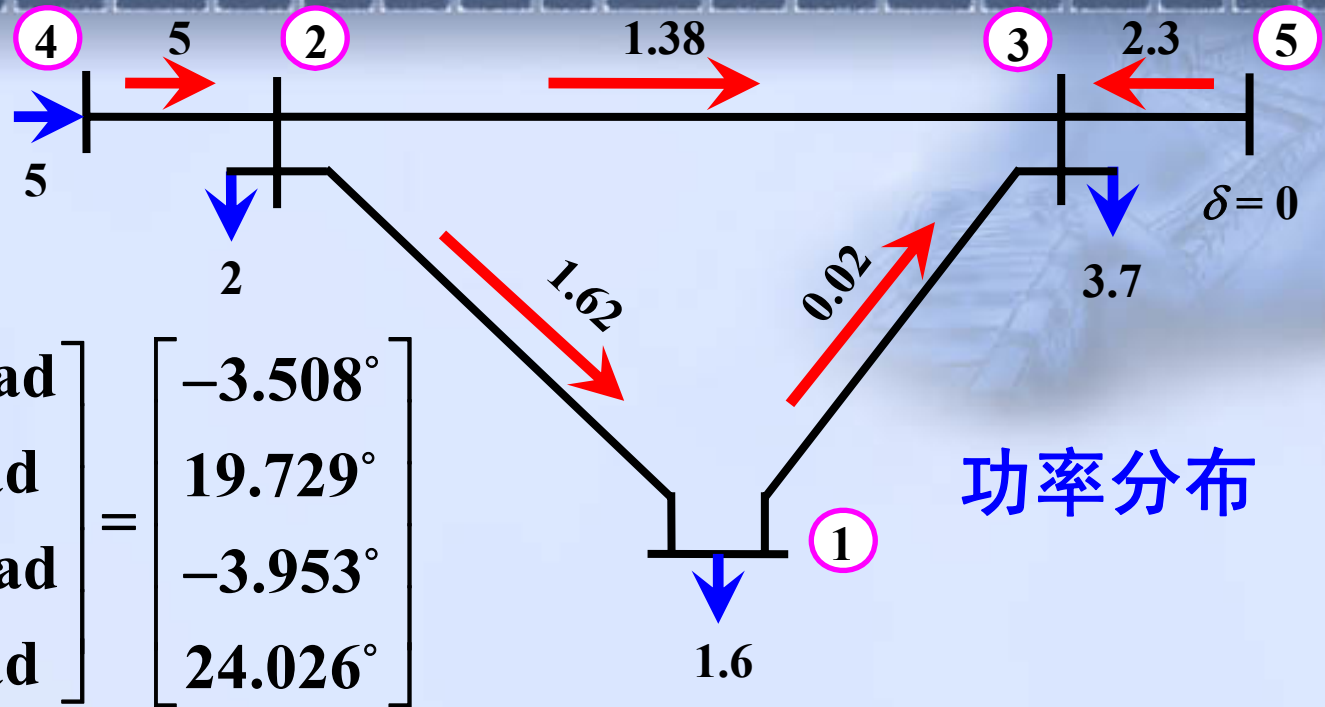
$$b_{44} = \frac{1}{0.015} = 66.666$$

$$\mathbf{B}_0 = \begin{bmatrix} 6.857 & -4 & -2.857 & 0 \\ -4 & 74 & -3.333 & -66.666 \\ -2.857 & -3.333 & 39.523 & 0 \\ 0 & -66.666 & 0 & 66.666 \end{bmatrix}$$

有功功率：

$$\mathbf{P} = [-1.6 \quad -2 \quad -3.7 \quad 5]^T$$

$$\begin{bmatrix} 6.857 & -4 & -2.857 & 0 \\ -4 & 74 & -3.333 & -66.666 \\ -2.857 & -3.333 & 39.523 & 0 \\ 0 & -66.666 & 0 & 66.666 \end{bmatrix} \begin{bmatrix} \delta_1 \\ \delta_2 \\ \delta_3 \\ \delta_4 \end{bmatrix} = \begin{bmatrix} -1.6 \\ -2 \\ -3.7 \\ 5 \end{bmatrix}$$



$$\begin{bmatrix} \delta_1 \\ \delta_2 \\ \delta_3 \\ \delta_4 \end{bmatrix} = \begin{bmatrix} -0.061 \text{ rad} \\ 0.344 \text{ rad} \\ -0.069 \text{ rad} \\ 0.419 \text{ rad} \end{bmatrix} = \begin{bmatrix} -3.508^\circ \\ 19.729^\circ \\ -3.953^\circ \\ 24.026^\circ \end{bmatrix}$$

$$P_{21} = \frac{\delta_2 - \delta_1}{x_{12}} = \frac{0.344 + 0.061}{0.25} = 1.62, \quad P_{23} = \frac{\delta_2 - \delta_3}{x_{23}} = \frac{0.344 + 0.069}{0.3} = 1.38$$

$$P_{13} = \frac{\delta_1 - \delta_3}{x_{13}} = \frac{-0.061 + 0.069}{0.35} = 0.02, \quad P_{42} = \frac{\delta_4 - \delta_2}{x_{24}} = \frac{0.419 - 0.344}{0.015} = 5$$

$$P_{53} = \frac{\delta_5 - \delta_3}{x_{35}} = \frac{0 + 0.069}{0.03} = 2.3$$



3.7 电力系统有功功率与频率

3.7.1 频率调整的必要性

3.7.2 电力系统静态频率特性

3.7.3 电力系统频率调整

3.7.4 综合负荷合理分配及有功功率平衡



3.7.1 频率调整的必要性

(1) 频率变化的危害

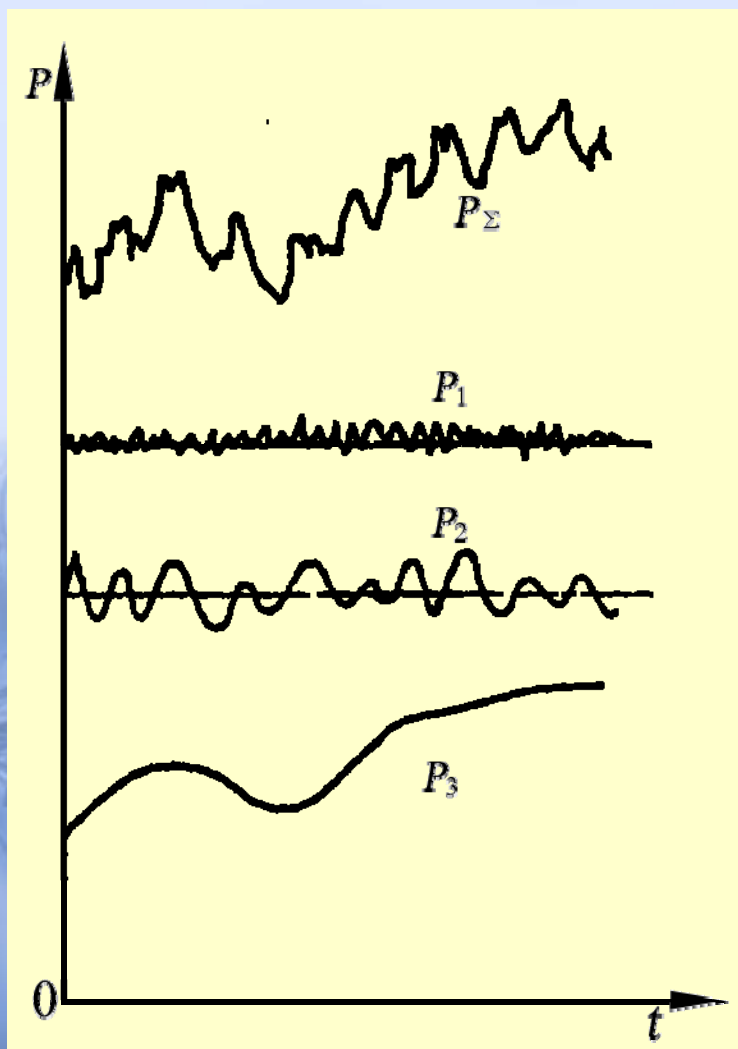
- 影响异步电动机转速的变化。
- 影响各种电子设备的精确性。
- 使计算机发生误操作。
- 威胁电力系统自身的正常运行。

(2) 负荷与频率的关系

- 不受频率影响的负荷：电阻性负荷。
- 频率变化成正比的负荷：大多数，异步电动机。
- 与频率高次方成正比的负荷：鼓风机、离心水泵电动机。



(3) 负荷曲线组成



P_1 : 幅度小, 周期短($<10s$), 发电机组调速器自动调整, 一次调整。

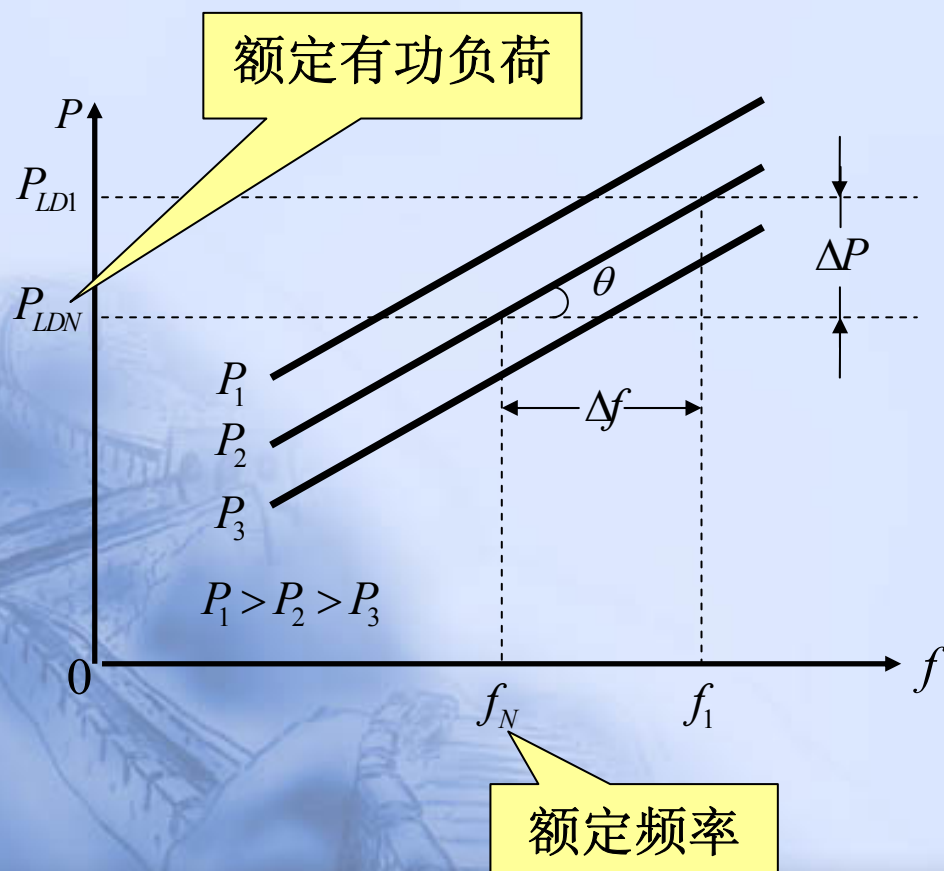
P_2 : 幅度较大, 周期较长($10s \sim 3min$), 电炉、液压机械、电气机车, 手动调速器(同步器)调整, 二次调频。

P_3 : 变化缓慢, 工厂的作息时间、人们的生活习惯、气象条件。



3.7.2 电力系统静态频率特性

(1) 负荷 $P=P(f)$ ，频率静态特性



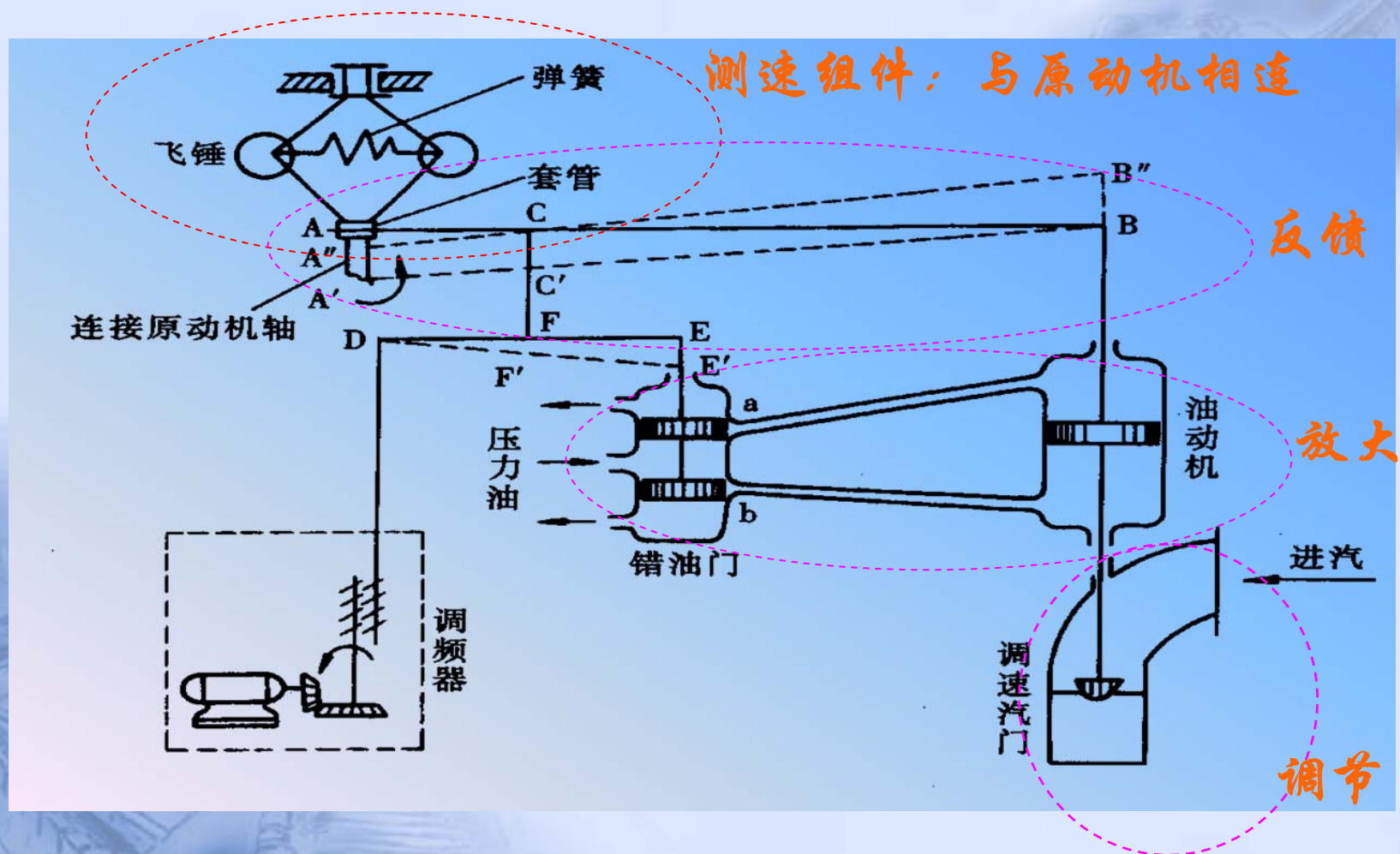
$$k_{LD*} = \frac{\Delta P / P_{LDN}}{\Delta f / f_N} = \frac{\Delta P_*}{\Delta f_*}$$

——频率调节效应系数

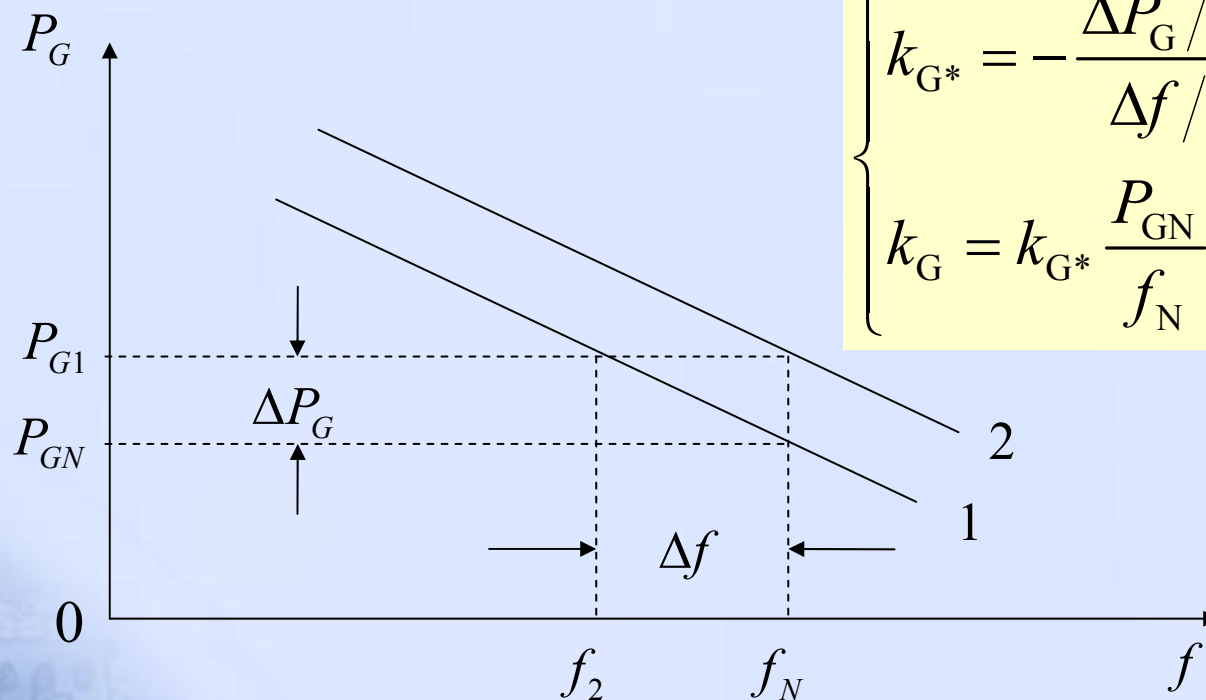
- 其值与系统各类负荷的比重和性质有关，一般取值1~3；
- 不能人为整定。



(2) 发电机组调速器原理



(3) 发电机组, $P=P(f)$



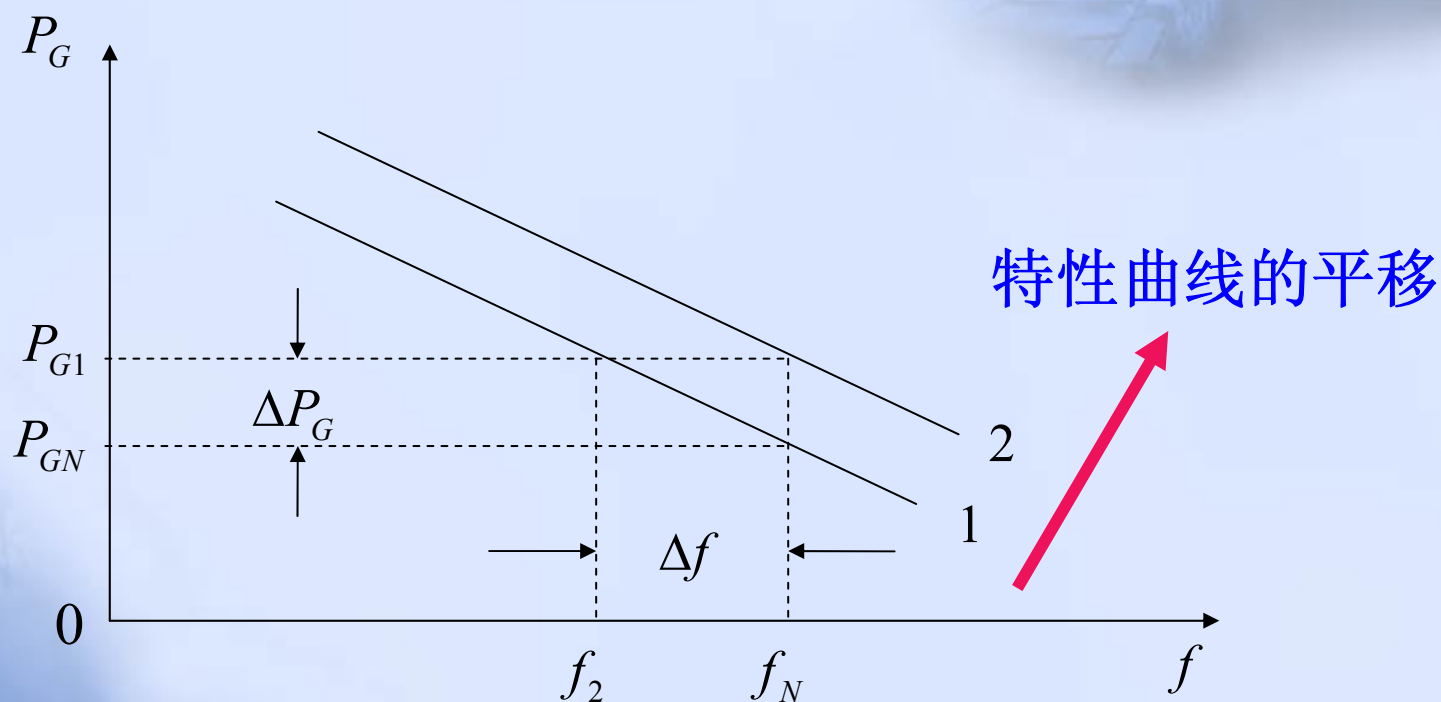
$$\begin{cases} k_{G^*} = -\frac{\Delta P_G / P_{GN}}{\Delta f / f_N} = -\frac{\Delta P_{G^*}}{\Delta f_*} \\ k_G = k_{G^*} \frac{P_{GN}}{f_N} \end{cases}$$

- 可人为整定。
- 汽轮机: $k_{G^*}=16.7-25$
水轮机: $k_{G^*}=25-50$ 。



二次频率调整

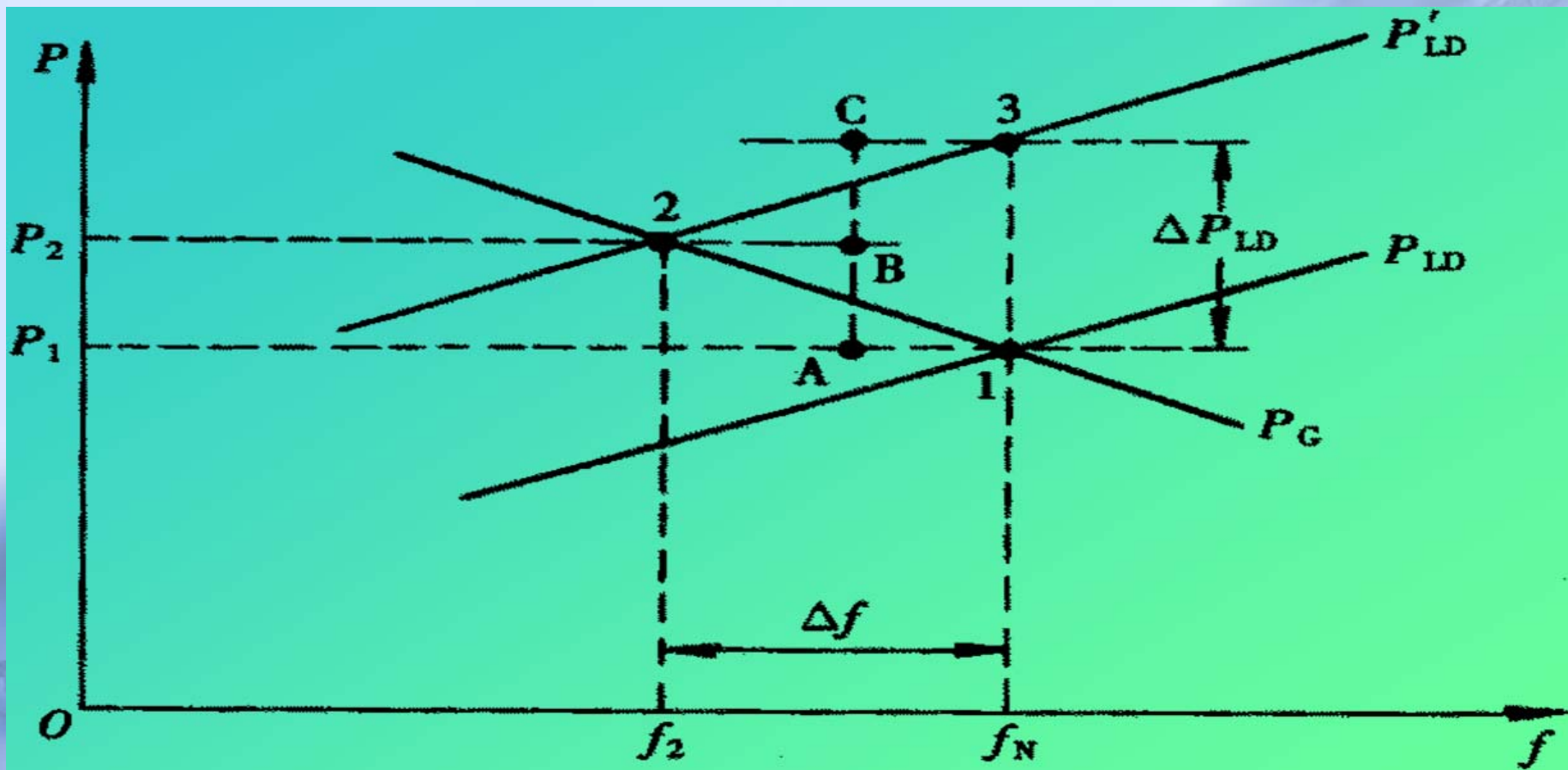
通过控制同步器对发电机组输出功率进行调整的过程。



一次调频基础上，由一个或数个发电厂承担，实现频率无差调节。



(3) 系统有功功率—频率静态特性



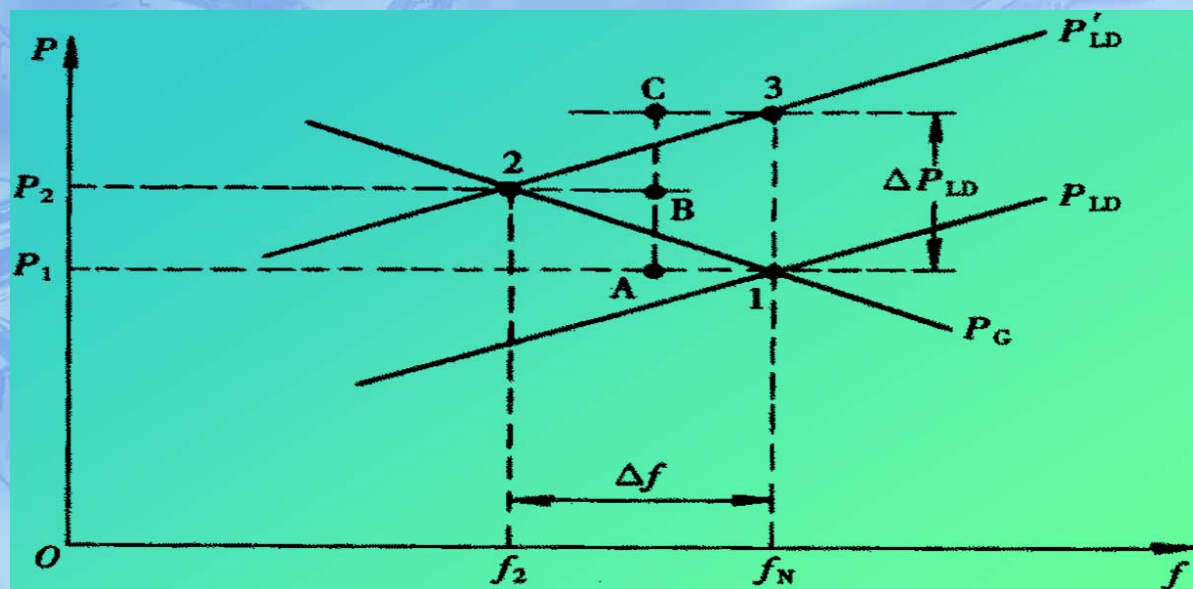
$$\Delta P_{LD} = \Delta P_G + \Delta P = -(k_G + k_{LD})\Delta f = -k_s \Delta f$$

机组愈多, k_G 愈大, k_s 愈大。



3.7.3 电力系统频率调整

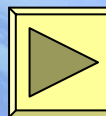
(1) 一次频率调整



$$k_{G\Sigma} = \sum_{i=1}^m k_{Gi}, k_S = k_{G\Sigma} + k$$

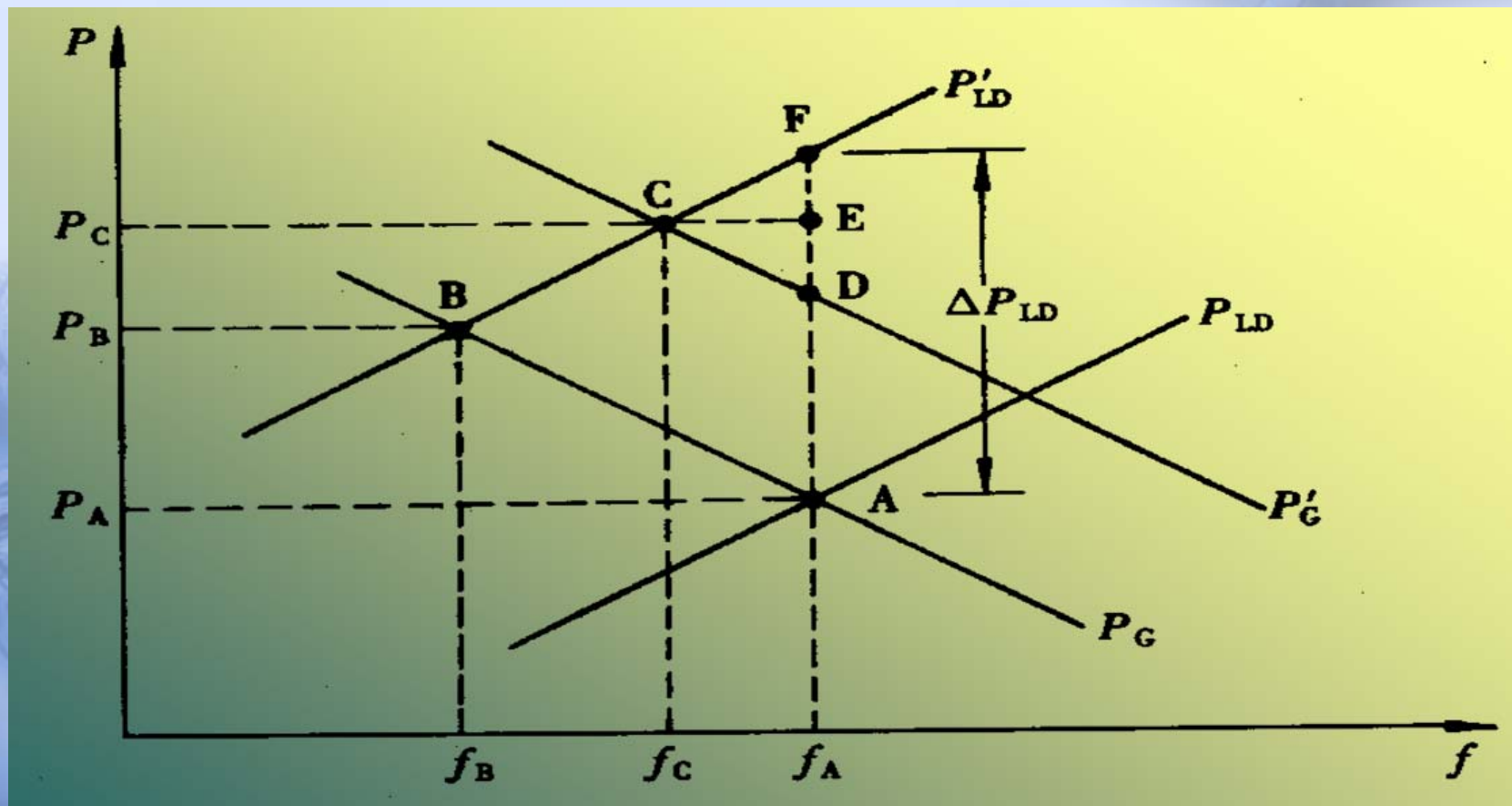
不能人为设定

结论： 负荷功率增量相同时，频率变化幅度会减小。

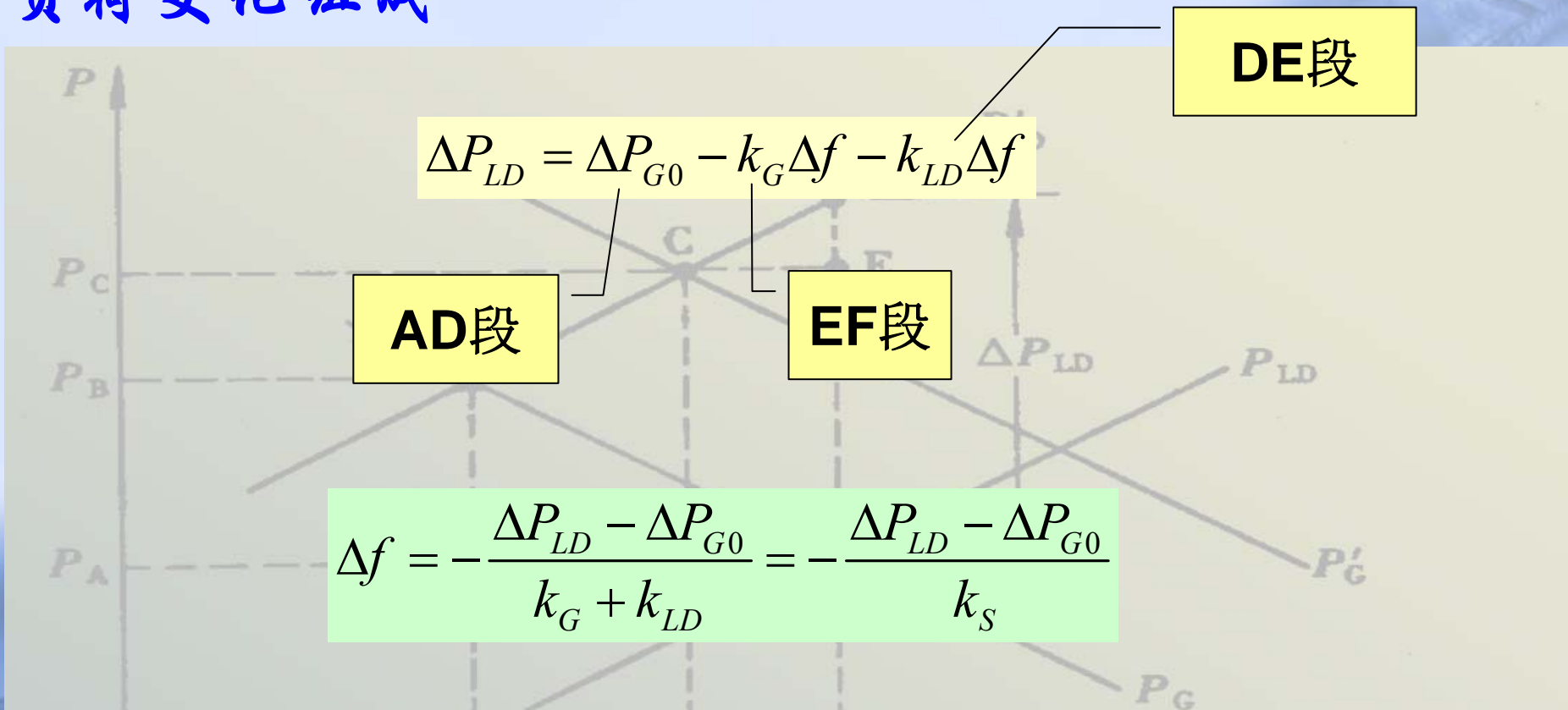


(2) 二次频率调整

一次调频只能改善系统频率，若不能调整到允许偏移范围，需要二次调频。



负荷变化组成



结论：二次调频增加了发电机组出力，在相同负荷变化量时，系统频率偏移减小了。当二次调频功率与负荷增量相等时，频率差为**0**，实现了无差调频。

(3) 主调频厂的选择

1) 电厂的分类

主调频厂：负责全系统频率调整工作，由一个发电厂担任；

辅助调频厂：协助主调频厂调频，由1~2个电厂承担；

非调频厂：按负荷曲线发电，不参与调频，只按调度部门分配发电，称为“基载厂(固定出力电厂)”。

2) 300万以上大系统的调度规程规定

- 频率偏移不超过 $\pm 0.2\text{Hz}$ 时由主调频厂调频；
- 频率偏移超过 $\pm 0.2\text{Hz}$ 时，辅助调频厂参加调频；
- 频率偏移超过 $\pm 0.5\text{Hz}$ 时，系统内所有电厂参与调频。



3) 主频厂选择条件

- 具有足够的调节容量和范围
- 具有较快的调节速度
- 具有安全性与经济性
- 电源联络线上的交换功率
- 调频引起的电压波动是否在允许偏移范围之内。

4) 水火电厂并存系统中的主调频厂选择

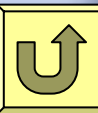
枯水季节：水电厂为主调频厂；

丰水季节：选择装有中温中压机组的火电厂作为主调频厂。

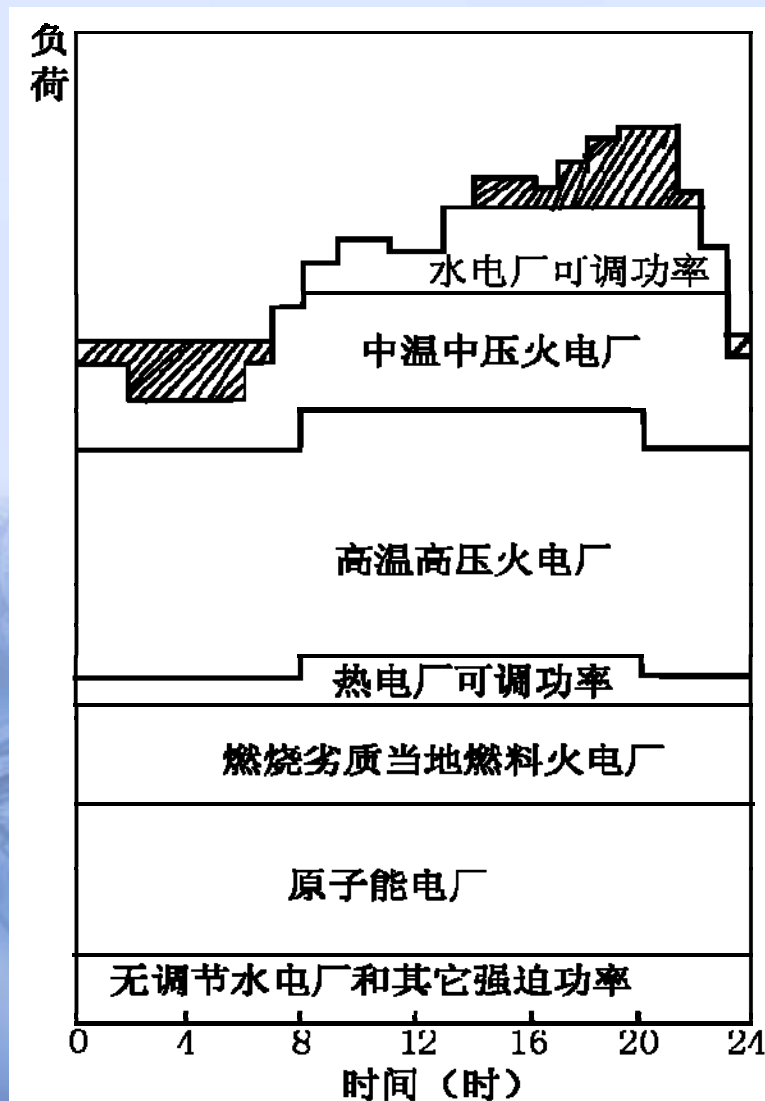


5) 事故调频的措施与步骤

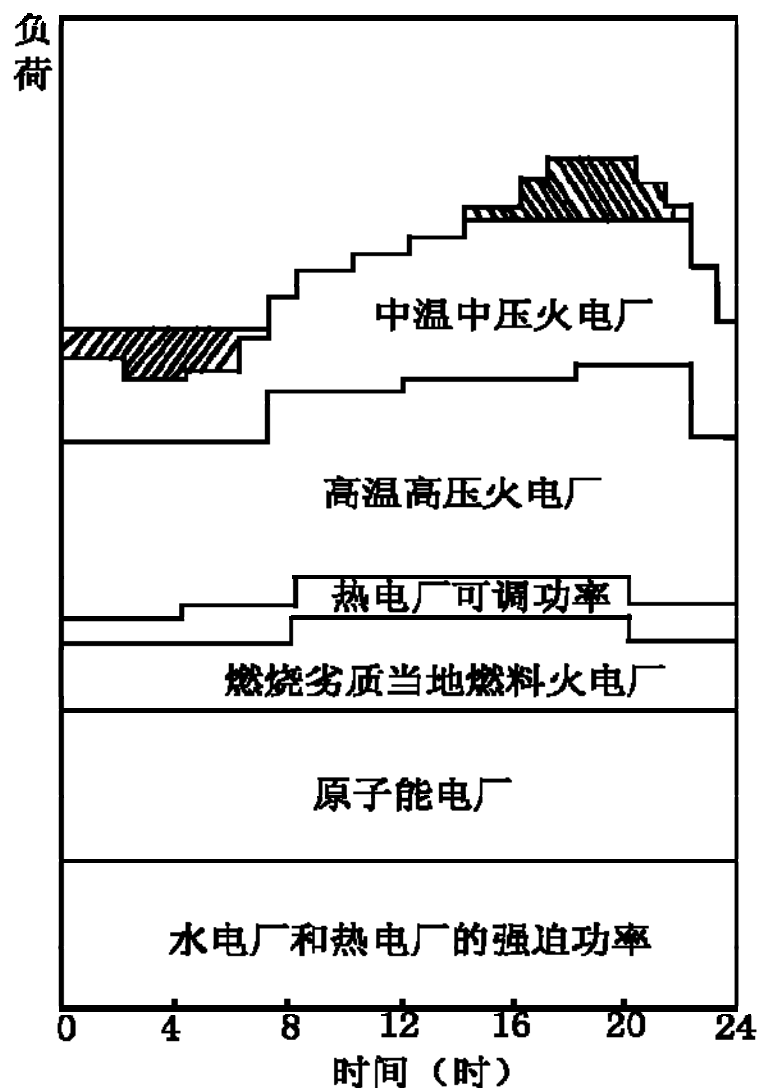
- 投入旋转备用容量（或旋转备用机组），迅速启动备用发电机组；
- 切除部分负荷；
- 选取合适地点，将系统解列运行；
- 分离厂用电，以确保发电厂能迅速恢复正常，与系统并列运行。



3.7.4 综合负荷合理分配及有功功率平衡



(a) 枯水期



(b) 丰水期

有功功率平衡方程

$$\Sigma P_G = \Sigma P_{LD} + \Sigma \Delta P + \Sigma P_p$$

网络有功损耗

厂用电

备用容量的分类及形式

➤ 负荷备用;

➤ 检修备用

➤ 事故备用;

➤ 国民经济备用

热备用 (或称旋转备用)

冷备用 (或称停机备用)



3.8 电力系统的电压与无功功率

3.8.1 电压调整的重要性

3.8.2 电力系统无功功率

3.8.3 电力系统无功平衡



3.8.1 电压调整的重要性

- 电压是电能质量的重要指标。
- 电压调整比调节频率更复杂。

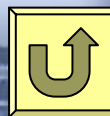
我国规定的电压偏移范围

- 35kV及以上供电电压： $\pm 5\%$
- 10kV及以下三相供电电压： $\pm 7\%$
- 220kV单相供电电压： $+5\% \sim -10\%$
- 农村电网
 - 正常运行情况： $+7.5\% \sim -10\%$
 - 事故运行情况： $+10\% \sim -15\%$



电压偏移对用电设备的危害

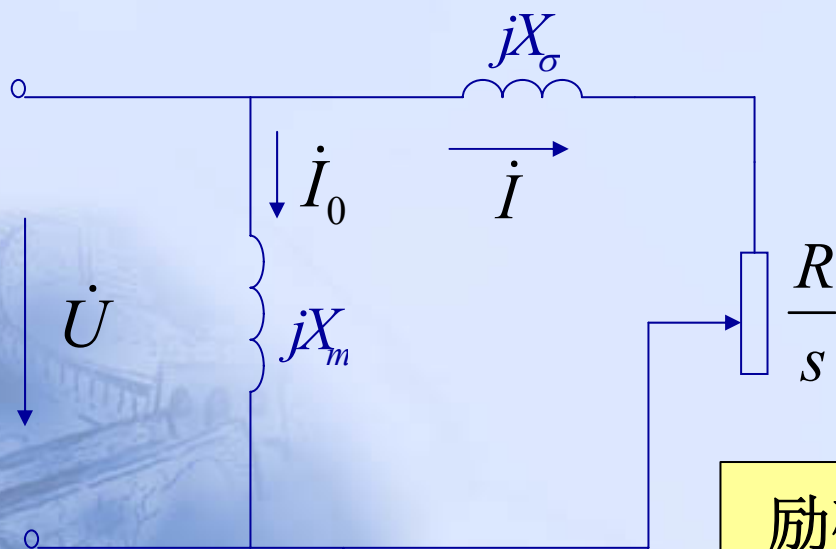
- 照明设备电压高，光通量增加，寿命降低；反之，照明不足。
- 异步电机电压降低时转距降低，绕组电流增加，温度升高，老化；反之，电机绝缘不利。
- 变压器与电机类似。
- 降低系统并列的稳定性，影响系统运行的经济性。



3.8.2 电力系统的无功功率—电压静态特性

(1) 综合负荷

异步电动机 $Q=Q(U)$



异步电机消耗的无功功率

$$Q_M = Q_m + Q_\sigma = \frac{U^2}{X_m} + 3I^2 X_\sigma$$

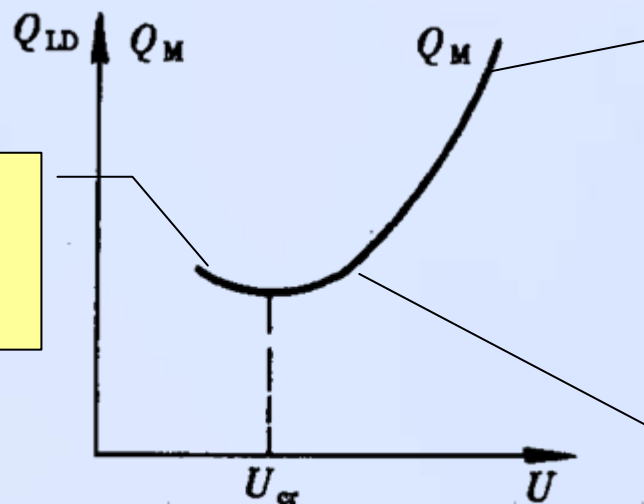
励磁功率

漏磁功率



异步电动机 $Q = Q(U)$

减函数，漏电抗损耗占主要成分。



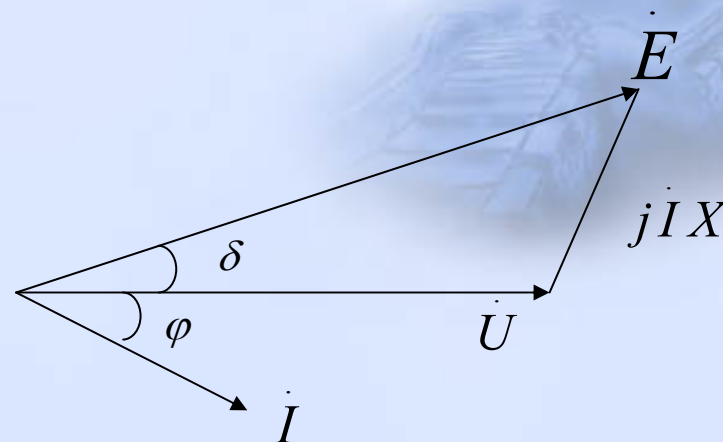
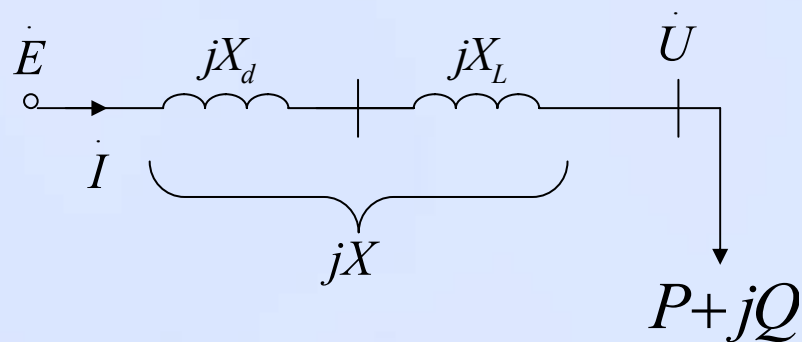
外加电压高于额定电压，铁心饱和， X_m 下降， Q 与 U 高次方成正比例。

外加电压低于额定电压， Q 与 U^2 成比例。

图 5-24 异步电机 $Q-U$ 静态特性



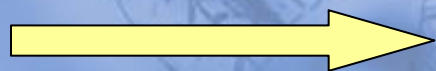
(2) 发电机



发电机送至负荷:

$$\begin{cases} P_G = \frac{EU}{X} \sin \delta \\ Q_G = \frac{EU}{X} \cos \delta - \frac{U^2}{X} \end{cases}$$

P_G 不变时



$$Q_G = \sqrt{\left(\frac{EU}{X}\right)^2 - P_G^2} - \frac{U^2}{X}$$

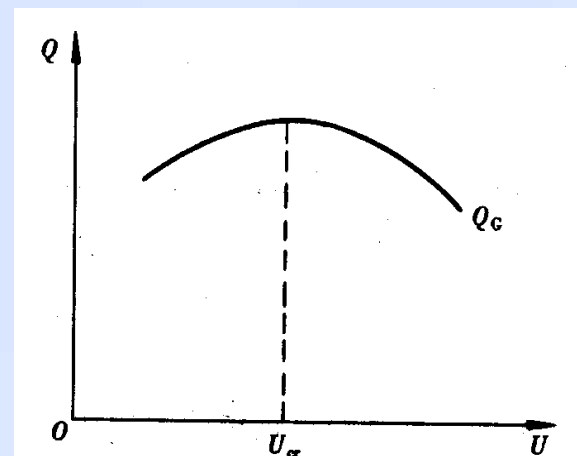


图 5-26 发电机电压静态特性



(3) 电力系统电压静态特性

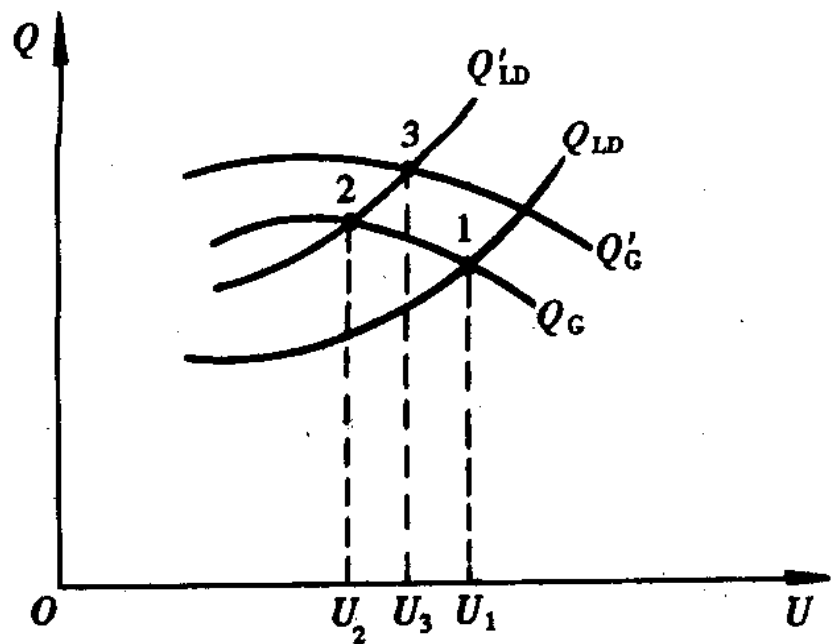


图 5-27 电力系统电压静态特性

当系统有足够的无功电源时，可有较高的运行电压水平；否则，较低。

结论：无功必须保持平衡，电源、负荷、损耗平衡，维持电力系统一定电压水平的必要条件。



3.8.3 电力系统无功平衡

3.8.3.1 无功负荷和无功损耗

无功负荷：用户和发电厂用电的无功负荷(主要异步电动机)。

国家标准对功率因数有要求。

无功损耗：变压器和线路的无功损耗。

变压器无功损耗 = 励磁损耗 + 绕组损耗

$$\Delta Q_0 = I_0(\%)S_{TN}, \quad \Delta Q = \frac{S^2}{U^2} X_T = U_S(\%)S_{TN} \left(\frac{S}{S_{TN}}\right)^2$$



线路无功功率损耗

线路无功损耗 = 电抗损耗 + 电容损耗

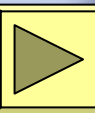
互为补偿

- <100km, 220kV, 感性, 消耗无功功率;
- 300km左右, 220kV, 基本平衡, 电阻性;
- >300km, 电容性。



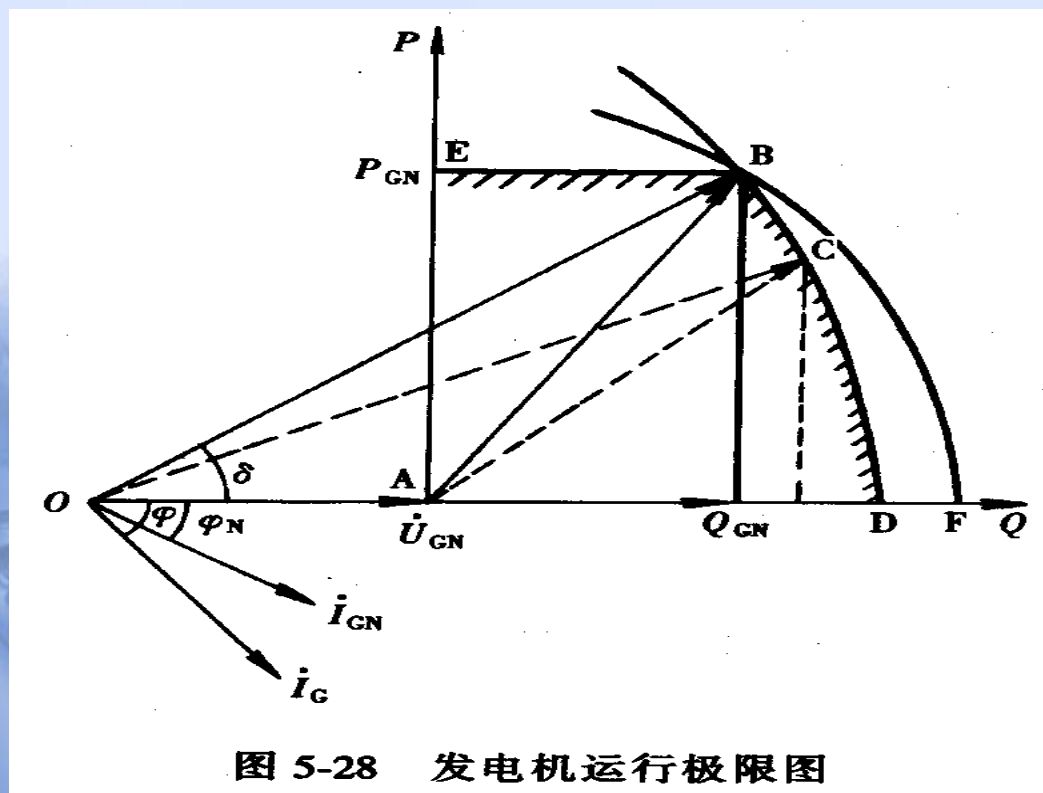
3.8.3.2 无功电源

- 发电机
- 同步调相机
- 电力电容器
- 静止无功补偿器



(1) 无功电源——发电机

唯一的有功电源，重要的无功电源。不影响有功功率平衡的基础上，可以调整无功功率的输出，调整系统的运行电压。

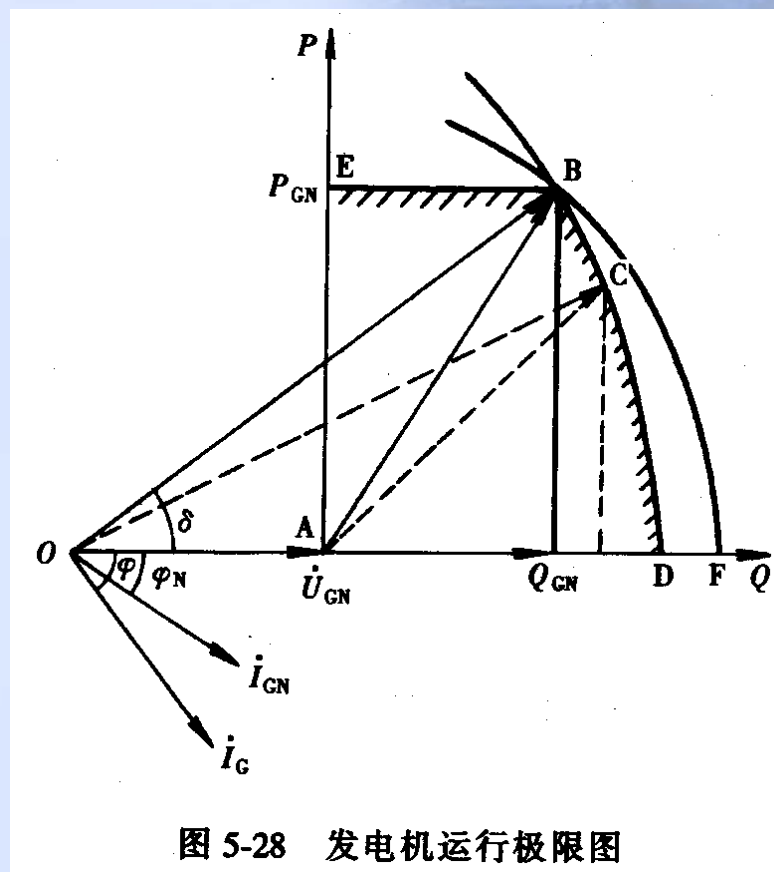


$$Q_{GN} = S_{GN} \sin \varphi_N = P_{GN} \tan \varphi_N$$



发电机运行的约束条件

- 可发视在功率 $S_G \leq S_{GN}$;
- 转子励磁电流 $i_f \leq i_{fN}$;
- 可发有功功率 $P_G \leq P_{GN}$ 。



(2) 无功电源——同步调相机

相当于空载运行的同步发电机。

- 过励磁运行作无功电源运行；欠励磁运行作无功负荷运行；
- 可平滑无级地改变无功功率的大小和方向，达到调整系统运行电压的目的；
- 无功功率的输出受端电压的影响不大；
- 运行维护较复杂，有功功率损耗较大；
- 单位容量的投资费用较大，只宜集中安装。



(3) 无功电源——电力电容器

$$Q_C = \frac{U^2}{X_C} = U^2 \omega C$$

电力电容器的特点

- 运行维护方便；
- 有功功率损耗小；
- 单位容量投资小且与总容量的大小几乎无关；
- 既可集中安装，也可分散布置；
- 无功功率调节性能差，输出无功功率受端电压影响较大；
- 只能阶跃式的调压。



(4) 无功电源——静止补偿器 (Static Var Compensator, SVC)

1960s问世，**1970s**发展为可控硅控制。由特殊电抗器和电容器组成，之一或之二是可控的，一种并联联接的无功功率发生器和吸收器。“静止”表示不能旋转。

具有电容器结构优点，同步机调节优点，可迅速按负荷变化改变无功功率的输出，稳定电压，适合冲击特性的无功补偿。



SVC组成

自饱和电抗器(Saturated Reactors, SR)

固定连接电容器(Fixed Capacitor, FC)

可控硅控制电抗器(Thyristor Controlled Reactors, TCR)

可控硅开关操作的电容器(Thyristor Switched Capacitor, TSC)。



自饱和电抗器型SVC

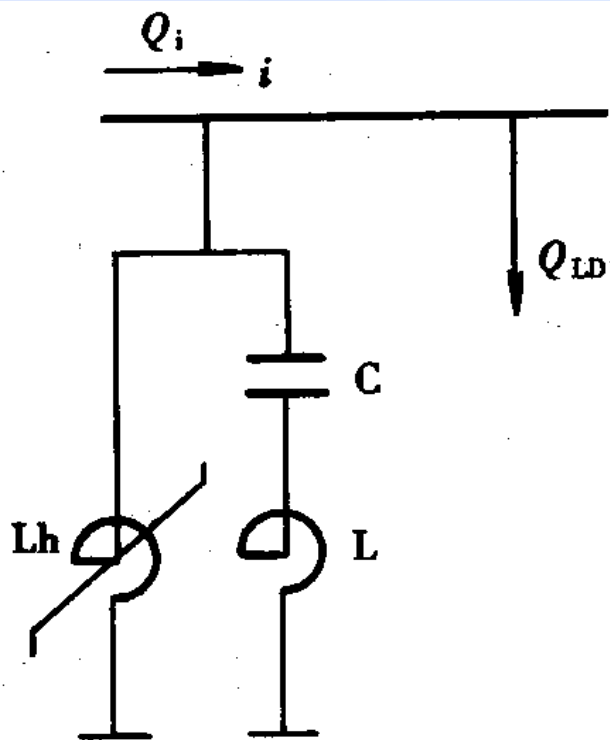


图 5-31 自饱和电抗器
型静止补偿器

- 电压低于额定电压， L 不饱和，感抗大，不消耗无功， C 发出无功，母线电压回升。
- 电压达到超过额定电压，铁心饱和，感抗接近0，吸收大量无功，母线电压降低。
- 在额定电压附近，电抗器吸收的无功功率随电压变化很快，有稳压作用。



FC-TCR

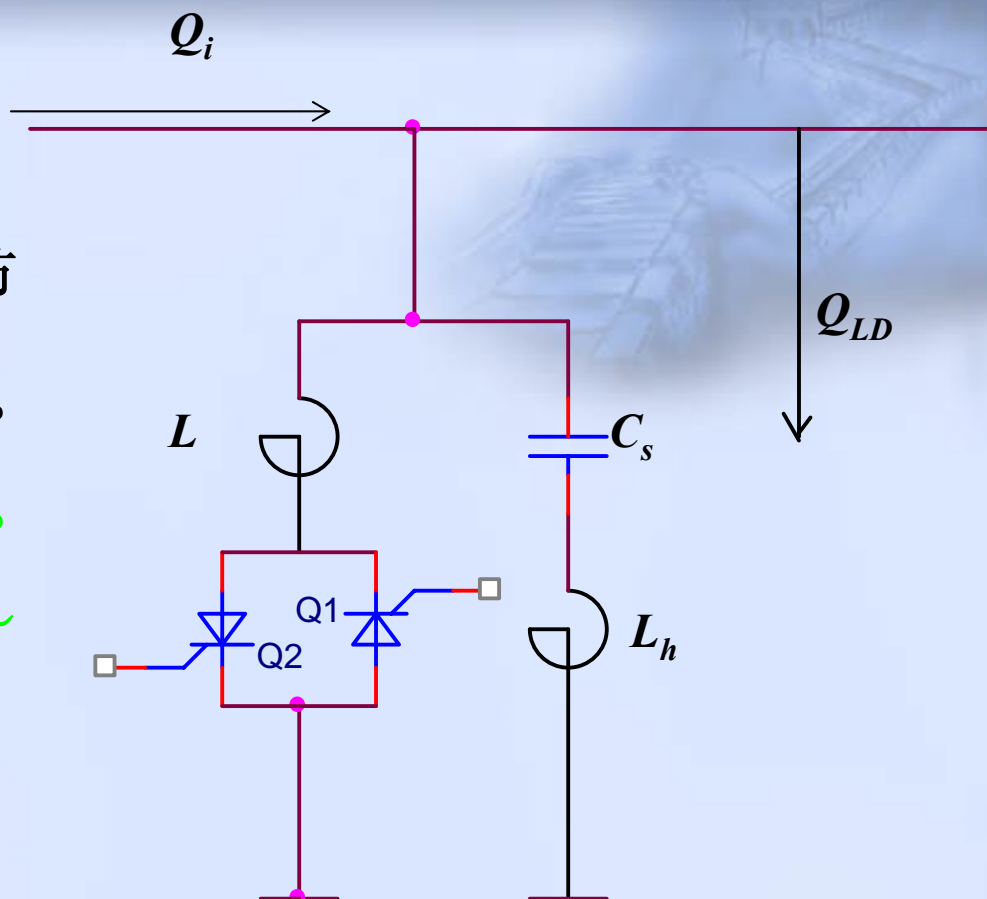
基本原理：改变 L 的饱和程度，
可改变 L 的感性无功功率，调节
进线无功功率的大小，可调压。

可控硅的导通由控制角 α 控制。

$\alpha = 90^\circ$ ，完全导通； $\alpha = 90^\circ \sim 180^\circ$ ，部分导通。

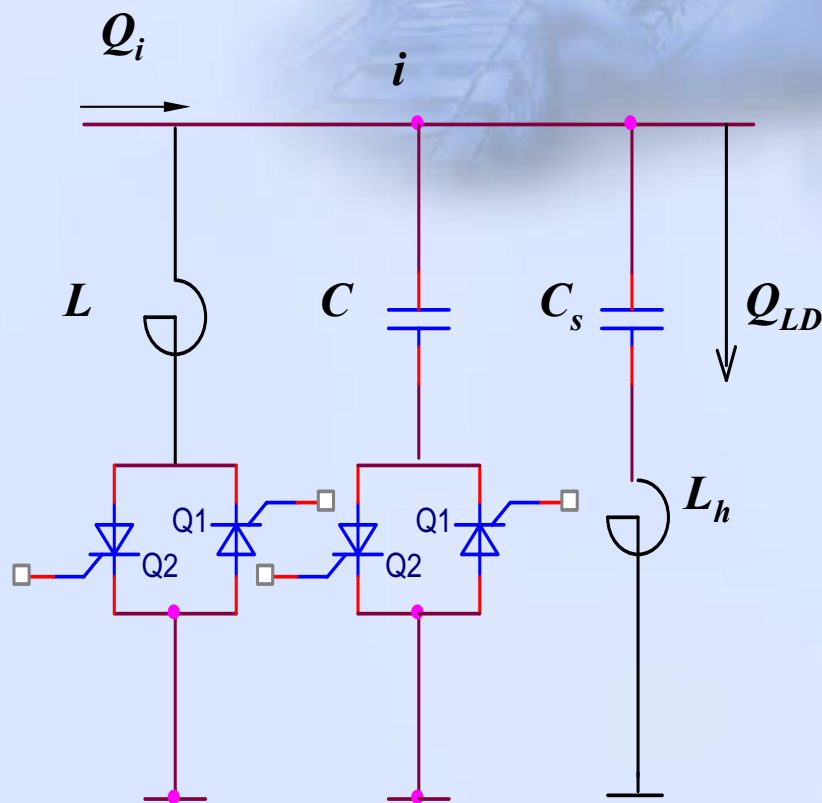
增大 α ，减小电流中的基波分量，
增大 L 的感抗，减小无功功率和电流。

结论：TCR是可变空心电抗器。



TSC-TCR


- 由1~2个TCR和n个TSC组成。
- 减少了TCR容量及其自生谐波。
- 当系统电压过高，需要吸收大量无功时，可断开全部电容器组，让TCR全波导通，几乎不产生谐波。
- TSC输出的容性无功是阶梯式可调，与TCR可以得到平滑可调的无功功率输出。



3.8.3.3 系统的无功功率平衡

$$Q_{GC} - Q_{LD} - Q_L = Q_{res}$$





The End

Release 2010

感谢您的使用和提出宝贵意见。